



TUGAS AKHIR - TE 141599

**OPTIMASI PELETAKAN BASE TRANSCEIVER STATION
DI KABUPATEN MOJOKERTO MENGGUNAKAN
ALGORITMA *DIFFERENTIAL EVOLUTION***

Ahadi Arif Nugraha
NRP 2212106090

Dosen Pembimbing
Dr. Ir. Achmad Mauludiyanto, MT.

JURUSAN TEKNIK ELEKTRO
Fakultas Teknologi Industri
Institut Teknologi Sepuluh Nopember
Surabaya 2015



FINAL PROJECT- TE 141599

***BASE TRANSCEIVER STATION LOCATING
OPTIMIZATION IN MOJOKERTO USING
DIFFERENTIAL EVOLUTION ALGORITHM***

**Ahadi Arif Nugraha
NRP 2212106090**

**Supervisor
Dr. Ir. Achmad Mauludiyanto, MT.**

**DEPARTMENT OF ELECTRICAL ENGINEERING
Faculty of Industrial Technology
Sepuluh Nopember Institute of Technology
Surabaya 2015**

**OPTIMASI PELETAKAN BASE TRANSCEIVER STATION DI
KABUPATEN MOJOKERTO MENGGUNAKAN ALGORITMA
DIFFERENTIAL EVOLUTION**

TUGAS AKHIR

Diajukan Guna Memenuhi Sebagian Persyaratan
Untuk Memperoleh Gelar Sarjana Teknik
Pada
Bidang Studi Teknik Telekomunikasi Multimedia
Jurusan Teknik Elektro
Institut Teknologi Sepuluh Nopember

Menyetujui:

Dosen Pembimbing



Dr. Ir Achmad Mauludiyanto, MT.
NIP. 19610903 198903 100 1



OPTIMASI PELETAKAN *BASE TRANSCEIVER STATION* DI KABUPATEN MOJOKERTO MENGGUNAKAN ALGORITMA *DIFFERENTIAL EVOLUTION*

Nama : AHADI ARIF NUGRAHA
NRP : 2212 106 090
Dosen Pembimbing : Dr. Ir. Achmad Mauludiyanto, M.T

ABSTRAK :

Salah satu aspek penting dalam perencanaan infrastruktur jaringan seluler adalah *Base Transceiver Station (BTS)* yang merupakan sebuah pemancar dan penerima sinyal *telephone* seluler. Di satu sisi, peningkatan jumlah menara memang akan mendukung tercapainya pemenuhan kebutuhan masyarakat terhadap layanan telekomunikasi. Namun di sisi lain, penempatan menara yang tanpa perencanaan serta koordinasi yang tepat akan menimbulkan jumlah menara yang berlebih sehingga dapat mengganggu estetika lingkungan, tata ruang suatu wilayah, dan radiasi gelombang radio yang tidak terkontrol sehingga sangat mengganggu.

Berdasarkan permasalahan diatas, maka dapat diselesaikan dengan cara menyusun suatu *master plan* yang lengkap dan rinci tentang penataan lokasi menara di Kabupaten Mojokerto untuk lima tahun mendatang. Penataan lokasi menara dilakukan dengan menggunakan algoritma *Differential Evolution (DE)* untuk menemukan solusi penataan menara yang baik berdasarkan luas cakupan area sel yang dihasilkan, kemudian menggunakan *software MapInfo* sebagai media visualisasi peta lokasi penempatan menara telekomunikasi.

Dalam perancangan menara BTS tahun 2019, Kabupaten Mojokerto membutuhkan 106 menara BTS 2G dan 36 menara BTS 3G. Penempatan menara BTS 2G dan 3G menggunakan algoritma *differential evolution* mampu mengoptimalkan 2,94% dari luas wilayah Kabupaten Mojokerto.

Kata kunci : BTS, *Differential Evolution*, menara telekomunikasi, *MapInfo*

BASE TRANSCEIVER STATION LOCATING OPTIMIZATION IN MOJOKERTO USING DIFFERENTIAL EVOLUTION ALGORITHM

Name : AHADI ARIF NUGRAHA
NRP : 2212 106 090
Supervisor : Dr. Ir. Achmad Mauludiyanto, M.T

ABSTRACT :

One important aspect of cellular network infrastructure planning is a Base Transceiver Station (BTS), which is a transmitter and receiver cellular telephone signal. An increase in the number of towers it will support the achievement of community needs for telecommunications services. But the placement of tower without proper planning and coordination will cause excessive number of towers that can interfere with the aesthetics of the environment, spatial region, and RF radiation are not controller so very disturbing.

Based on the above issues, it can be solved by preparing a master plan detailing the arrangement of tower location in Mojokerto regency for the next five years. Structuring the location of the tower is done by using the Differential Evolution (DE) algorithms to find a good solution tower arrangement based on the broad scope of resulting cell area, then use map visualization software MapInfo as media placement location of telecommunication towers.

In the design of joint tower BTS at 2019, Mojokerto requires 106 joint tower BTS 2G and 36 joint tower BTS 3G. Result of design a placement of joint tower BTS 2G and 3G using differential evolution able to optimization 2,94% of Mojokerto area.

Keywords: BTS; Differential Evolution; telecommunication; MapInfo

KATA PENGANTAR

Puji syukur kepada Allah SWT yang telah melimpahkan seluruh rahmat dan karunia-Nya. Sholawat serta salam semoga tercurahkan kepada junjungan kita, Nabi Muhammad SAW, yang telah membimbing umatnya untuk menuju ke jalan yang benar, sehingga tugas akhir dengan judul "**Optimasi Peletakan Base Transceiver Station di Kabupaten Mojokerto Menggunakan Algoritma Differential Evolution**" ini dapat diselesaikan.

Tugas akhir ini disusun untuk memenuhi salah satu persyaratan memperoleh gelar Sarjana Teknik dalam bidang studi Telekomunikasi Multimedia pada program studi Teknik Elektro Institut Teknologi Sepuluh Nopember Surabaya.

Pada kesempatan ini penulis menyampaikan rasa hormat dan ucapan terimakasih sebesar-besarnya kepada :

1. Kedua orang tua yang selalu memberikan kasih sayang, doa, dukungan dan perhatian hingga saat ini.
2. Bapak Dr. Ir. Achmad Mauludiyanto, M.T. yang telah memberikan bimbingan kepada penulis selama ini.
3. Seluruh Dosen bidang studi Telekomunikasi Multimedia program studi Teknik Elektro yang telah memberikan arahan dan bimbingannya.
4. Rekan-rekan mahasiswa S1 Telekomunikasi Multimedia angkatan semester genap 2012 atas segala bantuan dan kerjasamanya.

Penulis menyadari bahwa masih banyak kekurangan pada Tugas Akhir ini dan perlu pengembangan lebih lanjut. Oleh karena itu, besar harapan penulis untuk menerima kritik dan saran agar Tugas Akhir ini dapat lebih sempurna serta sebagai masukan bagi penulis untuk penelitian dan penulisan karya ilmiah di masa yang akan datang.

Semoga buku ini dapat memberikan manfaat bagi kita semua, terutama bagi pemerintah daerah yang akan atau sedang menerapkan penataan dan pengendalian menara telekomunikasi seluler bersama.

Surabaya, Januari 2015
Ahadi Arif Nugraha

DAFTAR ISI

| | |
|--|------|
| Halaman Judul | i |
| Pernyataan Keaslian Tugas Akhir..... | iii |
| Halaman Pengesahan | v |
| Abstrak..... | vii |
| Abstract | ix |
| Kata Pengantar | xi |
| Daftar Isi | xiii |
| Daftar Gambar | xvii |
| Daftar Tabel | xix |
| | |
| BAB 1 PENDAHULUAN | 1 |
| 1.1 Latar Belakang..... | 1 |
| 1.2 Rumusan Masalah | 2 |
| 1.3 Batasan Masalah..... | 2 |
| 1.4 Tujuan Penelitian..... | 3 |
| 1.5 Manfaat Penelitian..... | 3 |
| 1.6 Metodologi | 4 |
| 1.7 Sistematika Penulisan | 5 |
| | |
| BAB 2 TINJAUAN PUSTAKA | 7 |
| 2.1 Sistem Komunikasi Seluler | 7 |
| 2.1.1 Konsep Seluler..... | 8 |
| 2.1.2 Global System for Mobile Communication | 8 |
| 2.1.3 Universal Mobile Telecommunication System | 17 |
| 2.1.4 Frekuensi <i>Reuse</i> | 18 |
| 2.1.5 Handover..... | 19 |
| 2.1.6 Interferensi | 19 |
| 2.1.7 Model Propagasi | 20 |
| 2.2 Jenis Menara Telekomunikasi | 21 |
| 2.3 Teori Dasar Trafik | 24 |
| 2.4 Prediksi Jumlah Penduduk..... | 25 |
| 2.5 Morfologi Area | 25 |
| 2.6 Evolutionary Algorithm..... | 26 |
| 2.7 Differential Evolution..... | 27 |

| | | |
|--|--|-----------|
| 2.7.1 | Algoritma..... | 28 |
| BAB 3 METODOLOGI PENELITIAN | | 33 |
| 3.1 | Flowchart Penelitian..... | 33 |
| 3.1.1 | Tahap Identifikasi..... | 35 |
| 3.1.2 | Tahap Studi Pustaka dan Pengumpulan Data | 35 |
| 3.1.3 | Tahap Pengolahan Data | 35 |
| 3.1.4 | Tahap Implementasi Algoritma | 35 |
| 3.1.5 | Tahap Optimasi | 36 |
| 3.1.6 | Tahap Analisa dan Kesimpulan..... | 36 |
| 3.2 | Identifikasi | 36 |
| 3.2.1 | Penentuan Daerah Penelitian | 36 |
| 3.2.2 | Kebutuhan Data | 37 |
| 3.3 | Pengolahan Data..... | 45 |
| 3.3.1 | Prediksi Jumlah Penduduk..... | 45 |
| 3.3.2 | Peramalan Kapasitas Total Trafik | 47 |
| 3.3.3 | Prediksi Kebutuhan BTS | 51 |
| 3.3.4 | Prediksi Kebutuhan Menara Baru..... | 52 |
| 3.3.5 | Menghitung Radius Cell..... | 53 |
| 3.3.6 | Menghitung Luas Coverage Cell | 54 |
| 3.4 | Penentuan Fungsi Tujuan | 54 |
| 3.4.1 | Pengembangan Formulasi Matematis Fungsi Tujuan.. | 54 |
| 3.4.2 | Implementasi Algoritma <i>Differential Evolution</i> | 56 |
| 3.4.3 | Pengembangan <i>Code</i> | 57 |
| BAB 4 ANALISA DAN PEMBAHASAN..... | | 61 |
| 4.1 | Analisa Data | 61 |
| 4.1.1 | Data Persebaran Menara | 61 |
| 4.1.2 | Persebaran Zona Menara Eksisting | 63 |
| 4.2 | Pengolahan Data..... | 67 |
| 4.2.1 | Prediksi Kebutuhan BTS 2019 | 67 |
| 4.2.2 | Prediksi Kebutuhan Menara 2019 | 67 |
| 4.3 | Penempatan Menara Kebutuhan 2019 | 68 |
| 4.3.1 | Pengujian Algoritma..... | 69 |
| 4.3.2 | Hasil Optimasi Algoritma..... | 71 |

| | |
|------------------------|----|
| BAB 5 PENUTUP | 81 |
| 5.1 Kesimpulan..... | 81 |
| 5.2 Saran..... | 81 |
| DAFTAR PUSTAKA | 83 |
| LAMPIRAN..... | 87 |
| DAFTAR RIWAYAT HIDUP | |

DAFTAR GAMBAR

| | |
|---|-----|
| Gambar 2. 1 Bentuk Sel | 8 |
| Gambar 2. 2 Arsitektur GSM | 9 |
| Gambar 2. 3 Arsitektur Jaringan UMTS | 17 |
| Gambar 2. 4 Mekanisme Frekuensi <i>Reuse</i> | 18 |
| Gambar 2. 5 Proses <i>Handover</i> | 20 |
| Gambar 2. 6 Menara Mandiri (<i>Self Support Tower</i>) | 22 |
| Gambar 2. 7 Menara Teregang (<i>Guyed tower</i>)..... | 23 |
| Gambar 2. 8 Menara Tunggal (<i>Monopole Tower</i>) | 24 |
| Gambar 2. 9 Prosedur Umum Algoritma Evolusioner | 26 |
| Gambar 2. 10 Tahapan Dasar Algoritma Evolusioner | 27 |
| Gambar 2. 11 Siklus Evolusi <i>Differential Evolution</i> | 29 |
| Gambar 2. 12 Ilustrasi Pembentukan Vektor Mutan | 30 |
| Gambar 2. 13 Ilustrasi Proses <i>Crossover</i> dengan D=7 | 31 |
| Gambar 3. 1 <i>Flowchart</i> Metodologi Penelitian..... | 343 |
| Gambar 3. 2 Peta Digital Kabupaten Mojokerto | 39 |
| Gambar 3. 3 Jumlah Penduduk Menurut Jenis Kelamin 2002-2012 | 41 |
| Gambar 3. 4 Pengguna Seluler Menurut Wilayah Tahun 2010..... | 44 |
| Gambar 3. 5 Ilustrasi irisan sel BTS | 56 |
| Gambar 3. 6 <i>Flowchart</i> Metode <i>Differential Evolution</i> | 60 |
| Gambar 4. 1 Persebaran Zona Menara 2G Eksisting | 64 |
| Gambar 4. 2 Persebaran Zona Menara 3G Eksisting | 65 |
| Gambar 4. 3 Persebaran Zona Menara 2G dan 3G Eksisting | 66 |
| Gambar 4. 4 Tahap Inisialisasi Populasi | 72 |
| Gambar 4. 5 Tahap Mutasi Vektor | 72 |
| Gambar 4. 6 Tahap <i>Crossover</i> Vektor | 73 |
| Gambar 4. 7 Tahap Seleksi Vektor | 73 |
| Gambar 4. 8 Persebaran Zona 2G Kebutuhan tahun 2019 | 74 |
| Gambar 4. 9 Persebaran Zona 3G Kebutuhan tahun 2019 | 76 |

DAFTAR TABEL

| | |
|---|----|
| Tabel 2. 1 Tabel Frekuensi Jaringan GSM..... | 10 |
| Tabel 3. 1 Jumlah dan Pertumbuhan Penduduk Mojokerto tahun 2012 | 40 |
| Tabel 3. 2 Daya Pancar BTS GSM 900 dan BTS GSM 1800 | 42 |
| Tabel 3. 3 Daya Pancar CDMA 2000 | 42 |
| Tabel 3. 4 Operator Seluler Indonesia..... | 43 |
| Tabel 3. 5 Prediksi Jumlah Penduduk dari tahun 2014 sampai 2019 | 46 |
| Tabel 3. 6 Kebutuhan Trafik 2G Kabupaten Mojokerto tahun 2019.... | 48 |
| Tabel 3. 7 Kebutuhan Trafik 3G Kabupaten Mojokerto tahun 2019.... | 50 |
| Tabel 3. 8 Parameter Asumsi Kanal UMTS..... | 51 |
| Tabel 3. 9 Parameter Tambahan..... | 53 |
| Tabel 4. 1 Jumlah Menara dan BTS Eksisting tahun 2014 | 62 |
| Tabel 4. 2 Jumlah BTS Setiap Operator Seluler | 63 |
| Tabel 4. 3 Prediksi Kebutuhan BTS tahun 2019 | 67 |
| Tabel 4. 4 Prediksi Kebutuhan Menara 2019 | 68 |
| Tabel 4. 5 Jumlah Titik Alternatif Setiap Kecamatan | 69 |
| Tabel 4. 6 <i>Output</i> 10 Replikasi dengan CR = 0,9 dan F = 0,9 | 70 |
| Tabel 4. 7 <i>Output</i> 10 Replikasi dengan CR = 0,2 dan F = 0,9 | 70 |
| Tabel 4. 8 Rekap Pengujian Parameter Algoritma DE..... | 71 |

BAB 1

PENDAHULUAN

Bab pendahuluan ini berisi hal-hal yang mendasari pelaksanaan penelitian dan pengidentifikasi masalah penelitian. Komponen-komponen yang terdapat dalam bab ini meliputi latar belakang masalah, rumusan masalah, batasan masalah, tujuan penelitian, manfaat penelitian, metodologi, dan sistematika penulisan.

1.1 Latar Belakang

Perkembangan teknologi dan industri telekomunikasi telah mengalami perkembangan yang sangat pesat. Berbagai varian teknologi sistem telekomunikasi nirkabel semakin berkembang pesat meliputi GSM dan CDMA yang mulai tersebar di seluruh wilayah indonesia. Seiring dengan meningkatnya kebutuhan akan teknologi informasi, kini kebutuhan sistem telekomunikasi tidak hanya terbatas pada *voice*, namun juga mencakup kebutuhan akses data berkecepatan tinggi, sehingga daya tarik sistem telekomunikasi nirkabel bagi masyarakat semakin besar. Hal ini dikarenakan kemampuan akses *mobile* dari sistem telekomunikasi nirkabel. Ketersediaan layanan diupayakan oleh sejumlah operator seluler yang menawarkan berbagai sistem dan layanan yang bervariasi dengan melakukan pembangunan infrastruktur jaringan seluler. Salah satu aspek penting dalam perencanaan infrastruktur jaringan seluler adalah *Base Transceiver Station (BTS)* yang merupakan sebuah pemancar dan penerima sinyal *telephone* seluler.

Pertumbuhan menara *BTS* (*Base Transceiver Station*) menjadi infrastruktur utama dalam penyelenggaraan jaringan telekomunikasi yang sangat dibutuhkan untuk pelayanan dan peningkatan kualitas jaringan telekomunikasi. Sehingga penambahan jumlah dan lokasi menara menjadi suatu keharusan bagi sejumlah operator seluler agar mampu melayani kebutuhan layanan dan jaringan telekomunikasi. Untuk mendirikan suatu menara BTS memerlukan ketersediaan lahan, bangunan, dan udara yang cukup memakan tempat. Jika dilihat dari sudut pandang yang berlawanan, kerapatan lokasi menara yang terlalu tinggi akan membawa beberapa permasalahan yang berimbang kepada masyarakat sekitar. Di satu sisi, peningkatan jumlah lokasi menara memang akan mendukung tercapainya pemenuhan kebutuhan

masyarakat terhadap layanan telekomunikasi. Namun di sisi lain, penempatan menara yang terlalu banyak dan tanpa perencanaan serta koordinasi yang tepat akan menimbulkan penghutanan menara yang dapat mengganggu estetika lingkungan, tata ruang suatu wilayah dan radiasi gelombang radio yang tidak terkontrol sehingga akan sangat mengganggu.

Berdasarkan masalah yang telah diuraikan diatas, maka dapat diselesaikan dengan cara menyusun suatu *master plan* yang lengkap dan rinci tentang penataan lokasi menara di Kabupaten Mojokerto. *Master Plan* penataan menara BTS perlu mengacu dari gagasan atas pemenuhan kebutuhan telekomunikasi masyarakat, estetika dan keamanan, sedangkan penyusunannya perlu memperhatikan regulasi dan daerah wilayah yang akan dirancang. Penelitian ini bertujuan untuk melakukan optimasi penempatan menara BTS secara optimal sehingga mampu melayani kebutuhan akan layanan telekomunikasi dan mampu menghasilkan daerah cakupan layanan yang lebih optimal.

1.2 Rumusan Masalah

Adapun permasalahan yang akan dibahas dalam penelitian ini adalah sebagai berikut :

1. Bagaimana merencanakan dan membangun zona menara BTS eksisting di Kabupaten Mojokerto.
2. Bagaimana merencanakan kebutuhan akan komunikasi seluler di Kabupaten Mojokerto tahun 2019.
3. Bagaimana cara mengoptimalkan penempatan lokasi menara BTS bersama di Kabupaten Mojokerto tahun 2019 dengan mempertimbangkan estetika lingkungan dan tata ruang di Kabupaten Mojokerto sesuai dengan Peraturan Menteri Kominfo.

1.3 Batasan Masalah

Untuk mendapatkan hasil yang diinginkan, maka penelitian ini diberikan beberapa batasan masalah sebagai berikut :

1. Proses perancangan zona menara menggunakan luas *coverage area cell* yang mampu dihasilkan oleh menara BTS.
2. Kriteria yang dipertimbangkan dalam model penentuan lokasi penempatan menara BTS sesuai dengan model geometri lingkaran, yaitu perhitungan luasan daerah lingkaran yang saling beririsan.

3. Proses optimalisasi menara BTS didasarkan pada pertimbangan luas wilayah, kepadatan penduduk, dan kebutuhan trafik seluler.
4. Data lokasi BTS eksisting yang digunakan berasal dari Dinas Pendapatan Daerah Kabupaten Mojokerto tahun 2014.
5. Proses komputasi menggunakan *software Microsoft Office Excel 2007* dan *MATLAB 2012*.
6. Hasil perancangan ditampilkan menggunakan *software MapInfo Profesional 10.0*.

1.4 Tujuan Penelitian

Adapun tujuan yang ingin dicapai dalam pelaksanaan penelitian ini adalah :

1. Dapat merencanakan zona menara BTS eksisting di Kabupaten Mojokerto.
2. Dapat merencanakan kebutuhan menara BTS bersama di Kabupaten Mojokerto tahun 2019.
3. Mendapatkan lokasi penempatan menara BTS bersama di Kabupaten Mojokerto yang optimal tahun 2019 sehingga didapatkan total luas *coverage area cell* yang optimal.

1.5 Manfaat Penelitian

Hasil yang diperoleh dari penelitian ini diharapkan dapat memberikan manfaat sebagai berikut :

1. Dapat memberikan kontribusi dan rekomendasi bagi pemerintah daerah Kabupaten Mojokerto dalam menerapkan kebijakan penempatan lokasi menara BTS baru yang optimal di wilayah Kabupaten Mojokerto untuk kebutuhan tahun 2019.
2. Dapat memberikan kontribusi pada pengembangan ilmu pengetahuan dan pengembangan konsep, serta penerapan algoritma optimasi untuk penyelesaian masalah penerapan menara telekomunikasi seluler bersama.
3. Sebagai bahan referensi bagi penelitian yang akan datang.

1.6 Metodologi

Dalam proses penelitian ini dapat dilakukan dengan menggunakan beberapa pendekatan, antara lain :

- 1. Tahap Identifikasi**

Pada tahapan awal penelitian tugas akhir ini, dilakukan identifikasi permasalahan yaitu bagaimana menempatkan menara BTS secara optimal sehingga dapat mencakup daerah yang lebih luas dengan menggunakan Algoritma *Differential Evolution (DE)*.

- 2. Tahap Studi Pustaka dan Pengumpulan Data**

Literature review mengenai teori komunikasi seluler dan algoritma *Differential Evolution (DE)* dilakukan pada tahapan studi pustaka. Tujuan dilaksanakan studi pustaka ini supaya penelitian ini memiliki pedoman secara teori sehingga permasalahan yang diangkat dapat terselesaikan. Setelah studi pustaka dilakukan, maka dapat diketahui data apa saja yang dibutuhkan untuk menunjang penelitian ini.

- 3. Tahap Pengolahan Data**

Pada tahapan ini data yang telah diperoleh kemudian diolah untuk menghasilkan beberapa parameter yang nantinya digunakan dalam pengembangan model yang akan dilakukan. Pengolahan data yang dilakukan meliputi, koordinat vektor x dan y dari koordinat lintang dan bujur dari menara BTS eksisting, jarak antar titik menara, dan radius *cell* dari menara BTS.

- 4. Tahap Implementasi Algoritma**

Pada tahapan ini dilakukan implementasi algoritma *Differential Evolution* untuk menyelesaikan permasalahan penempatan menara BTS secara optimal dengan mencari solusi optimal dari tujuan optimasi yang akan dilakukan. Dalam tahapan ini dilakukan proses penentuan fungsi tujuan optimasi dan proses implementasi algoritma *Differential Evolution* ke dalam *software MATLAB*.

5. Tahap Optimasi

Pada tahapan optimasi ini akan dilakukan proses evaluasi *fitness function* atau fungsi tujuan yang telah ditentukan sehingga akan didapatkan suatu nilai hasil dari evaluasi fungsi tujuan yang digunakan. Dalam tahapan optimasi ini dilakukan pencarian kombinasi terbaik dari peletakan menara agar dapat menghasilkan luas daerah cakupan yang lebih optimal sehingga dapat memperluas daerah cakupan ataupun mengurangi daerah irisan antar sel yang sudah ada.

6. Tahap Analisa dan Kesimpulan

Hasil dari implementasi dan optimasi menggunakan algoritma *Differential Evolution* akan dilakukan analisis secara mendalam terhadap perancangan yang sudah ada di lapangan saat ini. Analisa yang dilakukan berdasarkan pada analisa *coverage* sel yang dihasilkan dari proses optimasi.

1.7 Sistematika Penulisan

Laporan tugas akhir ini terdiri dari enam bab dengan sistematika penulisan sebagai berikut :

BAB I : PENDAHULUAN

Bab Pendahuluan ini berisi hal-hal yang mendasari pelaksanaan penelitian dan pengidentifikasi masalah penelitian. Komponen-komponen yang terdapat dalam bab ini meliputi latar belakang masalah, rumusan masalah, batasan masalah, tujuan penelitian, manfaat penelitian, metodologi, dan sistematika penulisan.

BAB II : TINJAUAN PUSTAKA

Bab Tinjauan Pustaka ini merupakan kepustakaan yang relevan dan sesuai dengan topik penelitian tugas akhir. Uraian teori dijadikan acuan dalam menyelesaikan penelitian tugas akhir.

BAB III : METODOLOGI PENELITIAN

Bab Metodologi Penelitian akan menguraikan metodologi penelitian yang digunakan dalam penyelesaian tugas akhir. Di dalamnya dibahas mengenai tahapan-tahapan yang dilakukan penulis dalam pemecahan masalah, mulai dari identifikasi masalah, implementasi algoritma, analisis, serta kesimpulan dan saran. Implementasi algoritma

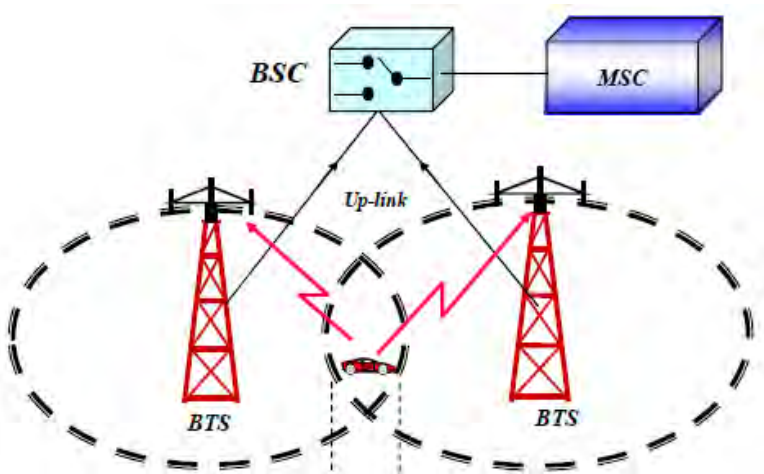
akan menunjukkan bagaimana model matematis permasalahan penempatan menara BTS secara optimal serta pengembangan Algoritma *Differential Evolution (DE)* yang mampu melakukan proses optimasi terhadap model matematis yang telah dirancang.

BAB IV : ANALISA DAN PEMBAHASAN

Pada bab Analisa dan Pembahasan akan menguraikan hasil uji coba model yang telah dilakukan sebelumnya. Di paparkan pula analisis mengenai kesesuaian hasil penelitian dengan teori.

BAB V : PENUTUP

Pada bab Penutup berisi kesimpulan dan saran yang diperoleh dari hasil penelitian tugas akhir.



Gambar 2.5 Proses Handover [8]

2.1.7 Model Propagasi

Model propagasi yang sering digunakan dalam perancangan sistem komunikasi seluler adalah model Okumura-Hatta. Model Okumura-Hatta adalah model propagasi yang paling dikenal dan sesuai untuk memprediksi medan pelemahan sinyal radio untuk lingkungan makrosel. Model Okumura-Hatta merupakan model empiris yang mana berarti model yang didasarkan pada proses pengukuran di lapangan. Awalnya Okumura melakukan di Tokyo dan kemudian mempublikasikan hasilnya dalam bentuk grafik, sedangkan Hatta mengubah bentuk grafik tersebut kedalam persamaan matematis.

Berikut adalah model Okumura-Hatta untuk menghitung jari-jari sel [10]:

a. Daerah *Urban*

$$d = 10 \frac{(\text{MAPL} - 69.55 - 26.16 \log f + 13.82 \log h_{\text{BTS}} + a(h_{\text{MS}}))}{44.9 - 6.55 \log h_{\text{BTS}}} \quad (2.2)$$

b. Daerah *Suburban*

$$d = 10 \frac{(\text{MAPL} - 69.55 - 26.16 \log f + 13.82 \log h_{\text{BTS}} + P)}{44.9 - 6.55 \log h_{\text{BTS}}} \quad (2.3)$$

c. Daerah *Rural*

$$d = 10 \frac{(\text{MAPL} - 69.55 - 26.16 \log f + 13.82 \log h_{\text{BTS}} + Q)}{44.9 - 6.55 \log h_{\text{BTS}}} \quad (2.4)$$

Dimana :

$$P = 2(\log \left(\frac{f}{28} \right))^2 + 5.4 \quad (2.5)$$

$$Q = 4.78(\log f)^2 - 18.33 \log f + 40.94 \quad (2.6)$$

2.2 Jenis Menara Telekomunikasi

Untuk meletakkan antena pemancaar BTS dibutuhkan sebuah menara (*tower*). Ketinggian menara disesuaikan dengan kebutuhan dan kondisi lingkungan di sekitar. Pada menara telekomunikasi biasanya terdapat *shelter* yang berfungsi sebagai tempat untuk menyimpan berbagai perangkat telekomunikasi. Jenis menara dan operasionalnya dapat diklasifikasikan berdasarkan [11]:

a. Tempat berdirinya menara, mencakup :

1. Menara yang dibangun di atas tanah (*green field*)
2. Menara yang dibangun diatas bangunan (*roof top*)

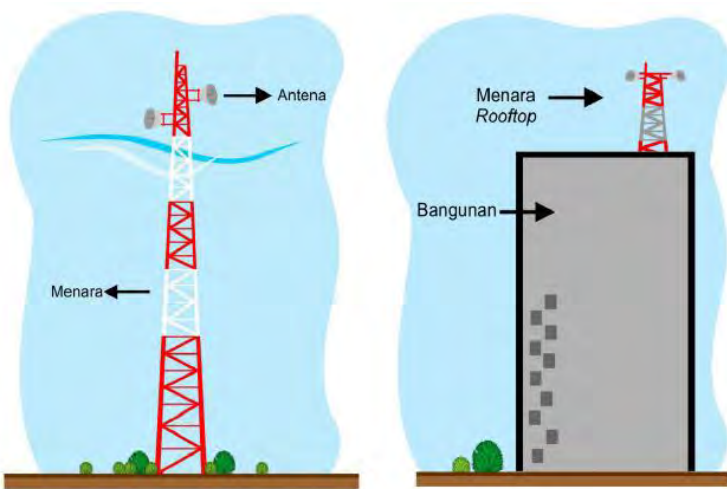
b. Struktur bangunan menara, mencakup :

1. Menara mandiri (*self supporting tower*)

Menara mandiri merupakan menara dengan struktur rangka baja yang berdiri sendiri dan kokoh, sehingga mampu menampung perangkat telekomunikasi dengan optimal. Menara ini dapat didirikan di atas bangunan atau di atas tanah seperti yang ditunjukkan pada Gambar 2.6. Menara tipe ini dapat berupa menara berkaki 4 (*rectangular tower*) dan menara berkaki 3 (*triangular tower*).

Menara ini memiliki fungsi untuk :

- Komunikasi bergerak seluler di daratan, mencakup komunikasi seluler dengan teknologi GSM dan CDMA.
- Komunikasi *point to point*.
- Penyiaran televisi.
- Penyiaran radio.

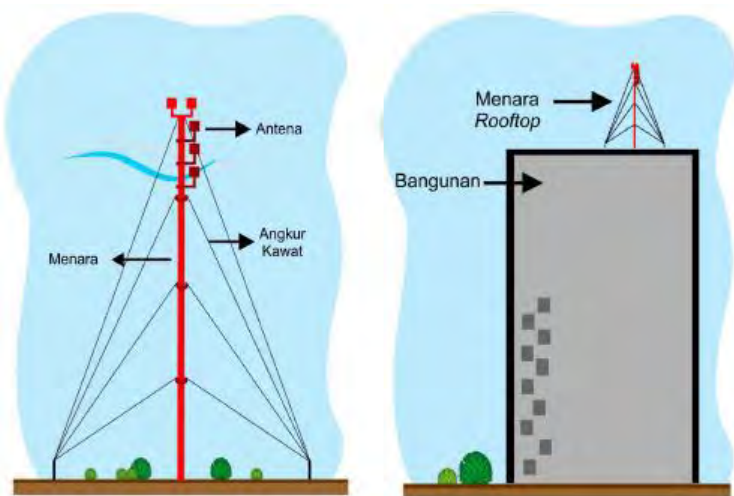


Gambar 2. 6 Menara Mandiri (*Self Support Tower*)[11]

2. Menara teregang (*guyed tower*)

Menara teregang merupakan menara dengan struktur rangka baja yang memiliki penampang lebih kecil dari menara mandiri dan berdiri dengan bantuan perkuatan kabel yang diangkurkan pada tanah dan diatas bangunan seperti yang ditunjukkan pada Gambar 2.7. Menara ini memiliki fungsi untuk :

- Komunikasi bergerak seluler di daratan, mencakup komunikasi seluler dengan teknologi GSM dan CDMA.
- Komunikasi *point to point*.
- Jaringan telekomunikasi nirkabel.
- Penyiaran televisi.
- Penyiaran radio.

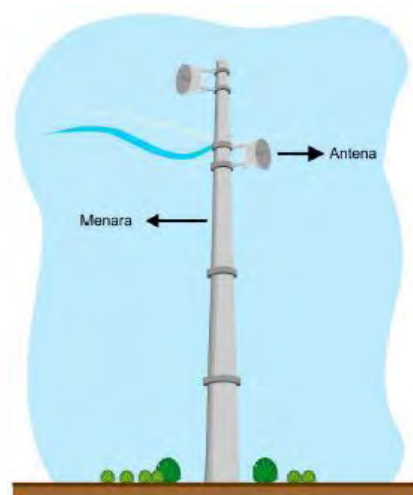


Gambar 2. 7 Menara Teregang (*Guyed tower*)[11]

3. Menara tunggal (*monopole tower*)

Menara tunggal merupakan menara yang hanya terdiri dari satu rangka tiang yang didirikan atau ditancapkan langsung pada tanah dan tidak dapat didirikan di atas bangunan seperti yang ditunjukkan pada Gambar 2.8. Berdasarkan penampangnya, menara *monopole* terbagi menjadi menara berpenampang lingkaran (*circular pole*) dan menara berpenampang persegi (*tapered pole*). Menara tunggal memiliki fungsi untuk :

- Komunikasi bergerak seluler di daratan, mencakup komunikasi seluler dengan teknologi GSM dan CDMA.
- Komunikasi *point to point*.
- Jaringan telekomunikasi nirkabel.
- Jaringan transmisi.
- Komunikasi radio gelombang mikro.



Gambar 2.8 Menara Tunggal (*Monopole Tower*).[11]

2.3 Teori Dasar Trafik

Trafik merupakan perpindahan informasi dari suatu tempat ke tempat lain melalui jaringan telekomunikasi. Besaran dari suatu trafik telekomunikasi di ukur dengan satuan waktu. Nilai trafik dari suatu kanal adalah lamanya pendudukan kanal tersebut. Tujuan perhitungan trafik adalah untuk mengetahui *Network Performance* dan *Quality of Service (QoS)*. Volume trafik adalah jumlah waktu dari masing-masing pendudukan pada seluruh saluran telekomunikasi. Volume trafik dapat ditentukan dengan mangalikan jumlah panggilan dengan waktu rata-rata pendudukan. [12]

$$A = \frac{V}{T} \quad (2.7)$$

dimana :

A = Intensitas trafik (Erlang)

V = Volume trafik atau waktu pendudukan persatuan waktu

T = Periode waktu pengamatan

2.4 Prediksi Jumlah Penduduk

Prediksi jumlah penduduk perlu dilakukan untuk memperkirakan jumlah penduduk di masa yang akan datang. Pada umumnya prediksi jumlah penduduk diperlukan untuk tahapan perencanaan jangka panjang suatu wilayah. Tingkat pertumbuhan penduduk di suatu wilayah dapat dihitung dengan cara membandingkan jumlah penduduk awal dengan jumlah penduduk di tahun kemudian. Dengan menggunakan rumus pertumbuhan geometrik, angka pertumbuhan penduduk sama untuk setiap tahunnya. Untuk dapat memprediksi jumlah penduduk di masa yang akan datang dapat digunakan rumus [3]:

$$P_t = P_0 (1 + r)^t \quad (2.8)$$

dimana:

- P_t = jumlah penduduk tahun t
 P_0 = jumlah penduduk awal
 r = laju pertumbuhan penduduk
 t = jumlah tahun dari 0 ke t

2.5 Morfologi Area

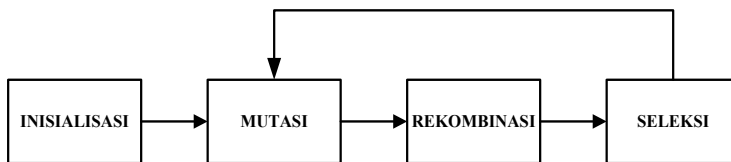
Morfologi area adalah pengelompokan suatu area berdasarkan kepadatan penduduk, perilaku penduduk, dan kondisi lingkungannya. Morfologi area dibedakan menjadi 3 macam yaitu [13]:

- a. *Urban* yaitu merupakan daerah pusat kota, baik kota metropolis maupun kota menengah dengan gedung-gedung yang rapat dan tinggi. Daerah *urban* memiliki kepadatan penduduk yang tinggi dan diwarnai dengan strata sosial ekonomi yang heterogen. Mata pencaharian di daerah perkotaan bervariasi dan lebih mengarah pada bidang industri.
- b. *Suburban* yaitu merupakan daerah peralihan antara kota dan desa yang ditandai dengan jumlah bangunannya yang mulai padat, biasanya ditemui di pinggiran kota maupun kota-kota kecil.
- c. *Rural* yaitu merupakan daerah yang ditandai dengan bangunannya yang sedikit dan jarang, lebih banyak ditemui alam terbuka dan hutan-hutan.

2.6 Evolutionary Algorithm

Algoritma Evolusioner merupakan salah satu metaheuristik yang berdasarkan populasi. Pengembangan algoritma ini diinspirasi oleh teori evolusi Charles Darwin. Selama ini, algoritma evolusioner dapat menyelesaikan dengan baik permasalahan yang sulit diselesaikan oleh metode tradisional. [14]

Nama algoritma evolusioner berasal dari perpaduan antara biologi dan teori evolusi. Sekumpulan parameter permasalahan (*genes*) dimiliki oleh setiap individu. Awalnya, algoritma ini diinisialisasi secara random karena belum diketahui area optimal populasi maupun individu. Selanjutnya adalah kriteria optimasi, disebut dengan *fitness*, mengevaluasi setiap individu dalam populasi sehingga didapatkan *fitness* yang semakin baik. Dari tahapan evaluasi ini, populasi awal *parents* telah siap dan algoritma dapat memulai siklus evolusinya dimana populasi akan melewati tiga tahapan yaitu seleksi, variasi (*crossover* dan *mutation*), dan *replacement* (penggantian individu dengan individu yang lebih baik yang berasal dari *parents* atau *children*). Penjelasan mengenai skema atau prosedur algoritma evolusioner dapat dilihat pada Gambar 2.9 dan Gambar 2.10.

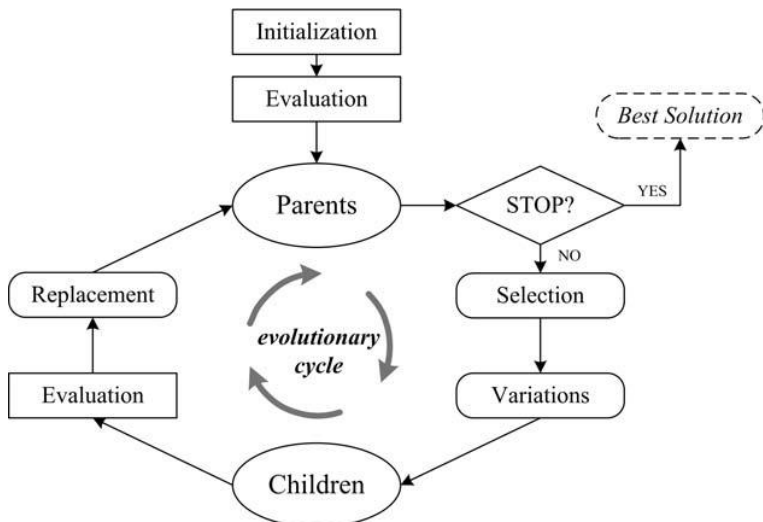


Gambar 2.9 Prosedur Umum Algoritma Evolusioner [28]

Algoritma evolusioner muncul pada tahun 1960-an yaitu ditandai dengan adanya tiga algoritma berikut ini :

- a. *Evolutionary Programming (EP)*. Menurut Fogel et al. (1966) untuk menciptakan suatu *machine intelligence* berdasarkan teori evolusi dan kemudian EP berkembang menjadi teknik optimasi yang efisien.
- b. *Evolution Strategy* diusulkan oleh I. Rechenberg (1973) seperti yang dikutip oleh Price et al. (2005) dan dikembangkan oleh H. Schwefel (1981) untuk menyelesaikan permasalahan penerbangan. Mereka menemukan kunci utama dalam

- algoritma evolusioner yaitu ide dalam adaptasi untuk parameter dalam algoritma.
- c. *Genetic Algorithms (GA)*, konsep algoritma ini diusulkan dan dikembangkan oleh J. Holland (1975) sebagai usaha untuk mengetahui mekanisme adaptasi biologi melalui simulasi secara numerik.



Gambar 2. 10 Tahapan Dasar Algoritma Evolusioner [14]

Seiring berjalananya waktu, algoritma evolusioner semakin berkembang. Teknik-teknik algoritma baru banyak bermunculan dan penerapan dalam permasalahan dunia nyata semakin banyak. Pada sub bab 2.7 akan dijelaskan mengenai alternatif algoritma evolusioner yang lain yaitu *Differential Evolution*.

2.7 Differential Evolution

Differential Evolution (DE) adalah sebuah metode yang dikembangkan oleh Kenneth Price dan dipublikasikan pada Oktober 1994 dalam majalah *Dr. Dobb's Journal* (Price et al., 2005). Metode ini

merupakan metode optimasi matematis fungsi multidimensional dan termasuk dalam kelompok *evolutionary algorithm*.

Munculnya metode DE ini berasal dari usaha penyelesaian permasalahan *fitting* polinomial Chebychev dan menghasilkan ide penggunaan perbedaan vektor untuk mengacak populasi vektor. Kemudian seiring dengan perkembangannya, dalam ICEO (*International Contest on Evolutionary Optimization*) yang pertama, DE menjadi salah satu algoritma genetika terbaik dan dapat menemukan global optimum yang multi dimensi (yaitu menunjukkan lebih dari satu nilai optimum) dengan probabilitas yang baik.

Kelebihan DE dibanding dengan metode algoritma evolusioner sebelumnya adalah adanya evolusi yang dialami oleh setiap individu dalam populasi dimana diferensiasi dan *crossover* terjadi secara berurutan pada setiap individu yang terpilih acak dari populasi setiap waktu. Hasil dari variasi ini dikenal sebagai *child* (turunan) atau *trial individual* yang akan menggantikan *parents* pada populasi apabila *fitness* yang dihasilkan lebih baik atau sama dengan yang dihasilkan *parents*.

2.7.1 Algoritma

Differential Evolution (DE) berdasarkan atas populasi yang sangat sederhana dan sekaligus merupakan fungsi minimasi stokastik yang akurat. Salah satu tahapan yang juga merupakan ide penting dari algoritma DE adalah pada pembangkitan vektor parameter uji (*trial*).

2.7.1.1 Inisialisasi

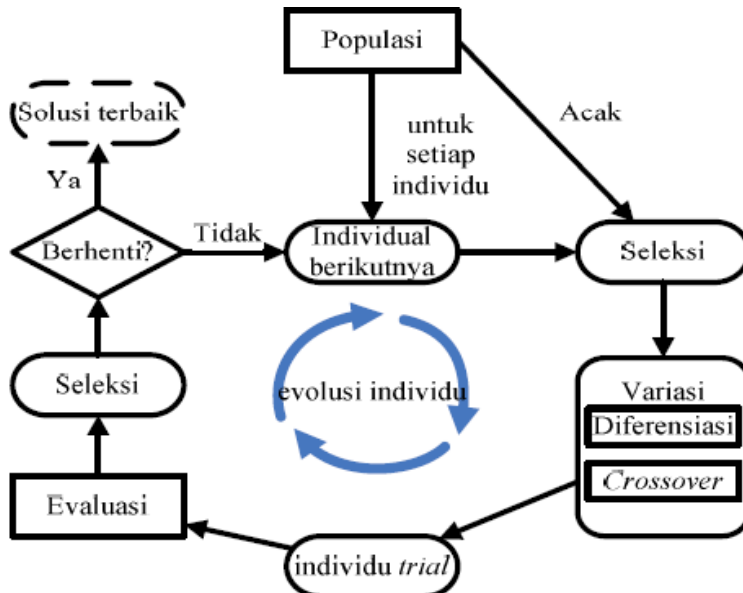
Sebelum populasi dapat diinisialisasi, *upper* dan *lower bounds* untuk setiap parameter harus ditentukan, yaitu dengan vektor inisialisasi D-dimensi b_L dan b_U . L menunjukkan *lower* dan U menunjukkan *upper*. Berikutnya adalah membangkitkan bilangan acak untuk setiap parameter j dari vektor i pada iterasi g . Misalkan nilai inisial ($g = 0$) [16]:

$$X_{j,i,0} = \text{rand}_j(0,1).(\mathbf{b}_{j,U} - \mathbf{b}_{j,L}) + \mathbf{b}_{j,L} \quad (2.9)$$

Bilangan acak tersebut dibangkitkan berdasarkan distribusi uniform pada rentang $[0,1]$ atau $0 \leq \text{rand}_j(0,1) < 1$.

Selain menggunakan distribusi uniform, DE dapat membangkitkan bilangan acaknya dengan distribusi yang lain. Keputusan menggunakan distribusi tertentu dalam pembangkitan

bilangan acak ini tergantung pada pengetahuan terhadap lokasi titik optimal. Akan tetapi pada umumnya distribusi uniform digunakan dalam inisialisasi pembangkitan bilangan acak karena mampu mengatasi kurangnya informasi lokasi titik optimal.



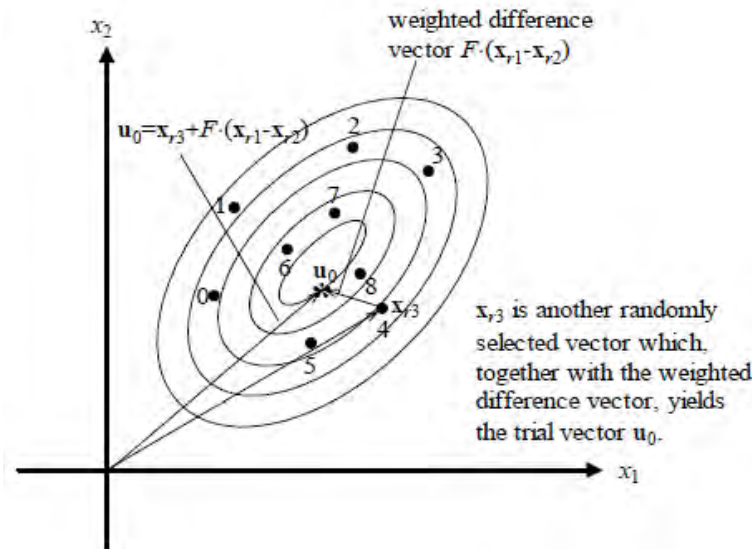
Gambar 2. 11 Siklus Evolusi *Differential Evolution* [14]

2.7.1.2 Mutasi

Setelah diinisialisasi, DE akan memutasi dan merekombinasi populasi awal untuk menghasilkan populasi baru. Mutasi pada beberapa kamus bahasa menunjukkan pengertian berubah dan dalam konteks genetika mutasi berarti perubahan dengan elemen acak. Berikut ini adalah persamaan yang menunjukkan bagaimana membentuk vektor mutan, $v_{i,g}$ [16]:

$$v_{i,g} = x_{r1,g} + F \cdot (x_{r1,g} - x_{r2,g}) \quad (2.10)$$

Dimana $r0$, $r1$, $r2$ adalah indeks acak, integer, dan berbeda. Indeks basis vektor, $r0$, dapat ditentukan dengan berbagai cara antara lain acak, permutasi, stokastik, dan acak *offset*. Sedangkan untuk $r1$ dan $r2$ dipilih secara acak sekali untuk setiap mutan. Gambar 2.12 akan menunjukkan bagaimana membuat vektor mutan pada ruang parameter 2D.



Gambar 2. 12 Ilustrasi Pembentukan Vektor Mutan [17]

2.7.1.3 Crossover

Untuk melengkapi strategi pencarian *differential mutation*, DE menggunakan *crossover* dengan tujuan meningkatkan diversitas parameter populasi. *Crossover* membangun vektor uji dari nilai parameter yang telah *dicopy* dari dua vektor yang berbeda. Pada proses *crossover* ini nantinya akan didapatkan sebuah populasi baru dari hasil persilangan antara kedua buah vektor atau lebih, sehingga populasi tersebut akan digunakan untuk proses selanjutnya yaitu proses seleksi vektor. Persamaan untuk vektor uji adalah sebagai berikut [16]:

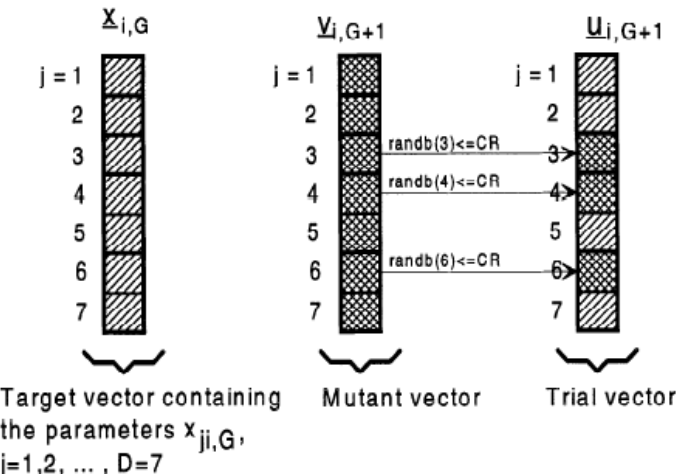
$$u_{i,g+1} = (u_{1i,g+1}, u_{2i,g+1}, \dots, u_{ni,g+1}) \quad (2.11)$$

dimana:

$$u_{i,g+1} = \begin{cases} v_{j,i,g+1} & \text{if } rand_j(0,1) \leq CR \\ x_{j,i,g} & \text{or } j = j_{rand} \\ & \text{otherwise} \end{cases} \quad (2.12)$$

$j = 1, 2, \dots, n$

Dalam persamaan (2.12), $rand_j(0,1)$ adalah evaluasi ke- j dari pembangkitan bilangan acak. CR adalah konstanta crossover yang ditentukan oleh pembuat model, j_{rand} adalah indeks yang dipilih secara acak. Gambar 2.13 akan menunjukkan bagaimana crossover berjalan.



Gambar 2. 13 Ilustrasi Proses Crossover dengan D=7 [18]

2.7.1.4 Seleksi

Menurut Price et al. (2005), pada dasarnya ada dua tahapan dalam proses evolusi yang menggunakan seleksi yaitu *parent selection* dan *survivor selection*. Berikut ini adalah penjelasan mengenai kedua tahapan seleksi tersebut :

a. *Parent Selection*

Seperti yang dikutip dari Goldberg (1989), seleksi ini pada beberapa metode *genetic algorithm* akan menunjukkan vektor mana yang akan direkombinasi. Vektor yang terpilih ditandai dengan nilai fungsi terbaik dan probabilitas seleksi tertinggi. Metode ini dalam memberikan probabilitas seleksi membutuhkan tambahan asumsi tentang bagaimana menggambarkan nilai fungsi tujuan menjadi probabilitas.

b. *Survivor Selection*

Metode ini juga bisa disebut *replacement*. Untuk mengetahui apakah vektor menjadi anggota generasi $g + 1$, maka vektor uji $u_{i,g+1}$ dibandingkan dengan vektor target $x_{i,g}$ menggunakan kriteria *greedy*. Jika vektor $u_{i,g+1}$ menghasilkan fungsi biaya lebih yang lebih kecil daripada $x_{i,g}$ maka $x_{i,g+1}$ akan diatur menjadi $u_{i,g+1}$, dan bila sebaliknya maka nilai $x_{i,g}$ yang lama dipertahankan. Apabila penjelasan ini ditunjukkan dalam persamaan, maka hasilnya adalah sebagai berikut [18]:

$$x_{i,g+1} = \begin{cases} u_{i,g} & \text{if } f(u_{i,g}) \leq f(x_{i,g}) \\ x_{i,g} & \text{otherwise} \end{cases} \quad (2.13)$$

2.7.1.5 Kriteria Penghentian Iterasi

Setelah populasi baru dihasilkan dalam tahapan seleksi, proses mutasi, rekombinasi, dan seleksi akan terus berulang hingga mencapai optimal. Perulangan hingga global optima pada beberapa kondisi akan memakan waktu yang sangat lama, karena itulah dibutuhkan kriteria yang dapat menunjukkan kapan iterasi akan berhenti. Batasan iterasi ini antara lain :

1. Nilai fungsi tujuan pada toleransi tertentu tercapai.
2. Jumlah maksimum iterasi yang dilakukan.
3. Penentuan statistik populasi mendekati angka tertentu.
4. Penentuan lama waktu iterasi.

Ketika mencapai salah satu batas iterasi ini maka pencarian titik optimal akan berhenti dan vektor populasi yang memberikan nilai fungsi terbaik sampai saat itu akan menjadi titik optimal.

BAB 2

TINJAUAN PUSTAKA

Bab tinjauan pustaka ini merupakan kepustakaan yang relevan dan sesuai dengan topik penelitian tugas akhir. Uraian teori dijadikan acuan dalam menyelesaikan penelitian tugas akhir.

2.1 Sistem Komunikasi Seluler

Sistem komunikasi seluler adalah sistem komunikasi jarak jauh tanpa menggunakan kabel. Telekomunikasi seluler merupakan bentuk komunikasi *modern* yang ditujukan untuk menggantikan telepon rumah yang masih menggunakan kabel sebagai media perantaranya.

Salah satu perangkat yang sering disebut sebagai telepon seluler adalah *handphone* atau telepon genggam. Telepon seluler merupakan perangkat telekomunikasi elektronik yang mempunyai kemampuan dasar yang sama dengan telepon *fixed line* konvensional, namun dapat dibawa ke mana saja (*mobile*) dan tidak perlu disambungkan ke jaringan telepon melalui kabel. Perkembangan dunia teknologi seluler selalu mengalami perkembangan dari masa ke masa, adapun perkembangan teknologi seluler adalah sebagai berikut :

1. Generasi Pertama

Pada generasi pertama sistem komunikasi masih menggunakan sistem komunikasi analog dengan kecepatan rendah dan hanya cukup untuk layanan suara. Contohnya NMT (*Nordic Mobile Telephone*) dan AMPS (*Analog Mobile Phone System*).

2. Generasi Kedua

Pada generasi kedua sistem komunikasi sudah mulai menggunakan sistem komunikasi digital dengan kecepatan menengah untuk pita frekuensi lebar. Contohnya GSM (*Global System for Mobile*) dan CDMA (*Code Division Multiple Access*) 200 1x.

3. Generasi 2,5

Menggunakan sistem komunikasi digital dengan kecepatan menengah. Teknologi yang termasuk 2,5G adalah layanan data seperti GPRS (*General Packet Radio Service*) dan EDGE (*Enhance Data Rate for GSM Evolution*) pada domain GSM dan PDN (*Packet Data Network*) pada domain CDMA.

4. Generasi Ketiga

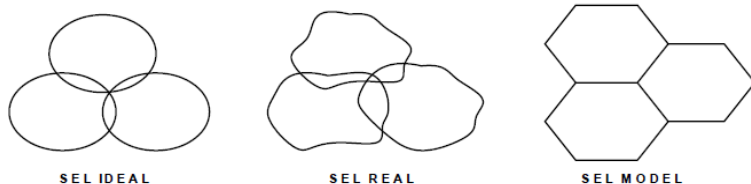
Menggunakan sistem komunikasi digital dengan kecepatan tinggi untuk pita lebar. Contoh WCDMA (*Wideband Code Division Multiple Access*) atau dikenal juga dengan UMTS (*Universal Mobile Telecommunication System*) dan CDMA 2000 1x EV-DO. [1]

2.1.1 Konsep Seluler

Konsep dasar dari suatu sistem seluler adalah adanya pembagian daerah layanan menjadi beberapa daerah yang lebih kecil yang disebut dengan sel. Setiap sel mempunyai daerah cakupannya masing-masing dan beroperasi secara khusus. Jumlah sel pada suatu daerah geografis adalah berdasarkan pada jumlah pelanggan yang beroperasi di daerah tersebut. Ukuran sel pada sistem komunikasi seluler dapat dipengaruhi oleh :

1. Kepadatan trafik.
2. Ketinggian antena sektoral.
3. Daya pemancar, yaitu *base station* dan *mobile station*.
4. Faktor alam seperti udara, laut, gunung, gedung, dan lain-lain.

Bentuk jaringan sistem seluler berkaitan dengan luas cakupan daerah pelayanan. Bentuk sel yang terdapat pada sistem komunikasi bergerak seluler digambarkan dengan bentuk *hexagonal* dan lingkaran. Tetapi bentuk *hexagonal* dipilih sebagai bentuk pendekatan jaringan seluler, karena dari sel yang lebih sedikit dari bentuk *hexagonal* diharapkan dapat mencakup seluruh wilayah pelayanan. [2]



Gambar 2. 1 Bentuk Sel

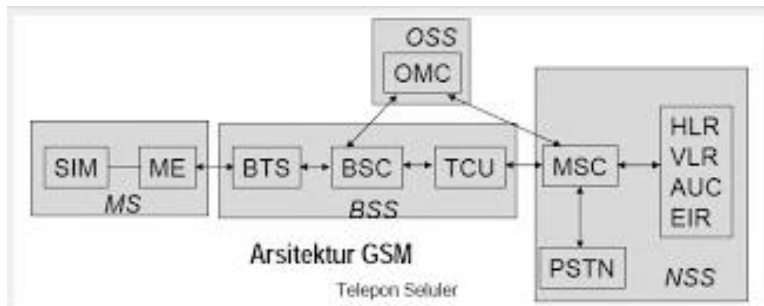
2.1.2 Global System for Mobile Communication (GSM)

Global System for Mobile Communication (GSM) adalah sebuah standar global untuk komunikasi bergerak digital. GSM adalah nama dari sebuah *group* standarisasi yang dibentuk di Eropa tahun 1982 untuk menciptakan sebuah standar bersama telepon bergerak seluler di Eropa yang beroperasi pada daerah frekuensi 900 – 1800 MHz. GSM

merupakan teknologi infrastruktur untuk pelayanan telepon seluler digital yang bekerja berdasarkan TDMA (*Time Division Multiple Access*) dan FDMA (*Frequency Division Multiple Access*). Jaringan GSM adalah jaringan telekomunikasi seluler yang mempunyai arsitektur yang mengikuti standar ETSI (*European Telecommunication Standard Institute*) GSM 900 / GSM 1800.

GSM dengan frekuensi 1800 MHz dan 900 MHz merupakan frekuensi yang paling banyak digunakan di dunia. GSM 900 menggunakan frekuensi *uplink* 890-915 MHz dan frekuensi *downlink* 935-960 MHz, dengan lebar kanal sebesar 200 KHz maka akan tersedia kanal sebesar 124 kanal. Untuk memenuhi kebutuhan kanal yang semakin banyak, maka digunakanlah *extended GSM* yaitu dengan menambah 50 kanal. *Duplex Spacing* (jarak frekuensi antara *uplink* dengan *downlink*) sebesar 45 MHz. GSM 1800 menggunakan frekuensi *uplink* sebesar 1710-1785 MHz dan frekuensi *downlink* sebesar 1805-1880 MHz dengan *bandwidth* sebesar 75 MHz dengan lebar kanal sama seperti pada GSM 900 yaitu 200 KHz maka akan tersedia kanal sebanyak 375 kanal. [3]

Arsitektur jaringan GSM seperti yang ditunjukkan pada Gambar 2.2 terdiri atas empat subsistem yaitu *Mobile Station (MS)*, *Base Station Sub-system (BSS)*, *Network Switching Sub-system (NSS)*, dan *Operation Sub-system (OSS)*. Secara keseluruhan *network element* tersebut akan membentuk sebuah PLMN (*Public Land Mobile Network*).



Gambar 2. 2 Arsitektur GSM. [4]

Tabel 2. 1 Tabel Frekuensi Jaringan GSM. [5]

| System | Band | Uplink (MHz) | Downlink (MHz) | Channel Number |
|-----------|------|---------------|----------------|-----------------|
| T-GSM-380 | 380 | 380.2–389.8 | 390.2–399.8 | Dynamic |
| T-GSM-410 | 410 | 410.2–419.8 | 420.2–429.8 | Dynamic |
| GSM-450 | 450 | 450.4–457.6 | 460.4–467.6 | 259–293 |
| GSM-480 | 480 | 478.8–486.0 | 488.8–496.0 | 306–340 |
| GSM-710 | 710 | 698.0–716.0 | 728.0–746.0 | Dynamic |
| GSM-750 | 750 | 747.0–762.0 | 777.0–792.0 | 438–511 |
| T-GSM-810 | 810 | 806.0–821.0 | 851.0–866.0 | Dynamic |
| GSM-850 | 850 | 824.0–849.0 | 869.0–894.0 | 128–251 |
| P-GSM-900 | 900 | 890.0–915.0 | 935.0–960.0 | 1–124 |
| E-GSM-900 | 900 | 880.0–915.0 | 925.0–960.0 | 975–1023, 0-124 |
| R-GSM-900 | 900 | 876.0–915.0 | 921.0–960.0 | 955–1023, 0-124 |
| T-GSM-900 | 900 | 870.4–876.0 | 915.4–921.0 | Dynamic |
| DCS-1800 | 1800 | 1710.0–1785.0 | 1805.0–1880.0 | 512–885 |
| PCS-1900 | 1900 | 1850.0–1910.0 | 1930.0–1990.0 | 512–810 |

2.1.2.1 Mobile Station (MS)

Bagian paling rendah dari sistem GSM adalah MS (*Mobile Station*). *Mobile Station (MS)* adalah perangkat yang digunakan oleh pelanggan untuk melakukan pembicaraan. Secara umum sebuah MS terdiri dari :

a. *Mobile Equipment (ME)*

Mobile Equipment (ME) atau *handset* adalah perangkat GSM yang berada di sisi pelanggan yang berfungsi sebagai terminal *transceiver* (pengirim dan penerima sinyal) untuk berkomunikasi dengan perangkat GSM lainnya. Secara internasional, ME diidentifikasi dengan IMEI (*International Mobile Equipment Identity*) dan data IMEI ini disimpan di dalam EIR untuk keperluan authentikasi apakah ME yang bersangkutan diijinkan untuk melakukan hubungan atau tidak.

b. *Subscriber Identity Module (SIM)*

Subscriber Identity Module (SIM) adalah sebuah *smart card* yang berisi seluruh informasi pelanggan dan beberapa informasi *service* yang dimilikinya. *Mobile Equipment (ME)* tidak dapat digunakan tanpa ada *SIM card* didalamnya, kecuali untuk panggilan *emergency (SOS)* dapat dilakukan tanpa menggunakan *SIM card*.

2.1.2.2 Base Station Sub-system (BSS)

Secara umum *Base Station Sub-system (BSS)* terdiri dari *BTS (Base Transceiver Station)* dan *BSC (Base Station Controller)*. Segala fungsi yang berhubungan dengan penerimaan data lewat gelombang radio dikerjakan di dalam bagian-bagian BSS, yang terdiri atas :

a. *Base Transceiver Station (BTS)*

BTS adalah perangkat GSM yang berhubungan langsung dengan *MS*. *BTS* berhubungan dengan *MS* melalui *air interface* atau disebut juga dengan *Um Interface*. *BTS* berfungsi sebagai pengirim dan penerima (*transceiver*) sinyal komunikasi dari dan ke *MS* yang menyediakan radio *interface* antara *MS* dan jaringan GSM. Karena fungsinya sebagai *transceiver*, maka bentuk fisik sebuah *BTS* adalah tower dengan dilengkapi antena sebagai *transceiver*. Sebuah *BTS* dapat mengcover area sejauh 35 km. Area cakupan *BTS* ini disebut juga dengan *cell*. Sebuah *cell* dapat dibentuk oleh sebuah *BTS* atau lebih, tergantung dari bentuk *cell* yang diinginkan. Fungsi dasar *BTS* adalah sebagai *Radio Resource Management*, yaitu melakukan fungsi-fungsi terkait dengan :

- Meng-*assign channel* ke *MS* pada saat *MS* akan melakukan hubungan.
- Menerima dan mengirimkan sinyal dari dan ke *MS*, juga mengirimkan atau menerima sinyal dengan frekuensi yang berbeda dengan hanya menggunakan satu antena yang sama.
- Mengontrol *power* yang ditransmitkan ke *MS*.
- Ikut mengontrol proses *handover*.
- *Frequency hopping*.

b. *Base Station Controller (BSC)*

BSC adalah perangkat yang mengontrol kerja *BTS-BTS* yang secara hirarki berada dibawahnya. *BSC* merupakan *interface* yang menghubungkan antara *BTS* dan *MSC (Mobile Switching Center)*. *BSC* secara umum memiliki fungsi sebagai berikut :

- Melakukan fungsi *radio resource management* pada BTS-BTS yang ada dibawahnya.
- Mengontrol proses *handover inter* BSC dan juga ikut serta dalam proses *handover intra* BSC.
- Menghubungkan BTS-BTS yang ada dibawahnya dengan OMC (*Operation and Maintenance Center*) sebagai pusat operasi dan *maintenance*.
- Ikut terlibat dalam proses *Call Control* seperti *call setup*, *routing*, mengontrol dan melakukan *terminate call*.
- Melakukan dan mengontrol proses *timing advance control*, yaitu mengontrol sinyal-sinyal yang diterima MS yang bergerak, sehingga tidak saling *overlap*.

2.1.2.3 Network Switching Sub-system (NSS)

Network Switching Sub-system (NSS) merupakan bagian arsitektur GSM yang berfungsi untuk menghubungkan antara pengguna yang melakukan panggilan dengan pengguna lainnya yang sama menggunakan seluler ataupun yang berbeda jaringan. [2]. NSS memiliki beberapa bagian yaitu [5] :

a. *Mobile Switching Center (MSC)*

MSC adalah network element central dalam sebuah jaringan GSM. Semua hubungan (*voice call / transfer data*) yang dilakukan oleh *mobile subscriber* selalu menggunakan MSC sebagai pusat pembangunan hubungannya. Pada umumnya, MSC memiliki fungsi-fungsi sebagai berikut :

- *Switching* dan *Call Routing* : Sebuah MSC mengontrol proses pembangunan hubungan (*call set up*), mengontrol hubungan yang telah terbangun, dan *me-release call* apabila hubungan telah selesai. Dalam hal ini, MSC akan berkomunikasi dengan banyak *network element* lain seperti NE, BSS, VAS, dan IN. MSC juga melakukan fungsi *routing call* ke PLMN lain (operator seluler lain ataupun jaringan PSTN).
- *Charging* : Untuk pelanggan *pre-paid*, MSC akan selalu berkomunikasi dengan IN yang melakukan fungsi *online charging*. Selain itu, MSC juga akan mencatat semua informasi tentang sebuah *call* dalam bentuk CDR (*Call Detail Record*).

- Berkommunikasi dengan *network element* lainnya (HRL,VLR, IN, *network element* VAS, dan MSC lainnya) : MSC akan berkomunikasi dengan HLR dan VLR terutama dalam proses pembangunan hubungan (*call set up*), *call routing* (di HLR disimpan lokasi terakhir MS tujuan dan untuk merouting *call* tersebut ke MS yang sedang meng-*cover* MS tujuan, HLR akan meminta informasi *routing* ke MSC yang sedang meng-*cover* MS pemanggil) dan *call release*. MSC akan berhubungan dengan network element VAS seperti SMSC, MMSC, RBT server, dll, dalam rangka proses *delivery content service-service* VAS tersebut ke MS tujuan. MSC akan berhubungan dengan MSC lain dalam hal proses *call setup* (termasuk *call routing*), dan juga mengontrol proses *handover* antar *cell* yang terletak pada 2 MSC yang berbeda.
- Mengontrol BSC yang terhubung dengannya : Sebuah MSC dapat terhubung dengan 1 BSC atau lebih. MSC akan mengontrol dan berkomunikasi dengan BSC dalam hal *call setup*, *location update*, *handover* MSC (*handover* antara 2 *cell* yang terdapat pada 2 BSC yang berbeda tapi masih dalam 1 MSC yang sama).

b. *Home Location Register (HLR)*

HLR adalah *network element* yang berfungsi sebagai sebuah *database* sebagai penyimpan semua data dan informasi mengenai pelanggan yang tersimpan secara permanen, dalam arti tidak tergantung pada posisi pelanggan. HLR bertindak sebagai pusat informasi pelanggan yang setiap waktu akan diperlukan oleh VLR untuk merealisasi terjadinya komunikasi pembicaraan. VLR selalu berhubungan dengan HLR dan memberikan informasi posisi terakhir dimana pelanggan berada. Informasi lokasi ini akan *diupdate* apabila pelanggan berpinah dan memasuki *coverage area* suatu MSC yang baru. Informasi-informasi yang disimpan di HLR adalah :

- Identitas pelanggan (IMSI, MSISDN).
- *Supplementary service* pelanggan.
- Informasi lokasi terakhir pelanggan.
- Informasi *authentikasi* pelanggan.

HLR juga akan selalu berkomunikasi dengan AuC dalam hal melakukan *retrieving* parameter authentikasi yang baru setiap saat sebelum segala jenis aktivitas pelanggan dilakukan.

c. *Visitor Location Register (VLR)*

VLR adalah *network element* yang berfungsi sebagai sebuah *database* yang menyimpan data dan informasi pelanggan, dimulai pada saat pelanggan memasuki suatu area yang bernaung dalam wilayah MSC VLR (setiap MSC akan memiliki 1 VLR sendiri) tersebut. Informasi pelanggan yang ada di VLR ini pada dasarnya adalah *copy-an* dari informasi pelanggan yang ada di HLR-nya. Adanya informasi mengenai pelanggan dalam VLR memungkinkan MSC untuk melakukan hubungan baik *incoming* (panggilan masuk) maupun *outgoing* (panggilan keluar). VLR bertindak sebagai *database* pelanggan yang bersifat dinamis, karena selalu berubah setiap waktu, menyesuaikan dengan pelanggan yang memasuki atau berpindah dalam suatu area cakupan suatu MSC.

Data yang tersimpan dalam VLR secara otomatis akan selalu berubah mengikuti pergerakan pelanggan. Ketika pelanggan bergerak meninggalkan area suatu MSC dan menuju area MSC lainnya, maka informasinya akan dicatat di VLR MSC barunya dan dihapus dari VLR sebelumnya. Dengan demikian posisi pelanggan dapat dimonitor secara terus menerus dan hal ini akan memungkinkan MSC untuk melakukan penyambungan pembicaraan atau SMS dari dan ke pelanggan satu dengan pelanggan lain. VLR selalu berhubungan secara intensif dengan HLR yang berfungsi sebagai sumber data pelanggan.

Bila sebuah MS bergerak keluar *coverage area* suatu MSC menuju *coverage* MSC yang lain, maka yang terjadi adalah:

- VLR MSC yang baru akan meng-*check* di *database*-nya apakah *record* MS tersebut sudah ada atau belum. Proses pengecekan dilakukan dengan menggunakan IMSI.
- Jika *record*-nya belum ada, maka VLR akan mengirimkan *request* ke HLR MS tersebut untuk mengirimkan *copy-an* data MS tersebut yang ada di HLR-nya.
- HLR akan mengirimkan informasi MS tersebut ke VLR tujuan dan juga meng-*update* informasi lokasi MS tersebut di *database* HLR. HLR kemudian akan menginstruksikan VLR sebelumnya untuk menghapus informasi MS tersebut di *database*-nya.
- VLR yang baru akan menyimpan informasi MS tersebut, termasuk lokasi terakhir dan statusnya.

d. *Authentication Center (AuC)*

AuC menyimpan semua informasi yang diperlukan untuk memeriksa keabsahan pelanggan, sehingga usaha untuk mencoba mengadakan hubungan pembicaraan bagi pelanggan yang tidak sah dapat dihindarkan. Disamping itu AuC berfungsi untuk menghindarkan adanya pihak ke tiga yang secara tidak sah mencoba untuk menyadap pembicaraan. Dengan fasilitas ini,maka kerugian yang dialami pelanggan sistem selular analog saat ini akibat banyaknya usaha memparalel, tidak mungkin terjadi lagi pada GSM. Sebelum proses penyambungan *switching* dilaksanakan, sistem akan memeriksa terlebih dahulu, apakah pelanggan yang akan mengadakan pembicaraan adalah pelanggan yang sah atau tidak.

AuC menyimpan informasi mengenai *authentication* dan *chiphering key*. Karena fungsinya yang mengharuskan sangat khusus, *authentication* mempunyai algoritma yang spesifik, disertai prosedur *chiphering* yang berbeda untuk masing-masing pelanggan. Kondisi ini menyebabkan AuC memerlukan kapasitas memori yang sangat besar. Wajar apabila GSM memerlukan kapasitas memori sangat besar pula. Karena fungsinya yang sangat penting, maka operator selular harus dapat menjaga keamanannya agar tidak dapat diakses oleh personil yang tidak berkepentingan. Personil yang mengoperasikan dilengkapi dengan *chipcard* dan juga *password* identitas dirinya.

e. *Equipment Identity Registration (EIR)*

EIR memuat data-data peralatan pelanggan (*Mobile Equipment*) yang diidentifikasi dengan IMEI (*International Mobile equipment Identity*). Data *Mobile Equipment* yang di simpan di EIR dapat dibagi atas 3 (tiga) kategori:

- Peralatan yang diijinkan untuk mengadakan hubungan pembicaraan kemanapun.
- Peralatan yang dibatasi dan hanya diijinkan mengadakan hubungan pembicaraan ketujuan yang terbatas.
- Peralatan yang sama sekali tidak diijinkan untuk berkomunikasi.

Kebaradaan EIR belum distandardisasi secara penuh, oleh karena itu belum dioperasikan di semua operator. Masih diperlukan klasifikasi dan penyempurnaan yang berkaitan dengan aspek hukum. Di Indonesia sendiri, belum ada operator seluler yang mengimplementasikan EIR. Bila EIR digunakan, maka operator dapat melakukan pemblokiran terhadap *handset* (bukan pemblokiran nomor pelanggan, tapi

pemblokiran pesawat teleponnya) yang digunakan oleh pelanggan. Sehingga apabila ada *handset* pelanggan yang hilang, maka pelanggan dapat mengajukan agar *handset* tersebut diblokir sehingga tidak akan pernah dapat digunakan lagi oleh orang lain. Dengan pengimplementasian EIR ini tentu akan dapat mengurangi kasus-kasus pencurian *handphone*, karena si pemilik dapat meminta agar *handphone*-nya yang sudah dicuri diblokir dan tidak dapat digunakan lagi. Sehingga motivasi para pencuri untuk melakukan pencurian *handphone* akan berkurang.

2.1.2.4 Operation and Support System (OSS)

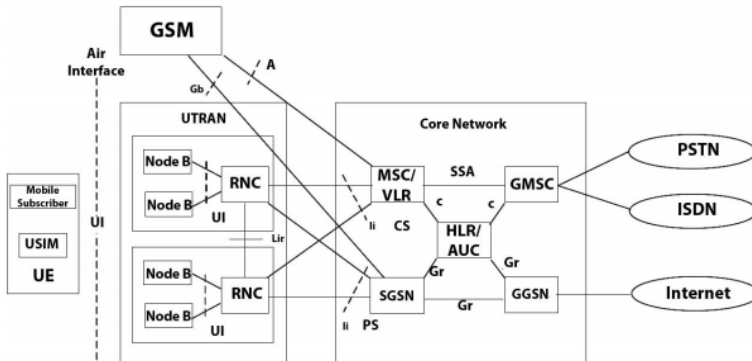
Operation and Support System (OSS) sering juga disebut dengan *OMC (Operation and Maintenance Center)*, adalah *sub-system* jaringan GSM yang berfungsi sebagai pusat pengendalian dan *maintenance* perangkat (*network element*) GSM yang terhubung dengannya. Tiap-tiap *network element* mempunyai perangkat OMC-nya sendiri-sendiri, misalnya *network element* NSS mempunyai perangkat OMC sendiri, *network element* BSS mempunyai perangkat OMC sendiri, *network element* VAS juga memiliki perangkat OMC sendiri. Biasanya, di banyak operator semua perangkat OMC ini diletakan di dalam satu ruangan OMC yang terpusat. OMC pada umumnya memiliki fungsi-fungsi sebagai berikut :

- *Fault Management* : memonitor keadaan/kondisi tiap-tiap *network element* yang terhubung dengannya. Dalam hal ini, OMC akan selalu menerima alarm dari *network element* yang menunjukkan kondisi di *network element* yang dimonitor, apakah ada *problem* di *network element* atau tidak.
- *Configuration Management* : sebagai *interface* untuk melakukan atau merubah konfigurasi *network element* yang terhubung dengannya.
- *Performance Management* : beberapa OMC ada yang dilengkapi juga dengan fungsi *performance management*, yaitu fungsi untuk memonitor *performance* dari *network element* yang terhubung dengannya.
- *Inventory Management* : OMC juga dapat berfungsi sebagai *inventory management*, karena di *database* OMC terdapat informasi tentang aset yang berupa *network element*, seperti

jumlah dan konfigurasi seluruh *network element*, dan juga kapasitas *network element*.[5]

2.1.3 Universal Mobile Telecommunication System (UMTS)

Universal Mobile Telecommunication System (UMTS), merupakan teknologi generasi ketiga (3G) untuk GSM. Teknologi ini menggunakan *Wideband-AMR (Adaptive Multi-Rate)* untuk kodifikasi suara sehingga kualitas suara yang didapat menjadi lebih baik dari generasi sebelumnya. Sementara kecepatan UMTS atau WCDMA masih 384 kbps. Pada *Wideband CDMA* terdapat sistem *Direct-Sequence Code Division Multiple Access (DS-CDMA)* pita lebar, yaitu bit informasi dari pelanggan tersebar melalui *bandwidth* yang lebar dengan cara *multiply* data pelanggan dengan *chip* yang dibentuk dari *CDMA spreading codes*. W-CDMA merupakan *focus primer* oleh standard 3GPP. Arsitektur jaringan UMTS terlihat pada Gambar 2.3 berikut ini [6]:



Gambar 2. 3 Arsitektur Jaringan UMTS [22]

2.1.3.1 Kapasitas Kanal UMTS

Kapasitas kanal UMTS yang dimaksud adalah banyaknya kanal tiap sel (N_{user} / sel) yang terdapat pada sebuah BTS UMTS. Untuk dapat mengetahui banyaknya kanal yang tersedia pada satu sel BTS dapat digunakan rumus pada persamaan berikut [7]:

$$N_{sel} = 1 + \frac{W/R}{EB/N_0} \cdot \frac{\alpha}{(1+i)v} \quad (2.1)$$

dimana:

N_{sel} = jumlah kanal per sel

W = chiprate

R = bitrate pengguna

E_b/N_0 = energi sinyal per bit

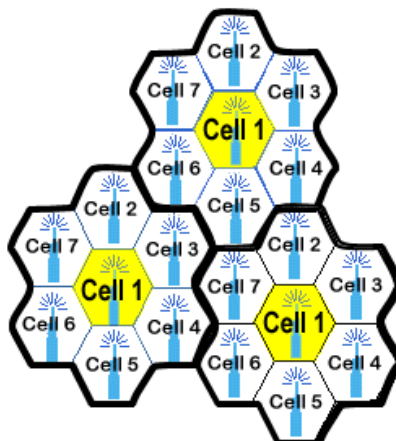
α = faktor koreksi kontrol daya yang dipengaruhi beban sel

i = interferensi *co-channel* sel lain terhadap sel sendiri

v = faktor aktifitas pengguna

2.1.4 Frekuensi Reuse

Frekuensi *Reuse* adalah penggunaan kembali frekuensi yang sama di area yang berbeda dengan mempertimbangkan efek interferensi. Frekuensi *reuse* dilakukan karena alasan keterbatasan spektrum frekuensi, keterbatasan *coverage area cell*, menambah jumlah kanal frekuensi dan untuk efisiensi frekuensi yang dimiliki. Antara *cell-cell* yang bersebelahan tidak boleh menggunakan frekuensi yang sama atau berdekatan agar tidak terjadi interferensi. Pada konsep frekuensi *reuse*, suatu kanal frekuensi tertentu dapat melayani beberapa panggilan pada waktu yang bersamaan. Maka dapat dikatakan penggunaan spektrum frekuensi yang efisien dapat dicapai. Semua frekuensi yang tersedia dapat digunakan oleh tiap-tiap *cell*, sehingga dapat mencapai kapasitas jumlah pemakai yang besar menggunakan pita frekuensi yang efektif. [8]



Gambar 2. 4 Mekanisme Frekuensi Reuse [9]

2.1.5 Handover

Handover atau yang biasa juga disebut *handoff* merupakan suatu proses pengalihan *Radio Base Station (RBS)* apabila pengguna melakukan suatu panggilan dalam keadaan bergerak dari satu sel menuju sel yang lainnya seperti yang ditunjukkan pada Gambar 2.5. Proses ini terjadi agar pelanggan dapat mengirim atau menerima sinyal dengan baik meskipun pelanggan sedang dalam keadaan bergerak. Terdapat dua kondisi untuk dilakukannya proses *handover*, yaitu [8]:

1. Ketika *Mobile Station (MS)* berada pada perbatasan level sel, karena sinyal yang diterima MS akan melemah.
2. Pada saat pengguna berada pada lubang kekuatan sinyal (*Sinyal Strength Hole*) yang terdapat dalam suatu sel.

2.1.6 Interferensi

Parameter kerja sistem komunikasi seluler dibatasi oleh interferensi. Interferensi pada kanal suara dapat menyebabkan *cross-talk*, sedangkan interferensi pada kanal kontrol dapat menyebabkan *cross-blocking*. Ada dua macam jenis interferensi yaitu interferensi antar kanal atau *co-channel interference (CCI)* dan interferensi kanal sebelah atau *adjacent channel interference*. Penyebab terjadinya interferensi antara lain [8]:

1. *Mobile Station (MS)* lain dalam satu sel.
2. Panggilan dalam proses dari sebelah.
3. *Base Station* lain yang beroperasi pada frekuensi yang sama.
4. Peralatan lain.

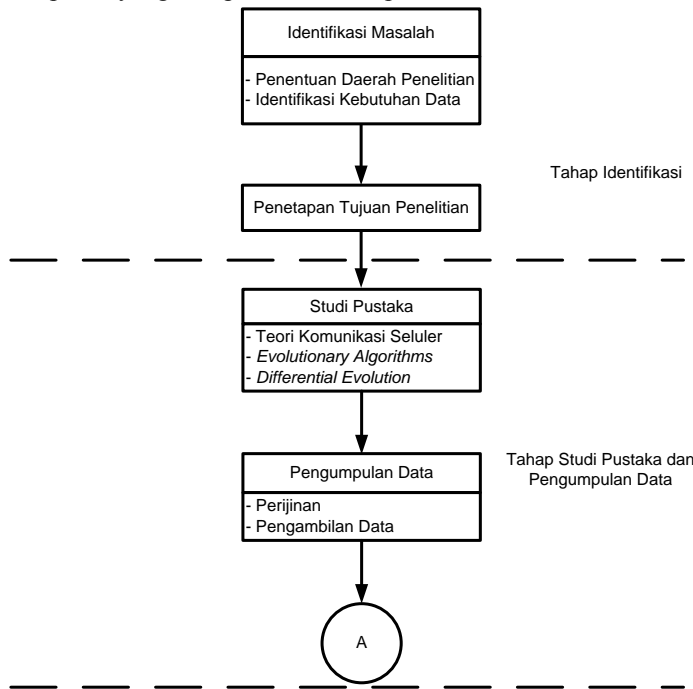
BAB 3

METODOLOGI PENELITIAN

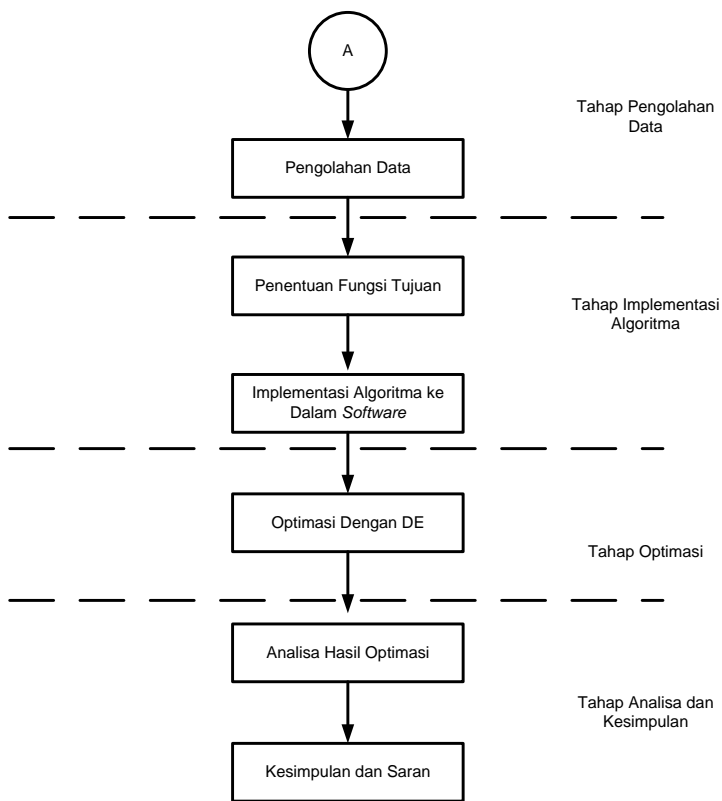
Metodologi penelitian yang ditampilkan pada sub bab ini disusun secara sistematis dan terarah yang dijadikan sebagai kerangka penelitian ilmiah. Proses berjalannya penelitian diharapkan sesuai dengan apa yang tertuang dalam metodologi penelitian dan hasilnya sesuai dengan apa yang tertulis pada sub bab perumusan masalah dan tujuan.

3.1 Flowchart Penelitian

Langkah-langkah melakukan penelitian diuraikan menjadi enam tahapan yang dapat dilihat pada Gambar 3.1 berikut ini.



Gambar 3. 1 *Flowchart* Metodologi Penelitian



Gambar 3. 1 Flowchart Metodologi Penelitian (Lanjutan)

Langkah-langkah pelaksanaan penelitian yang telah digambarkan dalam *flowchart* pada Gambar 3.1 akan dijelaskan sebagai berikut.

3.1.1 Tahap Identifikasi

Pada tahapan awal penelitian tugas akhir ini, dilakukan identifikasi permasalahan yaitu bagaimana menempatkan menara BTS secara optimal sehingga dapat mencakup daerah yang lebih luas dengan menggunakan algoritma *Differential Evolution*.

Setelah mengidentifikasi permasalahan, maka selanjutnya dilakukan proses penentuan daerah penelitian dan kebutuhan data yang akan digunakan untuk dapat memecahkan permasalahan yang ada.

3.1.2 Tahap Studi Pustaka dan Pengumpulan Data

Literature review mengenai teori komunikasi seluler dan Algoritma *Differential Evolution* dilakukan pada tahapan studi pustaka. Tujuan dilaksanakan studi pustaka ini supaya penelitian ini memiliki pedoman secara teori sehingga permasalahan yang diangkat dapat terselesaikan.

Setelah studi pustaka dilakukan, maka dapat diketahui data-data apa saja yang dibutuhkan untuk menunjang penelitian ini. Pengumpulan data memanfaatkan data yang berasal dari Dinas Pendapatan Daerah Kabupaten Mojokerto tahun 2014.

3.1.3 Tahap Pengolahan Data

Pada tahapan ini data yang telah diperoleh kemudian diolah untuk menghasilkan beberapa parameter yang nantinya digunakan dalam pengembangan model yang akan dilakukan. Pengolahan data yang dilakukan meliputi, kordinat vektor x dan y dari kordinat lintang dan bujur dari menara BTS eksisting, jarak antar titik menara, dan radius cell dari menara BTS.

Pengolahan data dilakukan untuk dapat memprediksi kebutuhan komunikasi seluler dan beberapa parameter yang nantinya akan digunakan dalam proses optimasi.

3.1.4 Tahap Implementasi Algoritma

Pada tahapan ini dilakukan implementasi algoritma *Differential Evolution* untuk menyelesaikan permasalahan penempatan menara BTS secara optimal dengan mencari solusi optimal dari tujuan optimasi yang akan dilakukan. Dalam tahapan ini dilakukan proses penentuan fungsi tujuan optimasi dan proses implementasi algoritma *Differential Evolution* ke dalam *software MATLAB*.

Penentuan fungsi tujuan optimasi didasarkan pada perhitungan luas daerah cakupan dari beberapa lingkaran yang saling beririsan, dalam hal ini lingkaran diasumsikan sebagai daerah cakupan dari sel yang mempunyai radius tertentu.

3.1.5 Tahap Optimasi

Pada tahapan optimasi ini akan dilakukan proses evaluasi *fitness function* atau fungsi tujuan yang telah ditentukan sehingga akan didapatkan suatu nilai hasil dari evaluasi fungsi tujuan yang digunakan. Dalam tahapan optimasi ini dilakukan pencarian kombinasi terbaik dari peletakan menara agar dapat menghasilkan luas daerah cakupan yang lebih optimal sehingga dapat memperluas daerah cakupan ataupun mengurangi daerah irisan antar sel yang sudah ada.

Hasil optimal dari proses optimasi nantinya akan digunakan sebagai acuan dalam penempatan titik potensial dari menara agar dapat mengoptimalkan daerah cakupan sel sehingga daerah irisan antar sel akan berkurang.

3.1.6 Tahap Analisa dan Kesimpulan

Hasil dari implementasi dan optimasi menggunakan algoritma *Differential Evolution* akan dilakukan analisis secara mendalam terhadap perancangan yang sudah ada di lapangan saat ini. Analisa yang dilakukan berdasarkan pada analisa *coverage* sel yang dihasilkan dari proses optimasi.

Kemudian dari hasil analisa tersebut akan ditarik kesimpulan dari keseluruhan proses penelitian yang isinya dapat menjawab tujuan dari pelaksanaan penelitian tugas akhir.

3.2 Identifikasi

Pada tahapan awal penelitian tugas akhir ini, dilakukan identifikasi permasalahan penentuan daerah penelitian dan kebutuhan data dalam penentuan tujuan penelitian yaitu untuk mengoptimalkan menempatan menara BTS sehingga dapat mencakup daerah yang lebih luas dengan menggunakan algoritma *Differential Evolution*.

3.2.1 Penentuan Daerah Penelitian

Dalam penelitian ini menggunakan daerah observasi di wilayah Kabupaten Mojokerto yang berada di provinsi Jawa Timur, Indonesia.

Letak geografis kabupaten Mojokerto berada diantara $7^{\circ}18'10,51''$ sampai dengan $7^{\circ}46'44,59''$ lintang selatan dan $112^{\circ}19'58,1''$ sampai dengan $112^{\circ}40'15,16''$ bujur timur dan berbatasan langsung dengan Kabupaten Lamongan dan Kabupaten Gresik di sebelah utara, Kabupaten Sidoarjo dan Pasuruan di sebelah timur, Kabupaten Malang dan Kota Batu di sebelah selatan, dan Kabupaten Jombang di sebelah barat.

Secara administratif wilayah Mojokerto terdiri dari 18 kecamatan 299 desa dan 5 kelurahan yang memiliki luas wilayah secara keseluruhan sebesar $969,36 \text{ km}^2$, dimana wilayah Kecamatan Dawarbandong merupakan kecamatan dengan luas wilayah terbesar, diikuti dengan kecamatan Ngoro dan kecamatan Jetis yang mempunyai luas wilayah terbesar kedua dan ketiga. [19]

3.2.2 Kebutuhan Data

Identifikasi dan analisis kebutuhan data diperlukan untuk mempermudah dalam melakukan proses perhitungan *power link budget* dan tahapan pengembangan model yang diharapkan. Dalam penelitian ini, data yang dibutuhkan adalah :

- a. Peta digital.
- b. Data lokasi kordinat menara eksisting.
- c. Data tinggi menara.
- d. Data jumlah penduduk.
- e. Data daya pancar antena.
- f. Data pengguna telepon seluler.
- g. Daftar regulasi berkaitan dengan perencanaan kebutuhan menara telekomunikasi.

3.2.2.1 Peta Digital

Pada penelitian ini, peta digital yang digunakan adalah peta wilayah Mojokerto berbasis *MapInfo* seperti ditunjukkan pada Gambar 3.2. Peta digital ini digunakan untuk menampilkan kondisi geografis dan penempatan titik-titik kordinat menara BTS eksisting maupun menara BTS hasil optimasi beserta daerah cakupan yang dihasilkan dari menara-menara BTS tersebut. Peta digital ini diperoleh dari Badan Koordinasi Survei dan Pemetaan Nasional.

Pada peta digital tersedia beberapa *layer* yang dapat kita tentukan sendiri mana yang akan ditampilkan ke permukaan. Setiap

layer-layer dibedakan berdasarkan beberapa warna. Layer-layer tersebut membentuk peta secara utuh Kabupaten Mojokerto. Layer-layer tersebut diantaranya adalah layer untuk area pertanian, tambak, hutan, area golf, danau, area terbuka, daerah penanaman tanaman, area rumah penduduk, industri, jalan raya, batas wilayah, sungai, jalan kereta api, dan morfologi area.

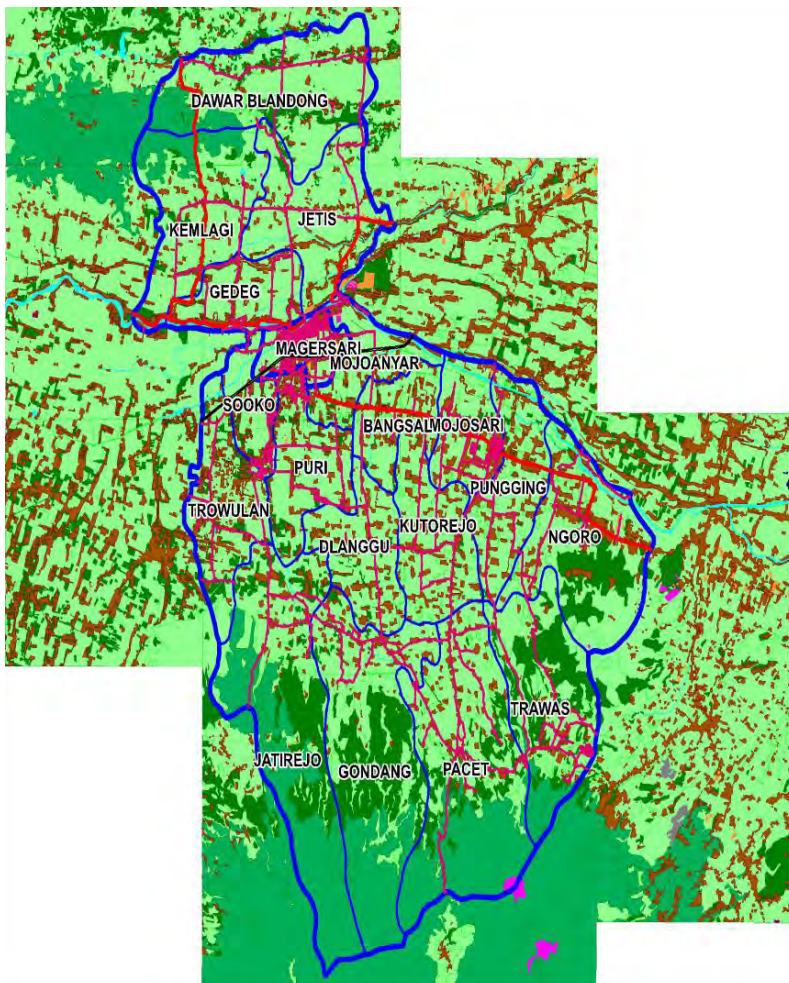
3.2.2.2 Data Menara Eksisting

Kebutuhan data menara eksisting sangat diperlukan, karena data ini merupakan data primer yang akan digunakan untuk proses pengolahan data lebih lanjut. Dalam pengumpulan data persebaran menara eksisting dilakukan dengan dua metode. Metode pertama yang dilakukan adalah dengan mengajukan surat permohonan ijin penelitian dan bantuan data ke Dinas Pendapatan Daerah Kabupaten Mojokerto. Metode yang kedua adalah dengan melakukan survei lapangan secara langsung.

Data menara eksisting tersebut berisi data kordinat longitude, latitude, tinggi menara (m), pemilik menara, operator 1, operator 2, operator 3, operator 4, desa, dan kecamatan. Data menara eksisting ini digunakan untuk proses optimasi penempatan menara BTS dengan menggunakan Algoritma *Differential Evolution*.

3.2.2.3 Data Jumlah Penduduk

Menurut hasil registrasi penduduk akhir tahun 2012, jumlah penduduk Kabupaten Mojokerto adalah 1.143.747 jiwa dengan laju pertumbuhan sebesar 0,03%. Kepadatan penduduk rata-rata Kabupaten Mojokerto di akhir tahun 2012 adalah 1.652 jiwa setiap km². Dan diantara kecamatan yang ada, kecamatan Sooko merupakan kecamatan terpadat, dengan kepadatan sebesar 3.315 jiwa per km². Untuk data jumlah penduduk tiap kecamatan pada tahun 2012 terdapat pada Tabel 3.1. Pada Tabel 3.1 dapat diketahui bahwa ada beberapa kecamatan yang memiliki laju pertumbuhan penduduk negatif ataupun tidak memiliki laju pertumbuhan penduduk. Kecamatan Bangsal dan Puri yang memiliki laju pertumbuhan negatif, dan kecamatan Mojoanyar yang tidak memiliki laju pertumbuhan penduduk. Data jumlah penduduk ini digunakan untuk memprediksi jumlah pengguna seluler dan kebutuhan trafik untuk kurun waktu 5 tahun kedepan di setiap kecamatan di Kabupaten Mojokerto. [21]



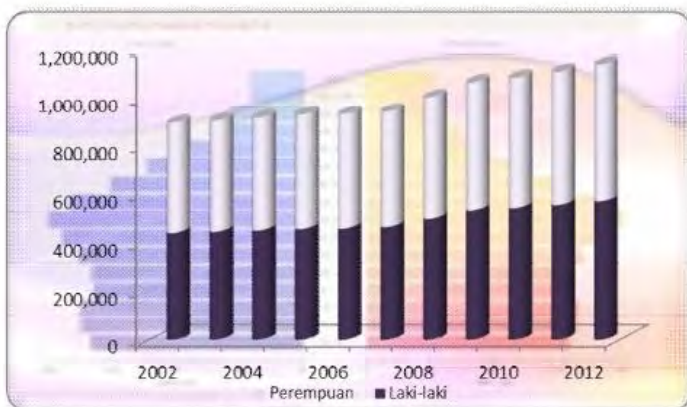
Gambar 3. 2 Peta Digital Kabupaten Mojokerto [20]

Tabel 3. 1 Jumlah dan Pertumbuhan Penduduk Mojokerto tahun 2012 [21]

| No | Kecamatan | Pertumbuhan (%) | 2012 |
|--------|---------------|-----------------|------------|
| 1 | Jatirejo | 0,93 | 44395 |
| 2 | Gondang | 0,66 | 44664 |
| 3 | Pacet | 0,87 | 59210 |
| 4 | Trawas | 0,75 | 31419 |
| 5 | Ngoro | 1,56 | 81728 |
| 6 | Pungging | 1,37 | 77903 |
| 7 | Kutorejo | 1,06 | 65459 |
| 8 | Mojosari | 1,15 | 79981 |
| 9 | Bangsal | -1,98 | 52687 |
| 10 | Mojoanyar | 0 | 51247 |
| 11 | Dlanggu | 1,21 | 57583 |
| 12 | Puri | -1,65 | 77741 |
| 13 | Trowulan | 1,31 | 77811 |
| 14 | Sooko | 1,69 | 77781 |
| 15 | Gedek | 0,76 | 60757 |
| 16 | Kemlagi | 0,74 | 61885 |
| 17 | Jetis | 1,63 | 87353 |
| 18 | Dawarblandong | 0,72 | 54143 |
| Jumlah | | 0,71% # | 1143747 ## |

Keterangan: # = Rata-rata pertumbuhan penduduk

= Total jumlah penduduk



Gambar 3.3 Jumlah Penduduk Menurut Jenis Kelamin 2002-2012 [21]

Pada Gambar 3.3 menunjukkan jumlah penduduk di Kabupaten Mojokerto dilihat menurut jenis kelamin penduduk dari tahun 2002 sampai tahun 2012. Dari gambar tersebut maka dapat diketahui bahwa jumlah penduduk di Kabupaten Mojokerto dari tahun 2002 sampai dengan tahun 2012 terus mengalami penambahan baik untuk jenis kelamin perempuan maupun laki-laki.

3.2.2.4 Daya Pancar Antena

Daya pancar antena BTS sangat diperlukan untuk melakukan analisa perhitungan *coverage area* untuk masing-masing BTS. Pada penelitian ini menggunakan asumsi daya pancar pada Tabel 3.2 dan Tabel 3.3 berdasarkan standar ETSI GSM 05.05 version 5.0.0, yakni untuk GSM dengan frekuensi 1800 MHz menggunakan daya pancar maksimum sebesar 4 watt, untuk GSM dengan frekuensi 900 MHz menggunakan daya pancar maksimum sebesar 8 watt. Untuk CDMA menggunakan standart ETSI EN 301 908-4 v6.1.1 dengan daya pancar maksimum untuk CDMA200 sebesar 6,3 watt. Asumsi tersebut berasal dari informasi *engineer* RNP PT. Huawei Tech Investment yang menyebutkan bahwa daya pancar bersifat tidak pasti tergantung dengan kondisi geografis wilayah, dan kebutuhan trafik pelanggan pada saat itu, dan dapat berubah-ubah mengikuti perilaku konsumen.

Tabel 3. 2 Daya Pancar BTS GSM 900 dan BTS GSM 1800 [22]

| Kelas | Maksimum GSM 900 Output Power | Maksimum GSM 1800 Output Power | Toleransi | |
|-------|-------------------------------------|--------------------------------------|-----------|---------|
| | | | Normal | Ekstrim |
| 1 | - | 1 W (30 dBm) | ±2 | ±2.5 |
| 2 | 8 W (39 dBm) | 0.25 W (24 dBm) | ±2 | ±2.5 |
| 3 | 5 W (37 dBm) | 4 W (36 dBm) | ±2 | ±2.5 |
| 4 | 2 W (33 dBm) | - | ±2 | ±2.5 |
| 5 | 0.8 W (29 dBm) | - | ±2 | ±2.5 |

Catatan : daya pancar paling rendah untuk semua kelas GSM 900 adalah 5 dBm dan untuk semua kelas 1800 adalah 0 dBm

Tabel 3. 3 Daya Pancar CDMA 2000[23]

| <i>Mobile Station Class</i> | <i>Lower limit</i> | <i>Upper limit</i> |
|-----------------------------|--------------------|--------------------|
| 1 | 31 dBm (1.25 W) | 38 dBm (6.3 W) |
| 2 | 27 dBm (0.5 W) | 34 dBm (2.5 W) |
| 3 | 23 dBm (0.2 W) | 30 dBm (1.0 W) |
| 1 | 28 dBm (0.63 W) | 33 dBm (2.0 W) |
| 2 | 23 dBm (0.2 W) | 30 dBm (1.0 W) |
| 3 | 18 dBm (63 mW) | 27 dBm (0.5 W) |
| 4 | 13 dBm (20 mW) | 24 dBm (0.25 W) |
| 5 | 8 dBm (6.3 mW) | 21 dBm (0.13 W) |

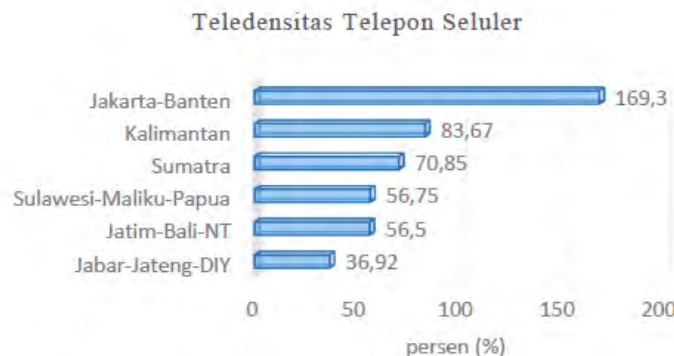
Jadi penelitian ini mengambil asumsi daya pancar maksimal, yaitu untuk GSM 900 menggunakan daya pancar sebesar 5 watt, GSM 1800 menggunakan daya pancar sebesar 4 watt, serta CDMA 2000 menggunakan daya pancar sebesar 6,3 watt. Untuk daya pancar GSM frekuensi 1800 digunakan di daerah yang penduduknya mulai padat (sub urban), sedangkan untuk daya pancar GSM frekuensi 900 digunakan di daerah yang masih sedikit penduduknya (rural). Beberapa operator di Indonesia yang menggunakan teknologi GSM 1800, GSM 900, serta CDMA 200 adalah seperti pada Tabel 3.4. Dari Tabel 3.4 dijadikan

acuan untuk menentukan daya pancar dari masing-masing teknologi (GSM 1800, GSM 900, dan CDMA 2000) yang diatur oleh ETSI EN 301 908-4 v6.1.1 dan juga ETSI GSM 05.05 version 5.0.0. ETSI tersebut mengacu pada daftar etsi yang dimiliki PT. Huawei Tech Investment, MBTS *Initial Data Configuration Based on LMT* 2010. [3]

Tabel 3. 4 Operator Seluler Indonesia [24]

| No | Perusahaan Operator | Teknologi | Cakupan lisensi |
|----|---|----------------------------|-----------------|
| 1 | Indosat | GSM 900, UMTS 1800 | Nasional |
| 2 | Telkomsel | GSM 900, UMTS 1800 | Nasional |
| 3 | Excelkomindo Pratama | GSM 900, UMTS 1800 | Nasional |
| 4 | NTS axis | GSM 900, UMTS 1800 | Nasional |
| 5 | Hutchison CPC | GSM 900, UMTS 1800 | Nasional |
| 6 | Sampoerna Telekomunikasi Indonesia | CDMA 2000, 2000 EVDO | Nasional |
| 7 | Mobile-8 | CDMA 2000, 2000 EVDO | Nasional |
| 8 | Bakrie Telecom | CDMA 2000, 2000 EVDO | Nasional |
| 9 | Telkom (Flexi) | CDMA 2000, 2000 EVDO | Nasional |
| 10 | Indosat (Starone) | CDMA 2000, 2000 EVDO | Nasional |
| 11 | Sinar Mas Telecom (SMART) d/h Primasel-WIN | CDMA 2000, 2000 EVDO | Nasional |

3.2.2.5 Data Pengguna Telepon Seluler



Gambar 3. 4 Pengguna Seluler Menurut Wilayah Tahun 2010 [25]

Dari Gambar 3.4 menunjukkan nilai teledensitas pengguna seluler dalam persen. Untuk daerah Jawa Timur-Bali-Nusa Tenggara nilai teledensitas pengguna seluler sebesar 56,5%. Hal ini menunjukkan bahwa untuk setiap 100 penduduk terdapat sekitar 57 pengguna telepon seluler. Nilai teledensitas tertinggi berada di wilayah Jakarta-Banten yaitu sebesar 169,3%. Hal ini sangat wajar mengingat Jakarta merupakan kota metropolitan sekaligus ibu kota negara yang menjadi pusat bisnis, serta Banten yang merupakan wilayah terdekat dengan Jakarta menjadikan Banten ikut menjadi pusat bisnis dan keramaian yang menyebabkan daerah ini memiliki teledensitas pengguna seluler cukup tinggi dibanding daerah lainnya. Teledensitas terbesar kedua terdapat di wilayah Kalimantan dengan nilai teledensitas sebesar 83,67% yang artinya hampir setiap penduduk di wilayah Kalimantan telah menggunakan telepon seluler.

3.2.2.6 Regulasi

Dalam melakukan penataan dan pengendalian terhadap bertambahnya jumlah menara telekomunikasi, maka diperlukan adanya sebuah landasan hukum dan regulasi yang mengaturnya. Salah satu regulasinya adalah mengenai perijinan pendirian menara seluler yang baru yang diatur dalam regulasi yang ditetapkan oleh masing-masing

pemerintah daerah. Keberadaan menara eksisting juga diprioritaskan untuk dijadikan sebuah menara bersama yang terdiri lebih dari satu operator. Adapun landasan hukum yang menjadi acuan dalam pendirian menara telekomunikasi di wilayah Kabupaten Mojokerto diantaranya adalah [3]:

1. Surat Edaran Direktur Jendral Penataan Ruang, Kementerian Pekerjaan Umum Nomor : 06/SE/Dr/2011 Tentang Kriteria Lokasi Menara Telekomunikasi.
2. Peraturan Menteri Komunikasi dan Informatika Nomor : 02/PER/M.KOMINFO/3/2008, Tentang Pedoman Pembangunan dan Penggunaan Menara Bersama Telekomunikasi.
3. Peraturan Bersama Antara Menteri Dalam Negeri, Menteri Pekerjaan Umum, Menteri Komunikasi dan Informatika, dan Kepala Badan Koordinasi Penanaman Modal Tentang Pedoman Pembangunan dan Penggunaan Bersama Menara Telekomunikasi.

3.3 Pengolahan Data

Pada tahapan pengolahan data ini akan dilakukan proses pengolahan terhadap data awal yang telah teridentifikasi kebutuhannya sehingga dapat menghasilkan sejumlah data olahan yang diperlukan. Data hasil pengolahan yang dibutuhkan meliputi data konversi kordinat lintang dan bujur ke dalam bentuk vektor, data radius masing-masing BTS, dan data kebutuhan menara BTS 5 tahun yang akan datang.

Hasil pengolahan data yang dibutuhkan nantinya akan digunakan dalam implementasi algoritma *Differential Evolution*, sehingga dapat diketahui kordinat lokasi optimum pembangunan menara BTS di Kabupaten Mojokerto.

3.3.1 Prediksi Jumlah Penduduk

Prediksi jumlah penduduk dibutuhkan untuk mengetahui perkiraan jumlah penduduk di masa mendatang. Pada penelitian ini dilakukan prediksi jumlah penduduk untuk jangka waktu 5 tahun kedepan, yaitu sampai tahun 2019. Perhitungan prediksi jumlah penduduk di masa mendatang dapat diketahui dengan menggunakan rumus pada persamaan (2.8) berikut :

$$P_t = P_0 (1 + r)^t$$

Dimana :

- P_t = jumlah penduduk pada tahun t (jiwa)
- P_0 = jumlah penduduk saat tahun perencanaan (jiwa)
- r = laju pertumbuhan penduduk (%)
- t = jumlah tahun prediksi.

Tabel 3.5 Prediksi Jumlah Penduduk dari tahun 2014 sampai 2019

| No. | Kecamatan | Prediksi Jumlah Penduduk | | |
|--------------|----------------|--------------------------|----------------|----------------|
| | | 2014 | 2018 | 2019 |
| 1 | Jatirejo | 45225 | 46931 | 47368 |
| 2 | Gondang | 45256 | 46463 | 46769 |
| 3 | Pacet | 60245 | 62369 | 62912 |
| 4 | Trawas | 31893 | 32860 | 33107 |
| 5 | Ngoro | 84298 | 89683 | 91082 |
| 6 | Pungging | 80053 | 84530 | 85689 |
| 7 | Kutorejo | 66855 | 69735 | 70474 |
| 8 | Mojosari | 81832 | 85661 | 86646 |
| 9 | Bangsal | 50622 | 46730 | 45805 |
| 10 | Mojoanyar | 51247 | 51247 | 51247 |
| 11 | Dlanggu | 58985 | 61893 | 62641 |
| 12 | Puri | 75197 | 70356 | 69195 |
| 13 | Trowulan | 79864 | 84131 | 85233 |
| 14 | Sooko | 80433 | 86009 | 87463 |
| 15 | Gedek | 61685 | 63581 | 64064 |
| 16 | Kemlagi | 62805 | 64685 | 65163 |
| 17 | Jetis | 90224 | 96252 | 97821 |
| 18 | Dawar blandong | 54926 | 56525 | 56932 |
| Total | | 1161645 | 1199641 | 1209611 |

Dengan menggunakan persamaan (2.8) tersebut, maka dapat dihitung perkiraan jumlah penduduk di Kabupaten Mojokerto untuk 5 tahun ke depan sampai tahun 2019. Data perkiraan jumlah penduduk di tahun 2019 ini nantinya akan digunakan untuk memperkirakan jumlah pengguna telepon seluler di tahun 2019 dan kebutuhan jumlah menara BTS baru untuk masing-masing kecamatan di Kabupaten Mojokerto di tahun 2019. Dengan menggunakan nilai laju pertumbuhan penduduk di masing-masing kecamatan, maka dapat dilakukan perhitungan prediksi jumlah penduduk tahun 2019 yang ditunjukan oleh Tabel 3.5.

3.3.2 Peramalan Kapasitas Total Trafik

Untuk menghitung peramalan jumlah kapasitas total trafik 2G yang dibangkitkan oleh pelanggan, maka dimisalkan intensitas trafik pelanggan sebesar A Erlang dengan asumsi GOS 2%, sehingga total trafik yang dibangkitkan pelanggan dapat dihitung dengan menggunakan rumus pada persamaan (3.1) :

$$T = P \times A \quad (3.1)$$

dimana :

T = total trafik yang dibangkitkan pelanggan (Erlang)

P = jumlah pelanggan seluler

A = intensitas trafik yang dibangkitkan pelanggan (Erlang).

Untuk dapat meramalkan trafik 2G 5 tahun kedepan sampai tahun 2019, maka dibutuhkan beberapa asumsi seperti nilai teledensitas pengguna seluler, dan lama rata-rata panggilan seluler. Nilai teledensitas pengguna seluler untuk wilayah Jawa Timur yaitu sebesar 56,5%, maka pengguna seluler tahun 2019 merupakan hasil kali dari jumlah penduduk tahun 2019 dengan nilai teledensitas 56,5%.

Semisal diambil contoh untuk wilayah kecamatan Gondang yakni :

$P = \text{teledensitas} \times \text{jumlah penduduk tahun 2019}$

$$= 56,5\% \times 46769$$

$$= 26424 \text{ user}$$

Dengan menggunakan asumsi besarnya rata-rata panggilan pengguna seluler setiap harinya untuk wilayah *rural* sebesar 40 menit, maka besarnya intensitas trafik rata-rata per pelanggan dapat dihitung menggunakan persamaan (2.6).

$$A = \frac{40}{24 \times 60} = 27,78 \text{ mErlang}$$

Kemudian selanjutnya menghitung total trafik yang dibangkitkan untuk wilayah kecamatan Gondang menggunakan persamaan (3.1) :

$$T = P \times A = 26424 \times 27,78 \text{ mErlang} = 734 \text{ Erlang}$$

Dengan demikian, maka data nilai total trafik 2G yang dapat dibangkitkan pada pengguna seluler di daerah Kabupaten Mojokerto per tahun 2019 adalah seperti terlihat pada Tabel 3.6.

Tabel 3.6 Kebutuhan Trafik 2G Kabupaten Mojokerto tahun 2019

| No. | Kecamatan | Intensitas Trafik (mE) | Jumlah Penduduk 2019 | User Seluler 2019 | Kebutuhan Trafik 2019 (E) |
|--------------|---------------|------------------------|----------------------|-------------------|---------------------------|
| 1 | Jatirejo | 31,25 | 47368 | 26763 | 743 |
| 2 | Gondang | 31,25 | 46769 | 26424 | 734 |
| 3 | Pacet | 31,25 | 62912 | 35545 | 987 |
| 4 | Trawas | 31,25 | 33107 | 18705 | 520 |
| 5 | Ngoro | 31,25 | 91082 | 51461 | 1429 |
| 6 | Pungging | 31,25 | 85689 | 48414 | 1345 |
| 7 | Kutorejo | 31,25 | 70474 | 39818 | 1106 |
| 8 | Mojosari | 31,25 | 86646 | 48955 | 1360 |
| 9 | Bangsal | 31,25 | 45805 | 25880 | 719 |
| 10 | Mojoanyar | 31,25 | 51247 | 28955 | 804 |
| 11 | Dlanggu | 31,25 | 62641 | 35392 | 983 |
| 12 | Puri | 31,25 | 69195 | 39095 | 1086 |
| 13 | Trowulan | 31,25 | 85233 | 48157 | 1338 |
| 14 | Sooko | 31,25 | 87463 | 49417 | 1373 |
| 15 | Gedek | 31,25 | 64064 | 36196 | 1005 |
| 16 | Kemlagi | 31,25 | 65163 | 36817 | 1023 |
| 17 | Jetis | 31,25 | 97821 | 55269 | 1535 |
| 18 | Dawarblandong | 31,25 | 56932 | 32167 | 894 |
| Total | | | 1209611 | 683430 | 18984 |

Untuk menghitung peramalan jumlah kapasitas total trafik 3G yang dibangkitkan oleh pelanggan, maka digunakan perhitungan *Offered Bit Quantity (OBQ)*. OBQ adalah total *bit throughput* per km² pada jam sibuk. OBQ pada jam sibuk untuk suatu area tertentu dihitung berdasarkan beberapa asumsi, yaitu penetrasi *user*, durasi panggilan efektif, *Busy Hour Call Attempt (BHCA)*, dan *bandwidth* dari layanan. Besarnya nilai OBQ dapat dihitung dengan persamaan berikut :

$$\Sigma OBQ = \frac{\sigma \times p \times d \times BHCA \times BW}{3600} \quad (3.2)$$

dimana :

σ = Kepadatan pelanggan dalam suatu daerah (*user / km²*)

p = Penetrasi pengguna tiap layanan

d = Durasi panggilan efektif (s)

BHCA = *Busy Hour Call Attempt* (call/s)

BW = *Bandwidth* tiap layanan (Kbps)

Pada penelitian ini menggunakan asumsi nilai penetrasi pengguna layanan 3G sebesar 17,40%, maka pengguna layanan 3G tahun 2019 merupakan hasil kali dari jumlah pengguna seluler tahun 2019 dengan nilai penetrasi layanan 3G 17,40%.

Semisal diambil contoh untuk wilayah kecamatan Gondang yakni :

$$\begin{aligned} P &= \text{penetrasi layanan } 3G \times \text{jumlah user seluler tahun } 2019 \\ &= 17,40\% \times 26763 \\ &= 4657 \text{ user} \end{aligned}$$

Dengan demikian, maka data nilai total trafik 3G yang dapat dibangkitkan pada pengguna seluler di daerah Kabupaten Mojokerto per tahun 2019 adalah seperti terlihat pada Tabel 3.7. Pada Tabel 3.7 menunjukkan prediksi kebutuhan trafik 3G di Kabupaten Mojokerto untuk kebutuhan tahun 2019 dengan nilai total trafik sebesar 367170 Kbps. Nilai kebutuhan trafik 3G ini didasarkan pada perhitungan jumlah user 3G yang ada di Kabupaten Mojokerto dan juga pada nilai kepadatan pelanggan setiap kilometer.

Tabel 3. 7 Kebutuhan Trafik 3G Kabupaten Mojokerto tahun 2019

| No. | Kecamatan | Jumlah Penduduk 2019 | Kepadatan Pelanggan (user/km2) | User 3G 2019 | Kebutuhan Trafik 2019 (Kbps) |
|--------------|---------------|----------------------|--------------------------------|---------------|------------------------------|
| 1 | Jatirejo | 47368 | 812 | 4657 | 14381 |
| 2 | Gondang | 46769 | 676 | 4598 | 14197 |
| 3 | Pacet | 62912 | 788 | 6185 | 19110 |
| 4 | Trawas | 33107 | 627 | 3255 | 10054 |
| 5 | Ngoro | 91082 | 896 | 8954 | 27657 |
| 6 | Pungging | 85689 | 1006 | 8424 | 26006 |
| 7 | Kutorejo | 70474 | 930 | 6928 | 21390 |
| 8 | Mojosari | 86646 | 1837 | 8518 | 26290 |
| 9 | Bangsal | 45805 | 1076 | 4503 | 13902 |
| 10 | Mojoanyar | 51247 | 1258 | 5038 | 15551 |
| 11 | Dlanggu | 62641 | 1000 | 6158 | 19021 |
| 12 | Puri | 69195 | 1097 | 6803 | 21001 |
| 13 | Trowulan | 85233 | 1229 | 8379 | 25871 |
| 14 | Sooko | 87463 | 2107 | 8598 | 26544 |
| 15 | Gedek | 64064 | 1576 | 6298 | 19448 |
| 16 | Kemlagi | 65163 | 736 | 6406 | 19781 |
| 17 | Jetis | 97821 | 967 | 9617 | 29687 |
| 18 | Dawarblandong | 56932 | 546 | 5597 | 17278 |
| Total | | 1209611 | | 118917 | 367170 |

3.3.3 Prediksi Kebutuhan BTS

Untuk mengetahui prediksi kebutuhan BTS di masa yang akan datang, diperlukan perhitungan kapasitas BTS dalam melayani kebutuhan pelanggan dengan cara memperhatikan berapa jumlah TRx yang digunakan pada setiap sektornya. Pada penelitian ini akan memprediksi kebutuhan BTS untuk jaringan 2G dan 3G. Untuk prediksi kebutuhan BTS 2G pada penelitian menggunakan konfigurasi BTS 2G $3 \times 3 \times 3$, yang berarti bahwa setiap sektornya terdapat 3 TRx sehingga dapat dilakukan perhitungan kapasitas kanal untuk BTS 2G sebagai berikut :

- 1 sektor terdiri dari 3 TRx
- 1 TRx = 8 kanal atau *timeslot*
- $3 \text{ TRx} = 8 \times 3 = 24 \text{ kanal atau } \textit{timeslot}$

Karena disetiap sektornya membutuhkan 1 kanal BCCH (*Broadcast Control Channel*) untuk broadcast dan 1 kanal SDCCH (*Standalone Dedicated Control Channel*) untuk signaling. Sehingga 1 sektor yang terdiri dari 3 TRx mampu melayani $24 - 2 = 22$ panggilan secara teoritis tanpa mempedulikan faktor *interference*, *blocking*, *congestion*, dan sebagainya. Berdasarkan tabel erlang B, dari 22 kanal panggilan dengan asumsi GOS sebesar 2% didapatkan nilai intensitas trafik sebesar 14,9 Erlang. Sehingga untuk 1 buah BTS 2G yang memiliki 3 sektor didapatkan kapasitas BTS 2G sebesar 3 kali nilai 14,9 Erlang atau 44,7 Erlang.

Untuk perhitungan kapasitas kanal BTS 3G digunakan rumus pada persamaan (2.1) dengan menggunakan parameter asumsi pada tabel 3.8.

Tabel 3. 8 Parameter Asumsi Kanal UMTS

| Parameter asumsi | |
|------------------|-----------|
| W | 3,84 Mbps |
| R | 144 Kbps |
| Eb/No | 1 dB |
| α | 90% |
| i | 0,625 |
| v | 2,5 |

Sehingga perhitungan kapasitas kanal UMTS adalah :

$$N_{sel} = 1 + \frac{3840000 / 144000}{1,25} \cdot \frac{0,9}{(1+0,625)2,5}$$

$N_{sel} = 6$ kanal

Maka kapasitas kanal 1 BTS adalah $3 \times 6 = 18$ kanal, dan kapasitas trafik 1 BTS sebesar $18 \times 144000 = 2592$ Kbps/bts.

Dengan mengetahui kapasitas BTS maka kita dapat menghitung kemampuan suatu BTS dalam melayani trafik pelanggan menggunakan persamaan (3.3) sebagai berikut :

$$\text{Kemampuan BTS} = \frac{\text{Kapasitas 1 BTS}}{\text{Trafik per Pelanggan}} \quad (3.3)$$

Untuk prediksi jumlah kebutuhan BTS dalam melayani pelanggan seluler dapat dihitung dengan menggunakan persamaan (3.4) berikut :

$$B = \frac{T}{E} \quad (3.4)$$

dimana :

B = jumlah kebutuhan BTS

T = total trafik yang dibangkitkan pelanggan

E = kapasitas 1 BTS

Semisal diambil contoh untuk wilayah kecamatan Gondang, maka kebutuhan BTS 2G dan 3G di kecamatan Gondang tahun 2019 adalah :

$$B_{2G} = \frac{\text{Total Trafik}}{\text{Kapasitas BTS}} = \frac{734 \text{ Erlang}}{44,7 \text{ Erlang}} = 16,42 \approx 17 \text{ BTS}$$

$$B_{3G} = \frac{\text{Total Trafik}}{\text{Kapasitas BTS}} = \frac{14197 \text{ Kbps}}{2592 \text{ Kbps}} = 5,47 \approx 6 \text{ BTS}$$

3.3.4 Prediksi Kebutuhan Menara Baru

Mengacu pada peraturan Menteri Komunikasi dan Informatika Nomor : 02/PER/M.KOMINFO/3/2008, Tentang Pedoman Pembangunan dan Penggunaan Menara Bersama Telekomunikasi, maka persebaran menara telekomunikasi perlu dikendalikan, oleh karena itu perlu dilakukan pengoptimalan kegunaan menara telekomunikasi dengan cara menggunakannya secara bersama oleh beberapa operator

telekomunikasi. Untuk menghitung estimasi kebutuhan jumlah menara digunakan persamaan (3.5) sebagai berikut [2]:

$$M_t = \frac{B_t - B_0}{4} + M_0 \quad (3.5)$$

dimana :

M_t = jumlah menara pada tahun t

M_0 = jumlah menara pada tahun perencanaan

B_t = jumlah kebutuhan BTS pada tahun t

B_0 = jumlah kebutuhan BTS pada tahun perencanaan

4 = jumlah BTS dalam satu menara (asumsi 1 menara dapat digunakan oleh 4 BTS).

Semisal diambil contoh kebutuhan menara untuk wilayah kecamatan Gondang, dengan menggunakan persamaan (3.5) dapat dihitung kebutuhan menara sebagai berikut :

$$M_{2019} = \frac{B_{2019} - B_{2014}}{4} + M_{2014}$$

$$M_{2019} = \frac{17-10}{4} + 6 = 7,75 \approx 8 \text{ Menara}$$

3.3.5 Menghitung Radius Cell

Untuk dapat mengetahui daerah cakupan suatu sel, maka harus diketahui besarnya radius yang dihasilkan oleh sel tersebut. Perhitungan daerah cakupan ini akan digunakan untuk menghitung total area yang mampu dicover oleh semua menara yang ada di Kabupaten Mojokerto. Untuk menghitung besarnya radius sel digunakan rumus Okumura Hatta pada persamaan (2.3) dengan beberapa parameter tambahan sebagai berikut :

Tabel 3. 9 Parameter Tambahan

| Parameter | 2G | 3G |
|-----------------|----------|----------|
| EIRP | 37 dBm | 20 dBm |
| Margin | 30 dB | 30 dB |
| Sensitifitas Rx | -102 dBm | -110 dBm |
| Frekuensi | 900 MHz | 2082 MHz |
| hm | 1,5 m | 1,5 m |

Dengan beberapa parameter tambahan pada Tabel 3.9 maka dapat dihitung besarnya radius yang dihasilkan dari sebuah sel di Kabupaten Mojokerto (*rural*) pada layanan 2G dan 3G sebagai berikut :

$$d = 10 \frac{(\text{MAPL} - 69.55 - 26.16 \log f + 13.82 \log h_{\text{BTS}} + Q)}{44.9 - 6.55 \log h_{\text{BTS}}}$$

dimana :

$$\text{MAPL} = \text{EIRP} - \text{Sentifitas Rx} - \text{Margin}$$

$$Q = 4.78(\log f)^2 - 18.33 \log f + 40.94$$

3.3.6 Menghitung Luas Coverage Cell

Perhitungan luas *coverage cell* pada penelitian ini menggunakan pendekatan bentuk luasan *coverage cell* berbentuk lingkaran, sehingga untuk menghitung luas *coverage cell* dapat digunakan rumus luas lingkaran sebagai berikut :

$$\text{Luas } coverage \text{ cell} = 3,14 \times (d)^2 \quad (3.6)$$

dimana, d adalah merupakan radius sel BTS.

3.4 Penentuan Fungsi Tujuan

Tahapan penentuan fungsi tujuan ini akan menghasilkan formulasi matematis fungsi tujuan (*fitness function*) untuk penempatan menara BTS yang dapat mengakomodasi letak koordinat geografis dalam vektor dan total luas *coverage area BTS* yang mampu dihasilkan menggunakan algoritma *Differential Evolution*. Formulasi ini menunjukkan fungsi luas total *coverage cell* yang akan diperoleh dengan radius dan jarak tertentu apabila menempatkan beberapa menara BTS pada titik koordinat tertentu. Selain model matematis, tahapan ini juga menghasilkan model *Differential Evolution (DE)* yang disesuaikan dengan permasalahan penempatan menara BTS serta *coding* (model *software*) yang akan dijalankan pada MATLAB.

3.4.1 Pengembangan Formulasi Matematis Fungsi Tujuan

Pada penelitian ini fungsi tujuan dibangun untuk mendapatkan penempatan titik menara BTS yang dapat mengoptimalkan total luas

coverage area BTS yang dihasilkan. Fungsi tujuan (*fitness function*) pada penelitian ini didefinisikan pada persamaan (3.7).

$$F = \sum_{i=1}^n \text{Luas coverage cell}(i) - \sum \text{Luas irisan cell} \quad (3.7)$$

dimana :

$$F = \text{luas total coverage area BTS}$$

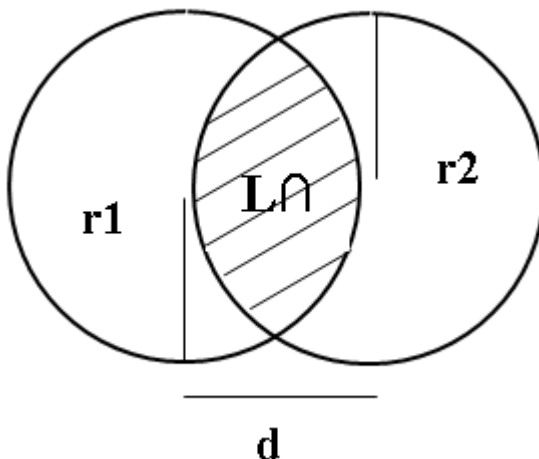
Pengembangan fungsi tujuan pana penelitian ini didasarkan pada ilmu geometri untuk menghitung luas gabungan dari dua buah lingkaran atau lebih yang saling beririsan sehingga didapatkan luas total yang dihasilkan dari beberapa gabungan lingkaran tersebut. Perhitungan luas gabungan lingkaran tersebut adalah dengan melakukan penjumlahan total luas masing-masing lingkaran, kemudian dikurangi dengan luas irisan yang dihasilkan dari lingkaran-lingkaran tersebut. Pemilihan lingkaran sebagai bahan perhitungan luas *coverage area* BTS karena diasumsikan antena BTS memancarkan daya ke segala arah (*omnidirectional*) sehingga mengakibatkan *coverage cell* yang dibentuk oleh BTS adalah berbentuk lingkaran.

Luas *coverage cell* dapat dihitung dengan menggunakan rumus pada persamaan (3.6). Untuk menghitung luas irisan *cell* dapat digunakan rumus pada persamaan (3.8) berikut.[26]

$$L \cap = L \cap(R, d1) + L \cap(r, d2)$$

$$\begin{aligned} &= r^2 \cos^{-1} \left(\frac{d^2 + r^2 - R^2}{2dr} \right) - 0.5 \sqrt{(-d + r + R)(d + r - R)(d - r + R)(d + r + R)} \\ &\quad + R^2 \cos^{-1} \left(\frac{d^2 + R^2 - r^2}{2dR} \right) \end{aligned} \quad (3.8)$$

Gambar 3.5 mengilustrasikan daerah irisan antara dua buah lingkaran yang saling beririsan. Irisan kedua buah lingkaran ini dianalogikan seperti luas irisan antar dua buah sel BTS yang saling tumpang tindih satu sama lain. Sehingga dapat dilakukan perhitungan luas daerah irisan yang dihasilkan oleh kedua sel BTS atau lebih.



Gambar 3.5 Ilustrasi irisan sel BTS [27]

Untuk perhitungan jarak antar titik pusat *coverage cell* BTS (d) dapat digunakan rumus pada persamaan (3.9). [27]

$$d = \sqrt{(x_1 - x_2)^2 + (y_1 - y_2)^2} \quad (3.9)$$

3.4.2 Implementasi Algoritma *Differential Evolution*

Differential Evolution (DE) merupakan metode minimasi dan maksimasi yang handal dan efisien dalam mencari titik global optimal. Hal ini dikarenakan adanya proses seleksi stokastik dalam langkah-langkahnya dan kemampuan untuk memproses sejumlah individu secara paralel. Algoritma awal *Differential Evolution* akan dikembangkan sehingga dapat digunakan sebagai alternatif dalam penyelesaian penempatan menara BTS secara optimal.

Adapun penjelasan dari langkah-langkah pengembangan model sesuai dengan *flowchart* pada Gambar 3.6 adalah sebagai berikut :

1. Menentukan parameter yang digunakan untuk menjalankan iterasi.

- a. Parameter penempatan menara BTS seperti jumlah titik koordinat eksisting dan jumlah titik koordinat *blank spot* (NPE dan NPB) yang akan dijadikan sebagai populasi awal, batas atas dan batas bawah koordinat vektor lokasi penempatan menara BTS (LB dan UB), dan jumlah titik optimal yang akan dipilih (NS).
 - b. Parameter DE yaitu *crossover rate (CR)*, faktor skala pembeda vektor (F), ukuran populasi (D), dan kriteria penghentian iterasi.
2. Mengevaluasi nilai fungsi tujuan dari populasi vektor awal yang terbentuk. Fase evaluasi ini mempertimbangkan nilai total luas *coverage area* BTS yang telah dihasilkan dari titik-titik kordinat menara eksisting, dimana nilai evaluasi fungsi tujuan ini akan dipilih yang memiliki nilai lebih besar atau sama dengan total luas *coverage area* BTS eksisting tersebut.
 3. Membangkitkan tiga vektor secara acak (r_1, r_2, r_3) untuk setiap vektor individu yang berasal dari populasi yang sama sehingga didapatkan vektor mutan.
 4. Membentuk populasi turunan dengan mengkombinasikan vektor mutan dengan vektor pada populasi awal (*parents*).
 5. Melakukan *update* vektor populasi dengan cara seleksi. Apabila populasi turunan menghasilkan nilai yang lebih baik, maka akan dijadikan populasi baru, dan begitu pula sebaliknya.
 6. Jika *stoping criterion* terpenuhi, maka iterasi akan berhenti. Jika tidak, maka iterasi akan berlanjut dengan kembali ke proses ketiga.

3.4.3 Pengembangan Code

Setelah mendapatkan model matematis serta algoritma *differential evolution (DE)*, maka langkah selanjutnya adalah mengembangkan code yang akan dijalankan dengan *software* MATLAB.

3.4.3.1 Inisialisasi

Tahapan inisialisasi dalam DE dimulai dengan penentuan parameter yang mendukung berjalannya proses optimasi. Beberapa parameter tersebut antara lain :

- a. F atau faktor skal pembeda vektor. Parameter ini digunakan pada saat tahapan mutasi vektor. Nilai F mulai

dari 0 sampai dengan 1, namun Price dan Storn merekombinasikan untuk menggunakan nilai F mulai dari 0.5 hingga 1 dan yang digunakan dalam penelitian ini adalah $F = 0.9$.

- b. *Crossover rate (CR)*. Parameter ini digunakan pada saat tahapan *crossover* untuk menghasilkan populasi turunan. Nilai CR yang memiliki kemampuan menyelesaikan berbagai fungsi adalah $0 \leq CR \geq 0.2$ atau $0.9 \leq CR \geq 1$.
- c. *Upper* dan *Lower Bound*. Batas atas dan batas bawah merupakan batasan dalam menghasilkan populasi. Batas atas nilai vektor sesuai dengan batas maksimal jumlah populasi *blank spot* pada suatu daerah tiap kecamatan. Sedangkan batas bawah nilai vektor sesuai dengan batas minimal jumlah populasi *blank spot* pada suatu daerah tiap kecamatan. Apabila ada vektor yang nilainya diatas batas atas vektor, maka nilai vektor tersebut otomatis berubah menjadi nilai vektor batas atas. Dan begitu pula sebaliknya, apabila ada vektor yang nilainya dibawah batas bawah vektor, maka nilai vektor tersebut otomatis berubah menjadi nilai vektor batas bawah.
- d. Membangkitkan populasi vektor yang berukuran $NP \times D$ yaitu jumlah koordinat vektor yang akan diperhitungkan dikalikan dengan dimensi populasi. Pada penelitian ini dimensi populasi yang digunakan adalah 4.
- e. Populasi vektor yang telah dibangkitkan kemudian dievaluasi dengan cara menghitung nilai fungsinya.

3.4.3.2 Mutasi

Pembentukan vektor mutan (v_i) dilakukan dengan mengkombinasikan 3 vektor ($r1, r2, r3$) yang dipilih secara acak dari populasi vektor yang telah ada dengan F sebagai faktor skala pembeda. Nilai $r1$ dipilih sekali untuk semua vektor yang ada di populasi yang sama, sedangkan $r2$ dan $r3$ dipilih untuk setiap vektor mutan yang akan dibentuk. Proses pembentukan vektor mutan ini dilakukan sebanyak jumlah populasi.

3.4.3.3 Crossover

Crossover atau kawin silang akan menggabungkan vektor dari populasi *parents* (pop_i) dengan vektor mutan (v_i). Diawali dengan

membangkitkan bilangan random sebanyak jumlah populasi blank spot ($rand$). Apabila nilai CR yang telah ditentukan pada inisialisasi lebih besar dari atau sama dengan nilai $rand_i$, maka vektor i akan tetap berisi v_i . Dan begitu pula sebaliknya bila CR kurang dari nilai $rand_i$, maka vektor i akan berisi pop_i .

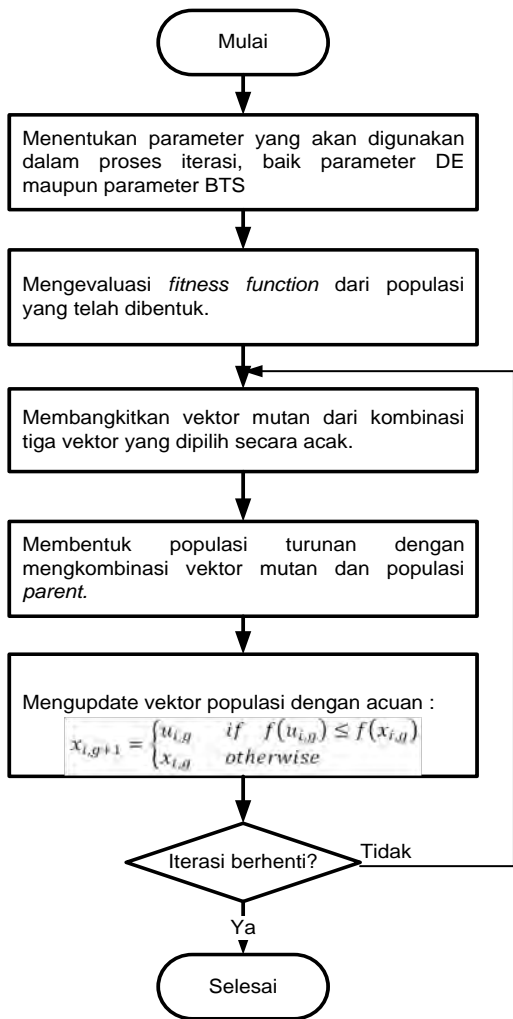
3.4.3.4 Seleksi

Tahapan seleksi embandingkan nilai fungsi obyektif antara populasi *parents* dengan populasi turunan. Populasi turunan yang dihasilkan dari *crossover* kemudian dimasukkan ke dalam fungsi obyektif yang telah dibentuk, apabila nilainya lebih tinggi daripada nilai fungsi populasi *parents*, maka populasi baru akan menggantikan populasi hasil iterasi sebelumnya. Seleksi ini dilakukan untuk ketiga populasi.

Hasil dari seleksi ini kemudian disimpan sebagai nilai baru untuk iterasi berikutnya, antara lain nilai nomer menara, nilai koordinat x , nilai koordinat y , dan nilai radius menara maksimum saat itu. Hasil dari proses seleksi ini akan mengambil sejumlah nilai optimum yang diharapkan sesuai dengan fungsi tujuan yang akan dicapai. Dalam penelitian ini nilai optimum tersebut berupa nilai koordinat menara BTS dan nilai radius sel dari menara BTS tersebut.

3.4.3.5 Stopping Criterion

Iterasi pencarian nilai fungsim maksimum akan terus berjalan hingga kriteria penghentian iterasi terpenuhi. Pengembangan *coding DE* untuk permasalahan penempatan menara BTS secara optimal ini menggunakan *stopping criterion* nilai fungsi terbaik saat itu lebih dari nilai total luas daerah cakupan BTS eksisting, jika nilai total luas daerah cakupan hasil optimasi memiliki nilai lebih baik atau sama dengan nilai luas daerah cakupan menara eksisitng maka iterasi akan berhenti. Selain menggunakan *stoping criterion* luas daerah cakupan menara BTS, juga dapat digunakan *stoping criterion* berupa nilai iterasi maksimum maupun lama waktu komputasi yang digunakan sehingga akan menghasilkan hasil optimasi sesuai dengan yang diharapkan.



Gambar 3. 6 Flowchart Metode Differential Evolution

BAB 4

ANALISA DAN PEMBAHASAN

Bab keempat ini menunjukkan analisis dan pembahasan dari pengolahan data atau pengujian algoritma yang dilakukan pada bab sebelumnya

4.1 Analisa Data

4.1.1 Data Persebaran Menara

Persebaran menara telekomunikasi di Kabupaten Mojokerto sampai akhir tahun 2014 tercatat ada 210 menara dengan jumlah total BTS sebanyak 367 BTS. Adapun data jumlah menara dan BTS eksisting di setiap kecamatan ditunjukkan oleh tabel 4.1.

Dari semua menara dan BTS yang ada, terdapat 9 operator telekomunikasi yang melayani komunikasi seluler di Kabupaten Mojokerto. Kesembilan operator tersebut adalah Telkomsel, Indosat, XL, NTS (Axis), HCPT (Three), Esia, Flexi, Smart Fren, dan Mobile 8 (STI). Data pengelompokan jumlah BTS untuk masing-masing operator ditunjukkan oleh tabel 4.2.

Seluruh data tersebut diperoleh dari Dinas Pendapatan Daerah Kabupaten Mojokerto dan data hasil survei. Berdasarkan data jumlah BTS dan menara telekomunikasi, dapat dilihat bahwa ada kolokasi BTS antar operator seluler di Kabupaten Mojokerto. Hal ini menunjukkan bahwa pada satu menara telekomunikasi bisa digunakan oleh lebih dari satu operator seluler atau yang sering disebut dengan penggunaan menara secara bersama (menara bersama). Dari data lokasi menara eksisting yang ada, maka dapat dilakukan visualisasi pesebaran menara telekomunikasi di Kabupaten Mojokerto seperti yang terlihat pada Gambar 4.1, 4.2, dan 4.3.

Persebaran menara eksisting yang ada di Kabupaten Mojokerto pada tahun 2014 menunjukkan bahwa di Kabupaten Mojokerto sebagian besar wilayahnya telah *discover* oleh menara 2G yang tersebar di 18 kecamatan. Untuk daerah cakupan dari jaringan 3G masih belum meng*cover* wilayah Kabupaten Mojokerko secara keseluruhan.

Tabel 4. 1 Jumlah Menara dan BTS Eksisting tahun 2014

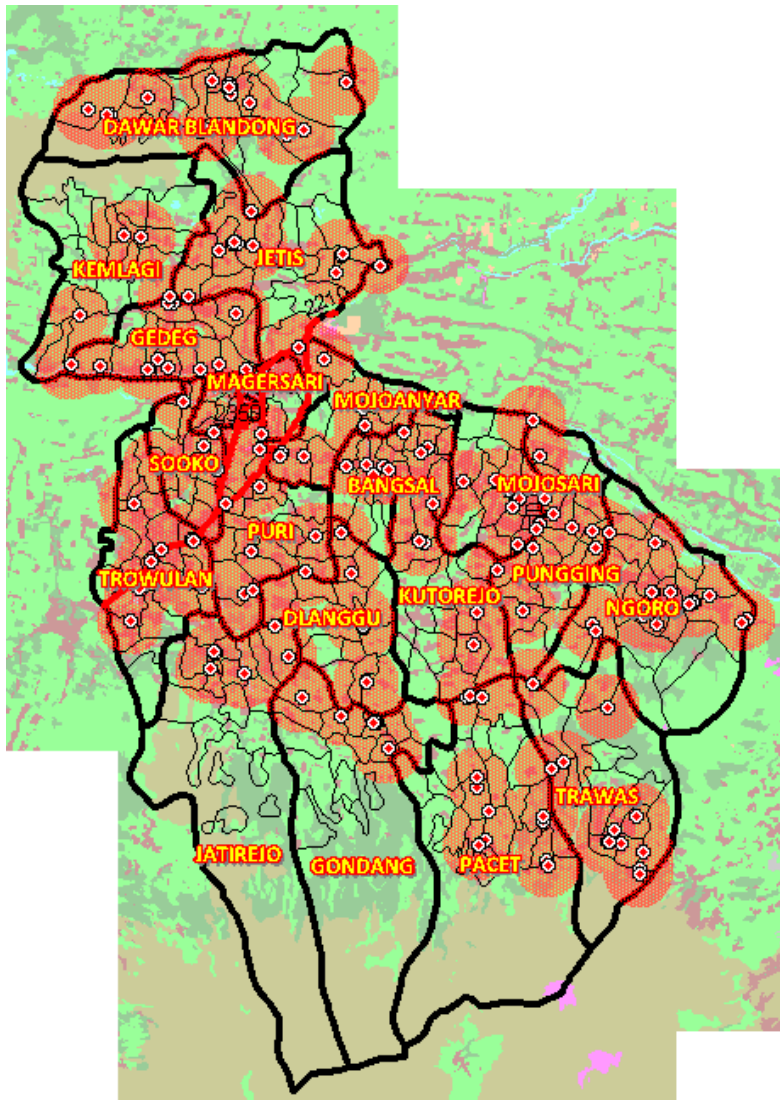
| No. | Kecamatan | Jml BTS Eksisting | BTS 2G | BTS 3G | Jml Menara |
|--------------|----------------|-------------------|------------|------------|------------|
| 1 | Bangsal | 25 | 18 | 7 | 14 |
| 2 | Dawar Blandong | 26 | 16 | 10 | 17 |
| 3 | Dlanggu | 11 | 6 | 5 | 8 |
| 4 | Gedek | 33 | 21 | 12 | 15 |
| 5 | Gondang | 10 | 6 | 4 | 6 |
| 6 | Jatirejo | 10 | 8 | 2 | 6 |
| 7 | Jetis | 18 | 14 | 4 | 11 |
| 8 | Kemlagi | 10 | 7 | 3 | 5 |
| 9 | Kutorejo | 14 | 4 | 10 | 7 |
| 10 | Mojoanyar | 19 | 11 | 8 | 9 |
| 11 | Mojosari | 23 | 14 | 9 | 14 |
| 12 | Ngoro | 25 | 15 | 10 | 16 |
| 13 | Pacet | 27 | 17 | 10 | 16 |
| 14 | Pungging | 16 | 13 | 3 | 12 |
| 15 | Puri | 22 | 13 | 9 | 11 |
| 16 | Sooko | 14 | 9 | 5 | 8 |
| 17 | Trawas | 33 | 18 | 15 | 17 |
| 18 | Trowulan | 31 | 9 | 22 | 18 |
| Total | | 367 | 219 | 148 | 210 |

Tabel 4. 2 Jumlah BTS Setiap Operator Seluler

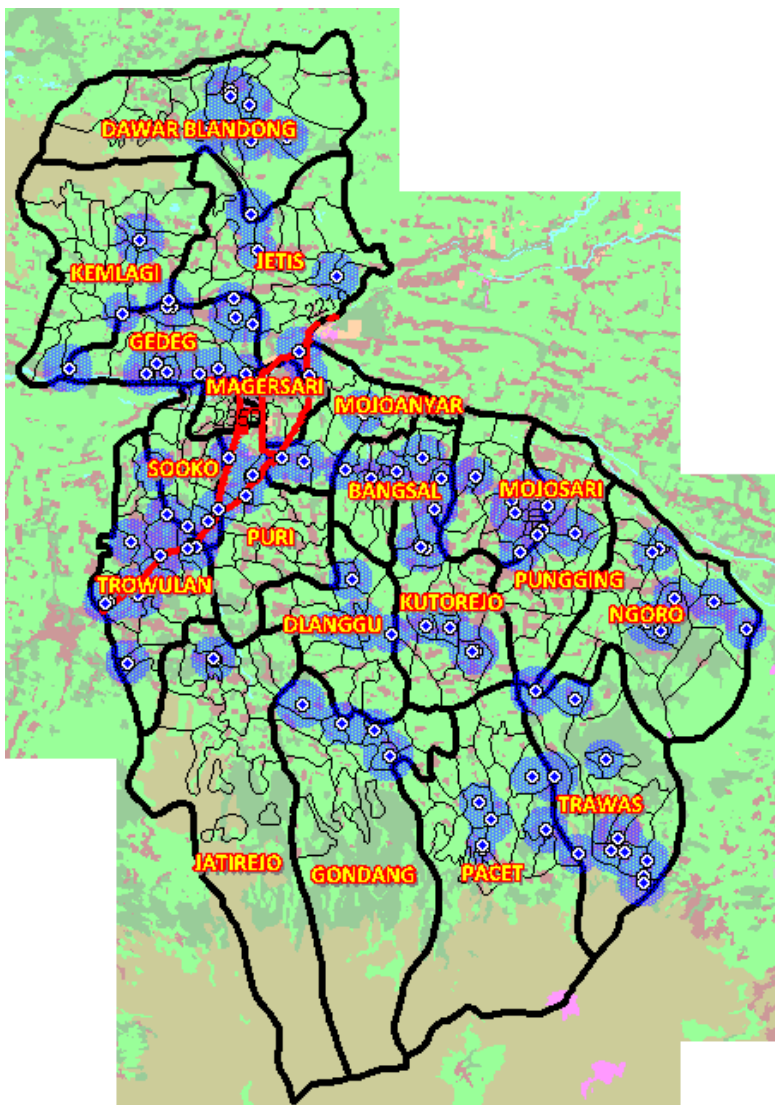
| No. | Operator Telekomunikasi | Singkatan | Jumlah BTS 2G | Jumlah BTS 3G | Total BTS |
|-----|--|--------------|---------------|---------------|-----------|
| 1 | PT. Telekomunikasi Seluler | TSEL | 56 | 45 | 101 |
| 2 | PT. XL Axiata | XL | 33 | 27 | 60 |
| 3 | PT. Hutchiston C.P Telekomunikasi | HCPT | 30 | 13 | 43 |
| 4 | PT. Indonesia Satelit Coorporation | Indosat | 53 | 26 | 79 |
| 5 | PT. Natrindo Telepon Seluler | NTS (Axis) | 16 | 13 | 29 |
| 6 | PT. Smart Telecom | Smart | 7 | 10 | 17 |
| 7 | PT. Mobile 8 / Sampurna Telekomunikasi | Fren / STI | 2 | 2 | 4 |
| 8 | PT. Bakrie Telekom | Esia | 11 | 5 | 16 |
| 9 | PT. Telekomunikasi Indonesia | TELKOM Flexi | 11 | 7 | 18 |

4.1.2 Persebaran Zona Menara Eksisting

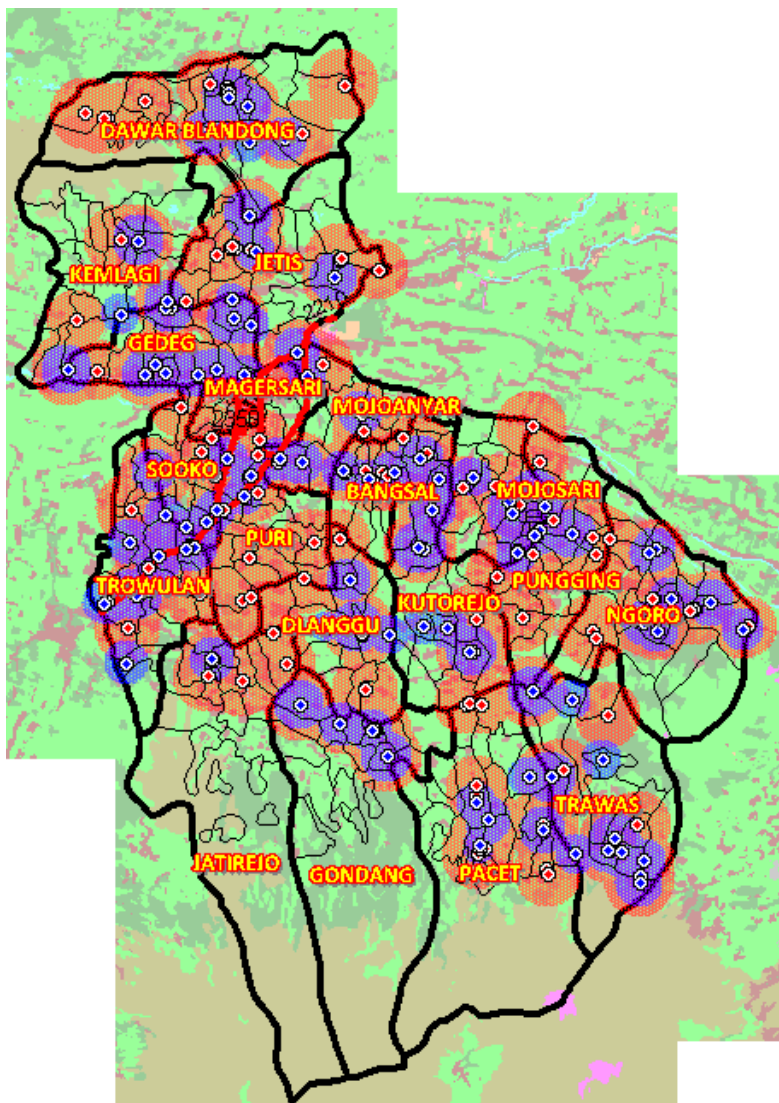
Zona menara eksisting merupakan daerah cakupan yang dihasilkan dari menara eksisting dengan radius tertentu berdasarkan ketinggian menara, morfologi area, teknologi yang digunakan, dan daya pancar antena. Dari data persebaran menara eksisting, diketahui terdapat 214 BTS 2G dan 153 BTS 3G yang tersebar di 210 menara. Gambar 4.1 dan 4.2 menunjukkan persebaran zona menara eksisting untuk jaringan 2G dan 3G yang ada di Kabupaten Mojokerto. Dari hasil kedua gambar tersebut dapat disimpulkan bahwa semua kecamatan di Kabupaten Mojokerto telah memiliki jaringan 2G dan 3G. Namun jumlah menara 3G secara keseluruhan masih terbilang sedikit.



Gambar 4. 1 Persebaran Zona Menara 2G Eksisting



Gambar 4. 2 Persebaran Zona Menara 3G Eksisting



Gambar 4. 3 Persebaran Zona Menara 2G dan 3G Eksisting

4.2 Pengolahan Data

4.2.1 Prediksi Kebutuhan BTS 2019

Berdasarkan pada hasil perhitungan kebutuhan trafik pelanggan dan kapasitas trafik di bab sebelumnya, maka dapat dilakukan estimasi kebutuhan BTS untuk jangka lima tahun kedepan sampai tahun 2019 menggunakan persamaan (3.12). Sehingga didapatkan kebutuhan BTS tahun 2019 seperti ditunjukan pada tabel 4.3 berikut.

Tabel 4. 3 Prediksi Kebutuhan BTS tahun 2019

| No. | Jenis Teknologi | Jumlah BTS 2014 | Kebutuhan BTS 2019 | Penambahan BTS |
|-----|-----------------|-----------------|--------------------|----------------|
| 1 | 2G | 219 | 425 | 206 |
| 2 | 3G | 148 | 142 | -6 |

Dari tabel 4.3 diketahui bahwa ada peningkatan dan pengurangan jumlah kebutuhan BTS di tahun 2019, baik untuk jaringan 2G maupu 3G. Untuk peningkatan kebutuhan BTS 2G sebesar 206 BTS, dan untuk pengurangan kebutuhan BTS 3G sebesar 6 BTS. Sehingga untuk estimasi perencanaan pembangunan jaringan telekomunikasi tahun 2019 di Kabupaten Mojokerto setidaknya membutuhkan penambahan 206 BTS 2G dan pengurangan 6 BTS 3G.

4.2.2 Prediksi Kebutuhan Menara 2019

Dari hasil prediksi kebutuhan BTS untuk tahun 2019, maka dapat dihitung berapa kebutuhan menara telekomunikasi di tahun 2019 menggunakan rumus pada persamaan (3.5). Tabel 4.4 menunjukkan prediksi kebutuhan menara telekomunikasi tahun 2019 untuk layanan 2G dan 3G. Pada penelitian ini diambil prediksi kebutuhan menara untuk jaringan 2G dan 3G dikarenakan untuk memenuhi kebutuhan akses data pelanggan seluler yang terus meningkat pesat seiring perkembangan teknologi informasi, disamping hal itu regulasi baru yang akan di keluarkan Pemerintah Daerah Kabupaten Mojokerto melarang pendirian menara telekomunikasi dengan ketinggian menara diatas 50m.

Tabel 4. 4 Prediksi Kebutuhan Menara 2019

| No. | Jenis Teknologi | Jumlah Menara 2014 | Kebutuhan Menara 2019 | Penambahan Menara |
|-----|-----------------|--------------------|-----------------------|-------------------|
| 1 | 2G | 164 | 106 | -58 |
| 2 | 3G | 102 | 36 | -66 |

Berdasarkan pada tabel 4.4 yang menunjukkan perbandingan kebutuhan menara 2G dan 3G tahun 2014 dengan tahun 2019, maka di Kabupaten Mojokerto untuk tahun 2019 mengalami pengurangan menara 2G sebanyak 58 menara dan pengurangan menara 3G sebanyak 66menara. Dengan adanya pengurangan menara, maka proses peletakan menara yang optimal menjadi sangat penting agar menara yang ada dapat difungsikan secara optimal dan tidak mengganggu estetika ruang maupun kegiatan warga di Kabupaten Mojokerto.

4.3 Penempatan Menara Kebutuhan 2019

Proses penempatan menara telekomunikasi menjadi tahapan yang sangat penting dalam sebuah perancangan jaringan telekomunikasi. Pada dasarnya penempatan sebuah menara telekomunikasi hanya di dasarkan pada kualitas jaringan yang sudah ada tanpa memperhatikan estetika ruang maupun kegiatan warga sekitar. Dengan penempatan menara yang tanpa perencanaan matang, maka hasil cakupan sel dari sebuah menara tidak akan optimal sehingga menimbulkan *blank spot area* yang cukup besar. Jumlah menara yang banyak tidak menjamin dapat mengcover wilayah yang besar jika penataan menaranya tidak optimal. Pada penelitian ini dilakukan sebuah optimasi peletakan menara telekomunikasi dengan menggunakan Algoritma *Differential Evolution*. Proses optimasi dilakukan untuk masing-masing kecamatan dengan memperhatikan keberadaan menara eksisting yang sudah ada dan kebutuhan trafik per kecamatan.

Berdasarkan pada tabel 4.4 maka dapat diketahui bahwa ada pengurangan jumlah menara untuk kebutuhan jaringan tahun 2019. Pada proses optimasi peletakan menara kebutuhan tahun 2019 menggunakan sejumlah titik alternatif RTRW yang ada di setiap kecamatan dan menggunakan sejumlah titik eksisting yang ada. Titik-titik tersebut nantinya akan diseleksi dan dipilih titik mana yang paling optimal untuk peletakan menara. Pemilihan titik ini didasarkan pada luasan daerah

yang mempu dihasilkan oleh titik-titik alternatif tersebut. Tabel 4.5 menunjukkan jumlah titik alternatif yang ada di setiap kecamatan di Kabupaten Mojokerto yang akan digunakan dalam proses optimasi.

Tabel 4.5 Jumlah Titik Alternatif Setiap Kecamatan

| No. | Kecamatan | Jumlah Titik Alternatif |
|-----|----------------|-------------------------|
| 1 | Jatirejo | 15 |
| 2 | Gondang | 18 |
| 3 | Pacet | 20 |
| 4 | Tawas | 13 |
| 5 | Ngoro | 19 |
| 6 | Pungging | 19 |
| 7 | Kutorejo | 17 |
| 8 | Mojosari | 19 |
| 9 | Bangsal | 17 |
| 10 | Mojoanyar | 12 |
| 11 | Dlanggu | 16 |
| 12 | Puri | 16 |
| 13 | Trowulan | 16 |
| 14 | Sooko | 15 |
| 15 | Gedek | 14 |
| 16 | Kemlagi | 20 |
| 17 | Jetis | 16 |
| 18 | Dawar blandong | 18 |

4.3.1 Pengujian Algoritma

Pengujian algoritma *differential evolution* ditujukan untuk mengetahui performansi algoritma dengan menggunakan parameter pengujian tertentu. Pada pengujian ini digunakan dua skema pengujian, yaitu pengujian pertama menggunakan parameter CR sebesar 0,9 dan F sebesar 0,9. Pada pengujian ini diambil sampel satu kecamatan yaitu kecamatan Bangsal dengan ekspektasi nilai luas *coverage cell* sebesar

33,39 km², dilakukan replikasi sebanyak 10 kali. Kemudian, pengujian kedua menggunakan parameter CR sebesar 0,2 dan F sebesar 0,9. Hasil kedua pengujian ini dapat dilihat pada Tabel 4.6 dan Tabel 4.7.

Tabel 4. 6 Output 10 Replikasi dengan CR = 0,9 dan F = 0,9

| Replikasi | Iterasi | Coveragearea awal (km ²) | Coveragearea optimasi (km ²) | Waktu komputasi (detik) |
|-----------|---------|--------------------------------------|--|-------------------------|
| 1 | 61 | 33,39 | 34,92 | 0,6864044 |
| 2 | 14 | 33,39 | 35,30 | 0,2964019 |
| 3 | 360 | 33,39 | 35,22 | 3,3540215 |
| 4 | 94 | 33,39 | 34,99 | 0,9984064 |
| 5 | 404 | 33,39 | 35,27 | 3,8844249 |
| 6 | 15 | 33,39 | 35,21 | 0,3276021 |
| 7 | 17 | 33,39 | 35,24 | 0,3276021 |
| 8 | 124 | 33,39 | 35,11 | 1,2324079 |
| 9 | 167 | 33,39 | 35,05 | 1,6536106 |
| 10 | 14006 | 33,39 | 34,94 | 101,603451 |

Tabel 4. 7 Output 10 Replikasi dengan CR = 0,2 dan F = 0,9

| Replikasi | Iterasi | Coveragearea awal (km ²) | Coveragearea optimasi (km ²) | Waktu komputasi (detik) |
|-----------|---------|--------------------------------------|--|-------------------------|
| 1 | 9 | 33,39 | 34,93 | 0,2808018 |
| 2 | 3 | 33,39 | 35,02 | 0,2340015 |
| 3 | 8 | 33,39 | 35,21 | 0,2652017 |
| 4 | 3 | 33,39 | 35,22 | 0,2496016 |
| 5 | 8 | 33,39 | 35,34 | 0,2808018 |
| 6 | 7 | 33,39 | 35,23 | 0,2808018 |
| 7 | 5 | 33,39 | 35,33 | 0,2808018 |
| 8 | 8 | 33,39 | 35,18 | 0,2652017 |
| 9 | 5 | 33,39 | 34,97 | 0,2652017 |
| 10 | 8 | 33,39 | 35,31 | 0,2652017 |

Tabel 4.8 berikut ini akan menunjukkan perbandingan hasil pengujian kedua skema parameter algoritma *differential evolution* yaitu

antara pengujian pertama ($CR = 0,9$) dengan pengujian kedua ($CR = 0,2$).

Tabel 4. 8 Rekap Pengujian Parameter Algoritma DE

| | $F = 0,9$ | |
|---------------------------|-------------|-------------|
| | $CR = 0,2$ | $CR = 0,9$ |
| Cakupan area terbaik | 35,34292813 | 35,29532928 |
| Rata-rata cakupan area | 35,17 | 35,12 |
| Waktu komputasi terbaik | 0,2340015 | 0,2964019 |
| Rata-rata waktu komputasi | 0,26676171 | 11,43643331 |

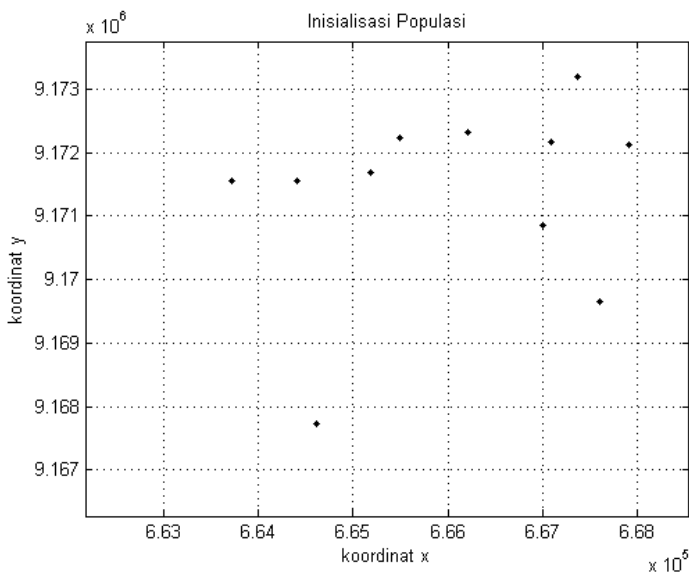
Dari Tabel 4.8 terlihat bahwa ada perbedaan performansi algoritma *differential evolution* dalam mencapai solusi optimum. Dari hasil pengujian terlihat bahwa pada pengujian kedua ($F = 0,9$ dan $CR = 0,2$) performansi algoritma *differential evolution* dalam memecahkan masalah sehingga mendapatkan solusi optimum lebih bagus dibandingkan dengan pengujian yang pertama ($F = 0,9$ dan $CR = 0,9$). Dengan waktu komputasi yang relatif singkat, pengujian kedua mampu mencapai nilai optimum terbaik dengan rata-rata waktu komputasi 0,26676171 detik dan rata-rata cakupan area sebesar $35,17 \text{ km}^2$. Dengan hasil pengujian ini, maka parameter pada pengujian kedua akan digunakan dalam proses optimasi untuk kecamatan yang lainnya.

4.3.2 Hasil Optimasi Algoritma

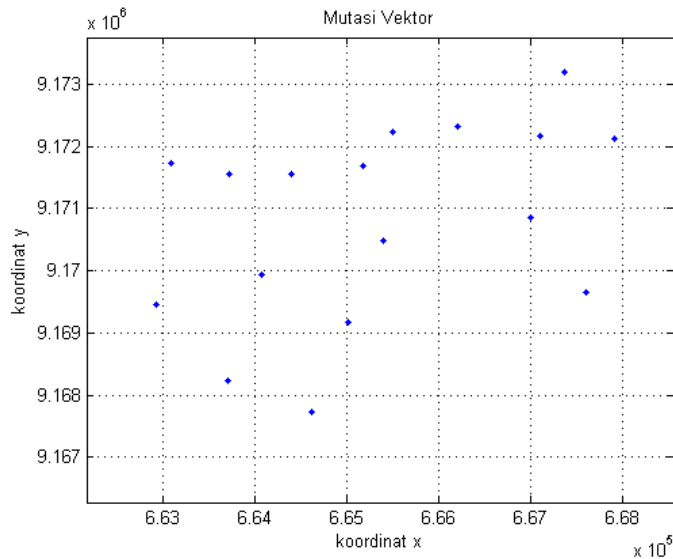
Hasil optimasi algoritma *differential evolution* pada penelitian ini akan menghasilkan titik-titik koordinat optimum peletakan menara BTS di Kabupaten Mojokerto dengan nilai radius sel dan luas *coverage area* optimal yang mampu dihasilkan.

Untuk hasil optimasi di setiap kecamatan diambil contoh pada kecamatan Bangsal yang memiliki 11 titik menara eksisting dengan luas *coverage area* sebesar $33,39 \text{ km}^2$ yang memiliki kebutuhan di tahun 2019 sebanyak 2 menara.

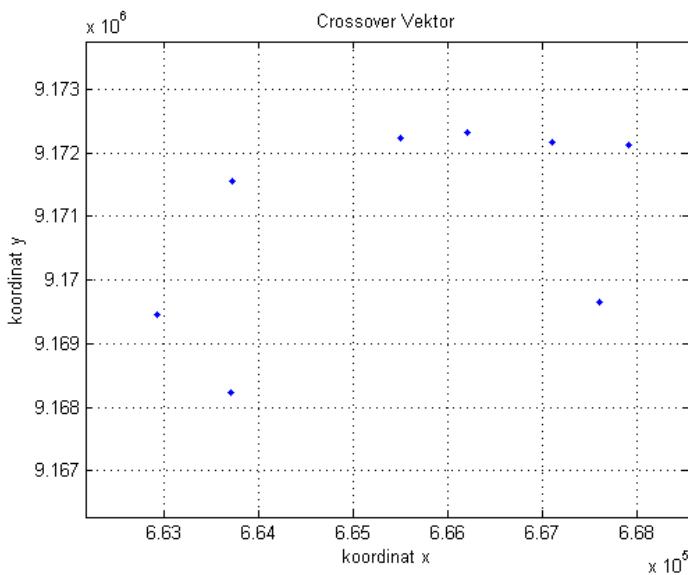
Dengan menggunakan parameter $F = 0,9$ dan $CR = 0,2$ dilakukan proses optimasi dengan 4 tahapan (inisialisasi, mutasi, *crossover*, dan seleksi) seperti terlihat pada Gambar 4.4, 4.5, 4.6, dan 4.7, sehingga didapatkan hasil solusi optimal di kecamatan Bangsal.



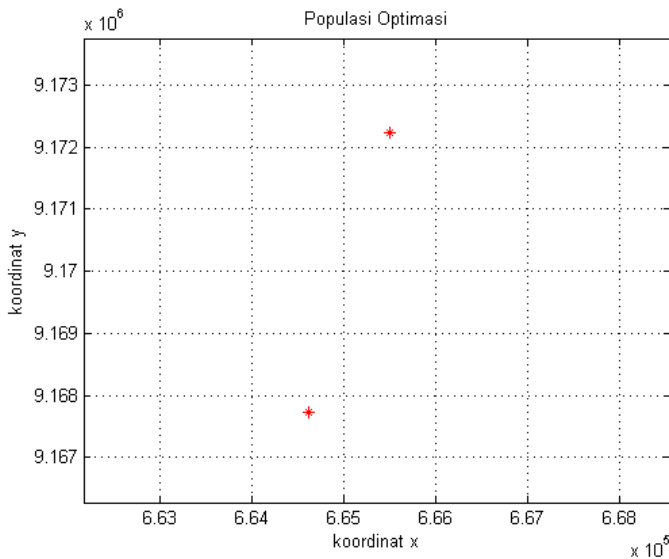
Gambar 4.4 Tahap Inisialisasi Populasi



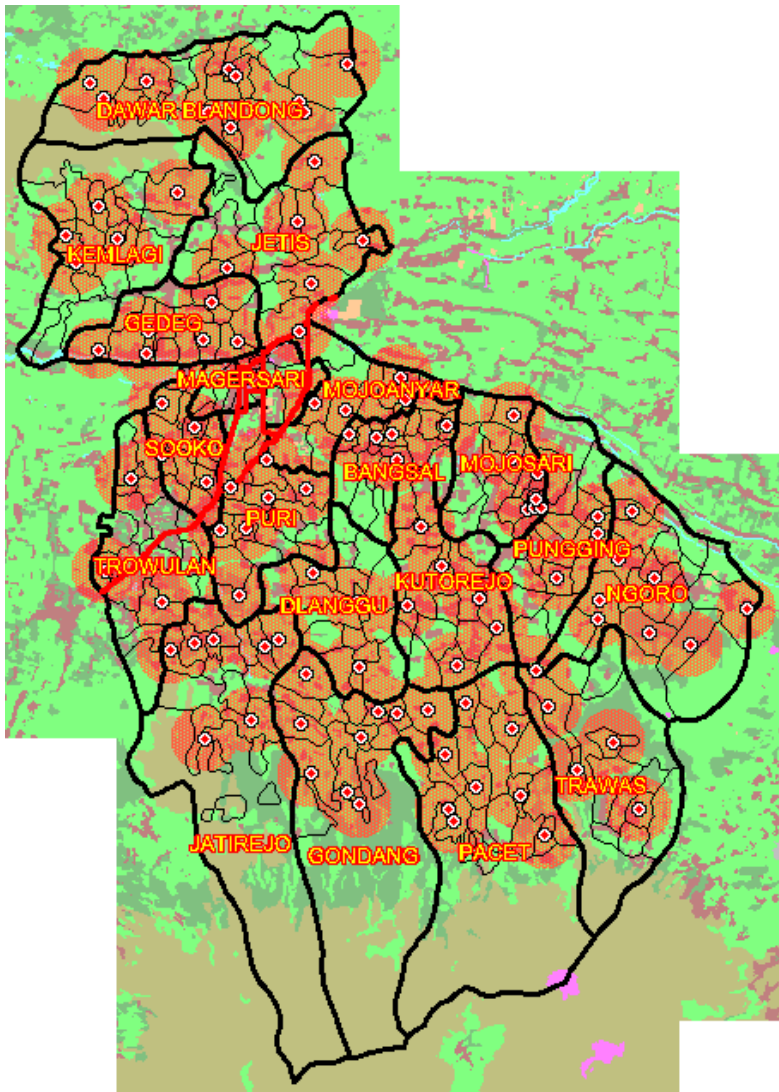
Gambar 4.5 Tahap Mutasi Vektor



Gambar 4. 6 Tahap Crossover Vektor



Gambar 4. 7 Tahap Seleksi Vektor

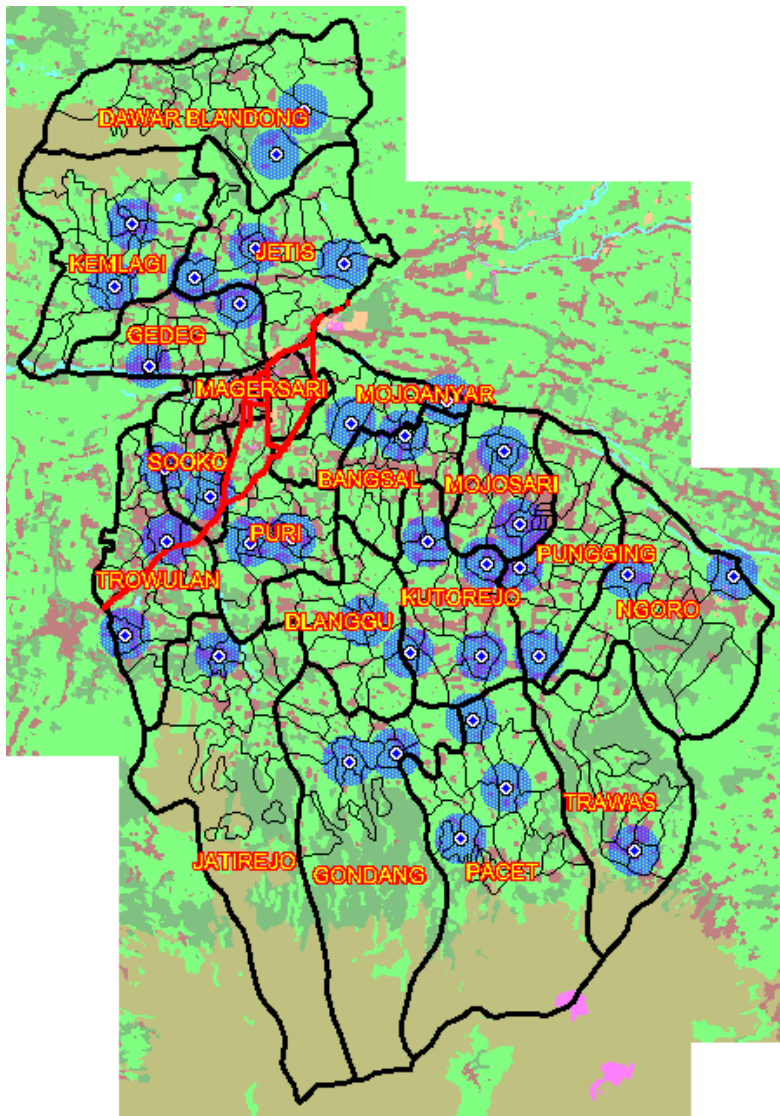


Gambar 4. 8 Zona 2G Kebutuhan tahun 2019

Dengan menggunakan langkah yang sama, dilakukan proses optimasi untuk penataan menara jaringan 2G di Kabupaten Mojokerto secara keseluruhan dengan ekspektasi luas cakupan sel yang lebih bagus atau sama dengan luas cakupan sel dari menara 2G eksisiting di tahun 2014, kemudian didapatkan hasil titik solusi optimal penempatan menara telekomunikasi tahun 2019 di Kabupaten Mojokerto seperti terlihat pada lampiran dan Gambar 4.8.

Hasil optimasi untuk jaringan 2G seperti pada Gambar 4.8 menunjukkan adanya perubahan jumlah menara BTS yang tersebar di seluruh Kabupaten Mojokerto dengan jumlah menara BTS bersama sebanyak 106 menara. Jumlah ini lebih sedikit dibanding dengan jumlah menara eksisting yang ada saat ini yang mencapai 164 menara. Pengurangan jumlah menara didasarkan pada kebutuhan trafik pelanggan seluler 2G yang ada di Kabupaten Mojokerto untuk prediksi kebutuhan tahun 2019 sebesar 18984 Erlang, sehingga hanya dibutuhkan sejumlah 106 menara BTS bersama untuk dapat melayani trafik pelanggan seluler yang ada di Kabupaten Mojokerto tahun 2019. Dengan adanya pengurangan jumlah menara BTS, maka dibutuhkan proses optimasi peletakan menara BTS bersama agar menara hasil optimasi tetap dapat mencakup luas cakupan yang optimal sehingga dapat mengatasi mobilitas pengguna seluler di Kabupaten Mojokerto.

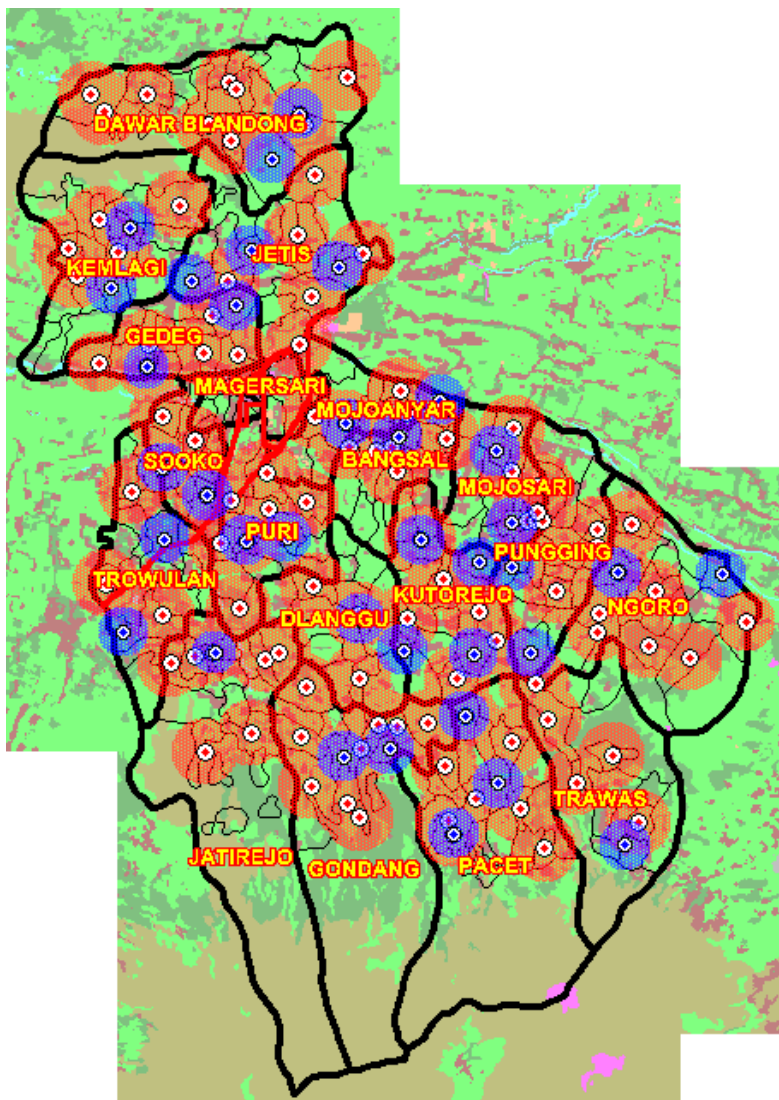
Setelah dilakukan proses optimasi peletakan menara menggunakan algoritma *differential evolution*, maka didapatkan penempatan menara BTS bersama seperti pada Gambar 4.8. Hasil optimasi peletakan menara BTS bersama menggunakan algoritma *differential evolution* mampu meningkatkan luas cakupan area sel menjadi $644,8 \text{ km}^2$ dari cakupan area sel semula yang hanya $641,2 \text{ km}^2$. Peningkatan luas cakupan area sel disebabkan oleh proses optimasi yang melakukan penyusunan ulang menara BTS bersama untuk mendapatkan luas cakupan area sel yang semakin optimal dengan cara mengurangi luas daerah irisan sel yang terlalu besar, sehingga luas cakupan sel akan semakin meningkat. Disamping itu, pendirian dan peletakan menara BTS bersama yang optimal dapat mendukung program Pemerintah Daerah Kabupaten Mojokerto untuk memperbaiki zonasi menara yang ada di Kabupaten Mojokerto agar tidak mengganggu estetika lingkungan dan tata ruang di Kabupaten Mojokerto.



Gambar 4. 9 Zona 3G Kebutuhan tahun 2019

Hasil optimasi untuk jaringan 3G seperti pada Gambar 4.9 menunjukkan adanya perubahan jumlah menara BTS yang tersebar di seluruh Kabupaten Mojokerto dengan jumlah menara BTS bersama sebanyak 36 menara. Jumlah ini lebih sedikit dibanding dengan jumlah menara eksisting yang ada saat ini yang mencapai 102 menara. Pengurangan jumlah menara didasarkan pada kebutuhan trafik pelanggan seluler 3G yang ada di Kabupaten Mojokerto untuk prediksi kebutuhan tahun 2019 sebesar 367170 Kbps, sehingga hanya dibutuhkan sejumlah 35 menara BTS bersama untuk dapat melayani trafik pelanggan seluler yang ada di Kabupaten Mojokerto tahun 2019. Dengan adanya pengurangan jumlah menara BTS, maka dibutuhkan proses optimasi peletakan menara BTS bersama agar menara hasil optimasi tetap dapat mencakup luas cakupan yang optimal sehingga dapat mengatasi mobilitas pengguna seluler di Kabupaten Mojokerto.

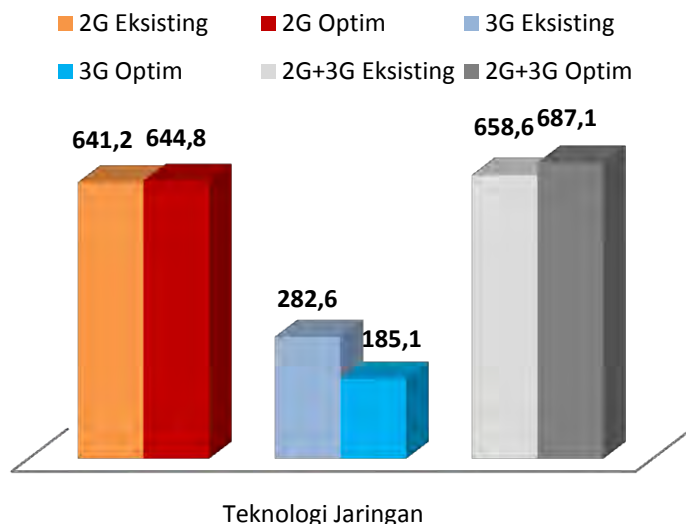
Setelah dilakukan proses optimasi peletakan menara menggunakan algoritma *differential evolution*, maka didapatkan penempatan menara BTS bersama seperti pada Gambar 4.9. Hasil optimasi peletakan menara BTS bersama menggunakan algoritma *differential evolution* ternyata mengurangi luas cakupan area sel menjadi 185,1 km² dari cakupan area sel semula yang hanya 282,6 km². Penurunan luas cakupan area sel ini diakibatkan oleh adanya pengurangan jumlah menara BTS 3G yang terlalu signifikan, sehingga mengurangi luas cakupan yang dihasilkan dari menara BTS 3G yang ada. Pengurangan jumlah menara BTS 3G juga disebabkan adanya penggabungan beberapa menara BTS 3G tunggal menjadi menara BTS 3G bersama sesuai anjuran dari Kementerian KOMINFO tentang pembangunan menara bersama agar dapat mengurangi jumlah menara yang berlebih. Penentuan jumlah menara BTS 3G hasil optimasi didasarkan pada tingkat penetrasi pengguna seluler jaringan 3G di Kabupaten Mojokerto yang hanya mencapai 17,4 % dari total pengguna seluler yang ada di Kabupaten Mojokerto prediksi tahun 2019 dan aturan pembangunan menara BTS 3G bersama dengan asumsi satu menara mampu digunakan oleh 4 BTS secara bersama.



Gambar 4. 10 Zona Gabungan 2G dan 3G Kebutuhan tahun 2019

Gambar 4.10 merupakan zonasi gabungan dari menara 2G dan 3G hasil optimasi di Kabupaten Mojokerto untuk prediksi kebutuhan tahun 2019. Dari hasil optimasi penggunaan jumlah menara dan peletakan posisi menara baik 2G maupun 3G, maka terdapat 106 menara BTS 2G bersama dan 36 menara BTS 3G bersama yang tersebar di seluruh kecamatan yang ada di Kabupaten Mojokerto. Dengan adanya optimasi peletakan menara BTS bersama, maka didapatkan persebaran menara yang tersebar merata di seluruh kecamatan baik untuk menara 2G maupun 3G. Hasil optimasi peletakan menara BTS bersama menggunakan algoritma *differential evolution* didapatkan total luas cakupan area sel untuk jaringan 2G dan 3G yang ada di Kabupaten Mojokerto meningkat menjadi $687,1 \text{ km}^2$ dari luas cakupan area sel semula yang hanya $658,6 \text{ km}^2$. Selain meningkatkan total luas cakupan area sel, proses optimasi juga dapat menekan jumlah menara yang ada di Kabupaten Mojokerto menjadi 138 menara dari jumlah total menara semula 266 menara.

Luas Cakupan Area Sel



Gambar 4. 11 Grafik Perbandingan Luas Cakupan

Berdasar grafik perbandingan luas cakupan area sel pada Gambar 4.11, dapat diketahui bahwa ada perbedaan antara luas cakupan area sel dari menara eksisting dengan luas cakupan area sel hasil optimasi menggunakan algoritma *differential evolution*. Pada proses optimasi jaringan 2G didapatkan peningkatan luas cakupan area sel sekitar 3,6 km² dari luas cakupan awal sebesar 641,2 km² kemudian meningkat menjadi 644,8 km². Untuk proses optimasi jaringan 3G didapatkan penurunan luas cakupan area sel sekitar 97,5 km² dari luas cakupan awal sebesar 282,6 km² kemudian menurun menjadi 185,1 km². Namun secara keseluruhan gabungan dari menara jaringan 2G dan 3G yang ada di Kabupaten Mojokerto mengalami peningkatan total luas cakupan area sel sekitar 28,5 km² dari total luas cakupan awal sebesar 658,6 km² kemudian meningkat menjadi 687,1 km². Maka secara keseluruhan proses optimasi menggunakan algoritma *differential evolution* untuk peletakan menara BTS bersama di Kabupaten Mojokerto pada tahun 2019 dapat mengoptimalkan total luas cakupan area sel 2G dan 3G sebesar 70,88 % dengan peningkatan total luas cakupan sebesar 2,94 % dari total luas cakupan awal.

BAB 5

PENUTUP

5.1 Kesimpulan

Berdasarkan hasil dari perencanaan kebutuhan menara BTS dan optimasi penempatan menara telekomunikasi bersama di Kabupaten Mojokerto untuk tahun 2019, maka dapat diambil kesimpulan sebagai berikut :

1. Jumlah BTS GSM dan CDMA eksisting di Kabupaten Mojokerto pada tahun 2014 sebanyak 367 BTS dan 210 menara dengan klasifikasi jumlah BTS 2G sebanyak 219 menara dan BTS 3G sebanyak 148 menara.
2. Dari hasil perencanaan kebutuhan trafik dan menara BTS, untuk dapat melayani trafik pelanggan seluler di seluruh Kabupaten Mojokerto pada tahun 2019 dibutuhkan menara BTS 2G sebanyak 106 menara dan menara BTS 3G sebanyak 36 menara.
3. Algoritma *Differential Evolution* dengan parameter $F = 0,9$ dan $CR = 0,2$ memiliki kemampuan yang baik dalam menemukan solusi luas cakupan area terbaik dengan rata-rata waktu komputasi sebesar 0,26676171 detik.
4. Dari hasil optimasi, penempatan menara BTS bersama menggunakan algoritma *differential evolution* mampu mengoptimalkan luas cakupan area sel sebesar 2,94 % dari total luas Kabupaten Mojokerto.

5.2 Saran

Berikut ini adalah saran yang dapat penulis berikan terkait penelitian selanjutnya :

1. Menambahkan kriteria penempatan menara BTS yang lain, seperti mobilitas pengguna seluler sehingga dapat menghasilkan hasil penempatan menara BTS yang lebih optimal dan dapat mengcover seluruh pengguna seluler di dunia nyata.

2. Mengembangkan penelitian sehingga dapat menghasilkan solusi yang lebih baik, misal dengan menggabungkan algoritma DE dengan algoritma yang lain.
3. Perlu dilakukan penelitian lebih lanjut untuk perancangan kebutuhan jaringan 4G (LTE) ke depan dalam rangka mengikuti perkembangan teknologi telekomunikasi.

DAFTAR PUSTAKA

- [1] Feronika, Rudy, “konsep-dasar-telekomunikasi-seluler”<URL:<http://rudyferonica.blogspot.com/2013/03/konsep-dasar-telekomunikasi-seluler.html>>, diakses pada tanggal 20 Oktober 2014.
- [2] Sasongko, Erfin, “Perencanaan dan Penataan Menara Telekomunikasi Seluler Bersama di Kabupaten Sidoarjo Menggunakan Mapinfo”, Jurnal Teknik Pomits, Vol. 1, No. 1, (2014) 1-6, Surabaya, 2014.
- [3] Jiworeno, “Penentuan Zona Menara Baru Pada Komunikasi Seluler Dengan Menggunakan *Geographic Information System (GIS)* di Kabupaten Mojokerto”, Jurnal Teknik Pomits, Vol. 1, No. 1, (2014) 1-6, Surabaya, 2014.
- [4] URL:<http://www.ariestarlight.blogspot.com/2013/02/gsm-global-system-for-mobile.html>, diakses pada tanggal 24 Oktober 2014.
- [5] Rizki, Aditya, “Mengenal Jaringan GSM *Global System for Mobile Communication*”, <URL:<http://www.adityarizki.net/2012/03/mengenal-jaringan-gsm-global-system-for-mobile-communication/>>, diakses pada tanggal 20 Oktober 2014.
- [6] Akbar, R., “Konsep Dasar Sistem WCDMA”, Jurnal Teknik Universitas Sumatera Utara, Vol.3, pp. 2-4, 2011.
- [7] Budianto, B., “Analisis Pengaruh Interferensi Terhadap Kapasitas Sel pada Sistem WCDMA”, Jurnal Teknik Universitas Indonesia Vol.7, pp.19-20, Juli, 2009.
- [8] Samsul, “konsep dasar telekomunikasi seluler”, <URL:<http://samsul-nar.blogspot.com/2009/04/konsep-dasar-telekomunikasi-seluler.html>>, diakses pada tanggal 18 Oktober 2014.
- [9] Saputra, K. A., “*Frequency Reuse*”, <URL:<http://www.sapukamil.blogspot.com/2013/01/frekuensi-reuse.htm>>diakses pada tanggal 20 Oktober 2014.
- [10] Saunders, S.R., Zavala, A.A., “*Antennas and Propagation for Wireless Communication System, Second Edition*”, John Wiley & Sons, Ltd, England., 2007.
- [11] Dirjen Kementerian Pekerjaan Umum, “Surat Edaran Direktur Jendral Penataan Ruang Kementerian Pekerjaan Umum Tentang

- Petunjuk Teknis Kriteria Lokasi Menara Telekomunikasi”, Jakarta 2011.
- [12] Jaringan Rekayasa Trafik, “dasar trafik pertemuan kedua”, Suwadi, 2012.
 - [13] Endah, Rizky, “perbedaan rural dan urban”, <URL:<http://rizkyendah.wordpress.com/2013/04/17/perbedaan-rural-dan-urban/>>, diakses pada tanggal 14 Nopember 2014.
 - [14] Feoktistov, V. (2006). Differential Evolution: In Search of Solutions. Springer Optimizationand Its Application, Vol.5. Springer, New York.
 - [15] Fleetwood, K. *An Introduction to Differential Evolution*. <URL:<http://www.maths.uq.edu.au/MASCOS/Multi-Agent04/Fleetwood.pdf>> diakses pada tanggal 11 September 2014.
 - [16] Santosa, B., Willy, P., “Metoda Metaheuristik Konsep dan Implementasi”, Penerbit Guna Widya, Surabaya, April 2011.
 - [17] Price, K.V, Storn, R.M., and Lampinen, J.A. (2005). Differential Evolution: A Practical Approach to Global Optimization. Natural Computing Series. Springer-Verlag, Berlin.
 - [18] Storn, R., dan Price, K. (1997). *Differential Evolution – A Simple and Efficient Heuristic for Global Optimization over Continuous Spaces*.Journal of Global Optimization, Vol.11, pp.341-359. Kluwer Academic Publishers.
 - [19] Badan Koordinasi Survei dan Pemetaan Nasional, “RTRW Kabupaten Mojokerto tahun 2012-2032”, Desember 2012.
 - [20] Bakorsurtanal, “Peta Kabupaten Mojokerto”, Maret 2014.
 - [21] BPS Mojokerto, “Kabupaten Mojokerto Dalam Angka”, ISSN : 0215.4358, No. Publikasi / Publication Number : 35165.0113 Juni 2013.
 - [22] ETSI, “GSM 05.05”, 2005
 - [23] ETSI, “EN 301 908-4”, 2004
 - [24] Menkominfo dan Dirjen Postel, “Alokasi Frekuensi GSM DAN CDMA”, Januari 2010.
 - [25] Kementerian Komunikasi dan Informatika, “Indikator TIK Indonesia”, Januari 2011.
 - [26] Wolfram, MathWorld, “Circle Circle Intersection”, <URL:<http://mathworld.wolfram.com/Circle-CircleIntersection.html>>diakses pada tanggal 13 Oktober 2014.

- [27] Fachrie, M., “*Implementasi Fuzzy Evolutionary Algorithms Untuk Penentuan Posisi Base Transceiver Station (BTS)*”, Seminar Nasional Aplikasi Teknologi Informasi, ISSN:1907-5022, Yogyakarta, 2012.
- [28] Fahmiari Irmaduta, dan Santoso Budi. “*Aplikasi Algoritma Differential Evolution Untuk Permasalahan Kompleks Pemilihan Portofolio*”. Jurnal , Jurusan Teknik Industri, Fakultas Teknik Industri, ITS, Surabaya.

LAMPIRAN

Usulan Tugas Akhir

Jurusan Teknik Elektro
Fakultas Teknologi Industri - ITS

TE 141599 TUGAS AKHIR – 4 SKS

Nama Mahasiswa : Ahadi Arif Nugraha
Nomor Pokok : 2212106090
Bidang Studi : Telekomunikasi Multimedia
Tugas Diberikan : Semester Gasal 2014/2015
Dosen Pembimbing : Dr. Ir. Achmad Mauludiyanto, MT.
Judul Tugas Akhir : *Optimasi Peletakan Base Transceiver Station di Kabupaten Mojokerto Menggunakan Algoritma Differential Evolution (Base Transceiver Station locating Optimization in Kabupaten Mojokerto Using Differential Evolution Algorithm)*

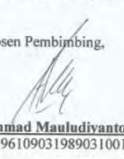
26 SEP 2014

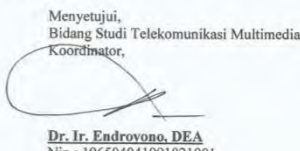
Uraian Tugas Akhir :

Salah satu aspek penting dalam perencanaan infrastruktur sistem komunikasi seluler adalah penentuan lokasi *Base Transceiver Station* (BTS). Performa komunikasi seluler dapat dinilai dari cakupan area (*Coverage Area*) dan tingkat layanan trafik yang dapat dilayani. Untuk dapat mencapai performa yang bagus, maka perlu dilakukan optimasi lokasi BTS yang tepat sehingga dapat memaksimalkan cakupan area dan trafik pelanggan seluler.

Differential Evolution (DE) merupakan salah satu algoritma evolusioner yang memiliki performansi lebih baik daripada algoritma evolusioner yang lain seperti *genetic algorithm (GA)*. DE menyempurnakan kekurangan dari algoritma evolusioner lainnya dengan strategi optimasi sederhana untuk proses optimasi yang cepat, yaitu waktu perhitungan cepat dengan iterasi yang sedikit untuk menemukan optimal global solution. Metodi ini merupakan evolusi dari *genetic algorithm (GA)* dengan mengganti operator logika dengan operator matematis. Dalam penelitian ini diharapkan dapat menerapkan algoritma *Differential Evolution* untuk menemukan solusi optimum peletakan BTS di Kabupaten Mojokerto dan membandingkan dengan metode manual biasa.

Dosen Pembimbing,


Dr. Ir. Achmad Mauludiyanto, MT.
Nip : 196109031989031001



LAMPIRAN

Lembar Monitoring Tugas Akhir



ITS
Institut
Teknologi
Sepuluh Nopember

Kampus ITS Gedung B & C Sukolilo Surabaya - 60111

Telp. (031) 594 7302, 5994251 s/d 54 Pes. 1206

Fax. (031) 5931237

e-mail : elits@ee.its.ac.id

Website: http://www.ee.its.ac.id

MONITORING KEGIATAN TUGAS AKHIR

Nama Mahasiswa

Judul Tugas Akhir

: Andri Anif Nugraha.

Nrp 2212106090

: Optimalisasi Pelatihan Base Transceiver Station di Kabupaten Magetan
Menggunakan Algoritma Differential Evolution.

Bulan Proposal Disahkan : 23 September 2014.

Dosen Pembimbing 1 : Dr. Ir. Achmed Maulidiyanto, M.T.

NIP 196109031989051001

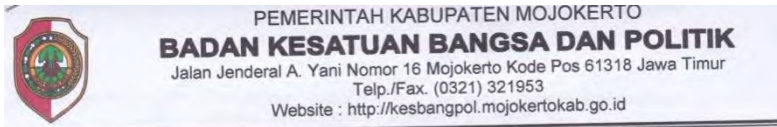
Dosen Pembimbing 2 :

NIP

| No | Tanggal | Uraian Kegiatan | Tanda Tangan | | | Keterangan |
|----|------------|---|----------------|----------------|-----------|------------|
| | | | Pembimbing (1) | Pembimbing (2) | Mahasiswa | |
| 1 | 2/10/2014 | Penerimaan tugas tugas | | | | |
| 2 | 9/10/2014 | Mengerjakan tugas tugas ke dalam rumus matematis | | | | |
| 3 | 16/10/2014 | Menghitung jarak antar titik koordinat BTS | | | | |
| 4 | 23/10/2014 | Menghitung luas irisan antar BTS | | | | |
| 5 | 6/11/2014 | Uji coba performansi algoritma differential evolution | | | | |
| 6 | 13/11/2014 | Desain program DE | | | | |
| 7 | 20/11/2014 | Uji coba hasil kerja program | | | | |
| 8 | 27/11/2014 | Review program DE | | | | |
| 9 | 04/12/2014 | Optimasi kecamatan tahap 1 | | | | |
| 10 | 11/12/2014 | Optimasi kecamatan tahap 2 | | | | |
| 11 | 18/12/2014 | Optimasi kecamatan tahap 3 | | | | |
| 12 | 20/12/2014 | Optimasi kecamatan tahap 4 | | | | |
| 13 | 23/12/2014 | Desain bahan TA bab 1,2,3 | | | | |
| 14 | 24/12/2014 | Desain bahan TA bab 4 | | | | |
| 15 | 29/12/2014 | Menunjukkan hasil akhir bahan TA | | | | |
| 16 | 30/12/2014 | Persetujuan Sifang TA | | | | |

LAMPIRAN

Surat Rekomendasi Penelitian



REKOMENDASI PENELITIAN/SURVEY/KEGIATAN

Nomor : 070/ 481 /416-206/2014

- Dasar :
1. Undang-undang Republik Indonesia Nomor 18 Tahun 2002 tentang Sistem Nasional Penelitian, Pengembangan, dan Penerapan Ilmu Pengetahuan dan Teknologi;
 2. Undang-Undang Republik Indonesia Nomor 32 Tahun 2004 tentang Pemerintahan Daerah, sebagaimana telah diubah beberapa kali, terakhir dengan Undang-Undang Nomor 12 Tahun 2008;
 3. Peraturan Menteri Dalam Negeri Republik Indonesia Nomor 20 Tahun 2011 tentang Pedoman Penelitian dan Pengembangan di Lingkungan Kementerian Dalam Negeri dan Pemerintahan Daerah;
 4. Peraturan Menteri Dalam Negeri Republik Indonesia Nomor 64 Tahun 2011 tentang Pedoman Penerbitan Rekomendasi Penelitian;
 5. Peraturan Bupati Mojokerto Nomor 66 Tahun 2012 Tentang Penjabaran Tugas Pokok dan Fungsi Organisasi dan Tata Kerja Badan Kesatuan Bangsa dan Politik Kabupaten Mojokerto.

- Menimbang :
- a. bahwa untuk tertib administrasi dan pengendalian pelaksanaan Penelitian/ Survey/ Research/KKL/KKN dan pengembangan perlu diterbitkan rekomendasi Penelitian/ Survey/Research/KKL/KKN;
 - b. bahwa sesuai surat dari Badan Kesatuan Bangsa dan Politik Provinsi Jawa Timur, nomor : 070/10706/203.3/2014, tanggal 24 November 2014 perihal Rekomendasi Penelitian/Survei/Kegiatan;
 - c. bahwa sesuai disposisi Asisten Bidang Pemerintahan dan Kesejahteraan Rakyat Sekretariat Daerah Kabupaten Mojokerto, nomor : 072/13753/416-206/2014, tanggal 12 Nopember 2014;
 - d. bahwa sesuai pertimbangan dari Dinas Pendapatan Kabupaten Mojokerto, Nomor : 070/2400/416-115.1/2014, tanggal 28 Nopember 2014 perihal Tidak Keberatan Dilaksanakan Penelitian;
 - e. bahwa sesuai konsideran huruf a, b, c, dan d, serta hasil verifikasi Badan Kesatuan Bangsa dan Politik Kabupaten Mojokerto, berkas persyaratan administrasi penelitian telah memenuhi syarat sesuai Pasal 4, 5, dan 6 Peraturan Menteri Dalam Negeri Republik Indonesia Nomor 64 Tahun 2011 tentang Pedoman Penerbitan Rekomendasi Penelitian.

Bupati Mojokerto, memberikan rekomendasi kepada :

- | | | |
|--|---|---|
| a. Nama Peneliti/Penanggungjawab | : | Adahi Arif Nugraha |
| b. Alamat Peneliti/ Penanggungjawab dan Nomor Telp./HP | : | Keputih Gang Makam Blok F No. 2, Sukolilo, Surabaya / 085785166852 |
| c. Instansi/Civitas/Organisasi | : | Institut Teknologi Sepuluh Nopember Surabaya |
| d. Pekerjaan | : | Mahasiswa |
| e. Kebangsaan | : | Indonesia |

LAMPIRAN
Data Menara Eksisting 2014

| No. | Longitude | Latitude | Kecamatan | Tinggi Menara (m) | Pemilik Menara | Operator 1 | Operator 2 | Operator 3 | Operator 4 |
|-----|------------|-----------|-----------|-------------------|------------------------------|------------------------|------------|---------------|------------|
| 1 | 112,404000 | -7,470120 | sooko | 50 | Indosat | indosat | Xl Axiata | Telkomseluler | Kosong |
| 2 | 112,420000 | -7,402660 | jetis | 70 | Indosat | Telkomsel | Kosong | Kosong | Kosong |
| 3 | 112,392000 | -7,498110 | trowulan | 55 | Indosat | Telkomsel | Kosong | Kosong | Kosong |
| 4 | 112,413000 | -7,489670 | sooko | 52 | Indosat | Telkomsel | Kosong | Kosong | Kosong |
| 5 | 112,419500 | -7,515410 | sooko | 45 | PT Protelindo | Indosat | Telkomsel | Kosong | Kosong |
| 6 | 112,424500 | -7,492310 | puri | 45 | PT Protelindo | HCPT | Telkomsel | XL axiata | Kosong |
| 7 | 112,415500 | -7,520830 | sooko | 40 | PT Protelindo | HCPT | Telkomsel | Kosong | Kosong |
| 8 | 112,419000 | -7,500300 | sooko | 51 | Pt Axiata | Telkomsel | Xl Axiata | Kosong | Kosong |
| 9 | 112,396500 | -7,517800 | trowulan | 42 | Pt Tower Bersama Group | indosat | Telkomsel | Kosong | Kosong |
| 10 | 112,406000 | -7,522610 | sooko | 40 | Pt dian Swastika Sentosa | Indofarma Microselindo | Kosong | Kosong | Kosong |
| 11 | 112,407700 | -7,530830 | trowulan | 70 | Pt STP/ Sampoerna | Xl axiata | Axis | Kosong | Kosong |
| 12 | 112,422800 | -7,515178 | puri | 72 | Kosong | Xl axiata | indosat | Kosong | Kosong |
| 13 | 112,496800 | -7,570610 | dlanggu | 42 | Kosong | Xl axiata | Kosong | Kosong | Kosong |
| 14 | 112,435317 | -7,500138 | puri | 42 | Kosong | esia | Flexi | Smart fren | Kosong |
| 15 | 112,417219 | -7,483490 | sooko | 60 | Kosong | Xl axiata | HCPT | Kosong | Kosong |
| 16 | 112,431000 | -7,555590 | puri | 72 | Telkomsel | Telkomsel | Kosong | Kosong | Kosong |
| 17 | 112,463000 | -7,529710 | puri | 62 | Telkomsel | Telkomsel | Kosong | Kosong | Kosong |
| 18 | 112,438000 | -7,491340 | puri | 72 | Telkomsel | Flexi | Esia | Telkomseluler | Kosong |
| 19 | 112,448000 | -7,492810 | mojoanyar | 52 | Indosat | Xl axiata | HCPT | Kosong | Kosong |
| 20 | 112,459000 | -7,545630 | dlanggu | 72 | Indosat | Indosat | Kosong | Kosong | Kosong |
| 21 | 112,439000 | -7,484060 | puri | 52 | Indosat | Telkomsel | Kosong | Kosong | Kosong |
| 22 | 112,435000 | -7,553900 | puri | 52 | Pt Daya Mitra Telekomunikasi | HCPT | Flexi | Telkomseluler | Kosong |
| 23 | 112,447000 | -7,494300 | mojoanyar | 51 | Pt XI Axiata | HCPT | Xl Axiata | Kosong | Kosong |
| 24 | 112,432000 | -7,509100 | puri | 42 | Pt Konsorsium Komet | Flexi | Smart Fren | Esia | Kosong |
| 25 | 112,438000 | -7,507400 | puri | 52 | Pt Tower Bersama Group | HCPT | Kosong | Kosong | Kosong |
| 26 | 112,448300 | -7,492900 | mojoanyar | 42 | Pt Tower Bersama Group | Indosat | Kosong | Kosong | Kosong |
| 27 | 112,494000 | -7,498290 | bangsal | 72 | Telkomsel | Telkomsel | Kosong | Kosong | Kosong |

| | | | | | | | | | |
|----|------------|-----------|----------------|----|---------------------------|-----------|--------------|---------------|---------|
| 28 | 112,477000 | -7,498470 | bangsal | 52 | Indosat | Xl axiata | Axis | Kosong | Kosong |
| 29 | 112,496000 | -7,500410 | bangsal | 72 | Indosat | Axis | Xl Axiata | Kosong | Kosong |
| 30 | 112,499000 | -7,498530 | bangsal | 45 | PT Protelindo | esia | HCPT | Kosong | Kosong |
| 31 | 112,476000 | -7,498190 | bangsal | 45 | PT Protelindo | Indosat | Kosong | Kosong | Kosong |
| 32 | 112,516300 | -7,515110 | bangsal | 62 | PT Protelindo | Indosat | Telkomsel | HCPT | Kosong |
| 33 | 112,496000 | -7,500200 | bangsal | 51 | Pt XI Axiata | Indosat | Kosong | Kosong | Kosong |
| 34 | 112,486000 | -7,497900 | bangsal | 52 | Pt Konsorsium Komet | esia | Frend | telkom Flexi | Kosong |
| 35 | 112,519000 | -7,501500 | bangsal | 42 | Pt Tower Bersama Group | HCPT | Telkomsel | Kosong | Kosong |
| 36 | 112,489000 | -7,502350 | bangsal | 52 | Pt axis telecom indonesia | Axis | Kosong | Kosong | Kosong |
| 37 | 112,488000 | -7,501960 | bangsal | 40 | Pt dian Swastika Sentosa | Bistel | Kosong | Kosong | Kosong |
| 38 | 112,457800 | -7,494160 | mojoanyar | 52 | Indosat | Axis | Telkomsel | XL axiata | Indosat |
| 39 | 112,485100 | -7,480400 | mojoanyar | 52 | PT Protelindo | Telkomsel | Kosong | Kosong | Kosong |
| 40 | 112,503000 | -7,483100 | bangsal | 62 | Pt Tower Bersama Group | Indosat | Kosong | Kosong | Kosong |
| 41 | 112,484400 | -7,472500 | mojoanyar | 52 | Pt Tower Bersama Group | Indosat | Telkomsel | HCPT | Kosong |
| 42 | 112,460100 | -7,456070 | mojoanyar | 42 | Pt Naragita | Telkomsel | Xl Axiata | Indosat | Kosong |
| 43 | 112,467453 | -7,451256 | mojoanyar | 55 | Kosong | Xl axiata | Kosong | Kosong | Kosong |
| 44 | 112,513430 | -7,490490 | bangsal | 55 | Kosong | Indosat | Kosong | Kosong | Kosong |
| 45 | 112,510970 | -7,492860 | bangsal | 62 | Kosong | Flexi | indosat | Telkomseluler | Esia |
| 46 | 112,399000 | -7,426000 | gedek | 62 | Telkomsel | Axis | Telkomsel | Kosong | Kosong |
| 47 | 112,411000 | -7,455050 | gedek | 62 | Telkomsel | HCPT | Telkomsel | Kosong | Kosong |
| 48 | 112,420000 | -7,453470 | gedek | 52 | Indosat | HCPT | indosat | Kosong | Kosong |
| 49 | 112,392000 | -7,451060 | gedek | 72 | Indosat | indosat | HCPT | Kosong | Kosong |
| 50 | 112,387800 | -7,455550 | gedek | 55 | PT Protelindo | Xl axiata | HCPT | Telkomseluler | Kosong |
| 51 | 112,432300 | -7,455590 | gedek | 45 | PT Protelindo | indosat | Telkomsel | Smart fren | Kosong |
| 52 | 112,397000 | -7,425700 | gedek | 51 | Pt XI Axiata | Xl axiata | HCPT | Telkomseluler | Kosong |
| 53 | 112,397000 | -7,454500 | gedek | 52 | Pt Konsorsium Komet | fren | Telkom flexi | Kosong | Kosong |
| 54 | 112,432000 | -7,455800 | gedek | 62 | Pt Tower Bersama Group | HCPT | Kosong | Kosong | Kosong |
| 55 | 112,366300 | -7,453600 | gedek | 52 | Pt Tower Bersama Group | Telkomsel | TBG | Kosong | Kosong |
| 56 | 112,427100 | -7,430800 | gedek | 72 | Pt Tower Bersama Group | Xl axiata | HCPT | Telkomseluler | Indosat |
| 57 | 112,415400 | -7,348800 | dawar blandong | 60 | Kosong | Xl axiata | Xl axiata | Kosong | Kosong |
| 58 | 112,426000 | -7,399140 | jetis | 72 | Telkomsel | Telkomsel | Kosong | Kosong | Kosong |

| | | | | | | | | | |
|----|------------|-----------|----------------|----|------------------------------|---------------|--------------|---------------|--------|
| 59 | 112,456000 | -7,445430 | mojoanyar | 62 | Telkomsel | indosat | Telkomsel | Kosong | Kosong |
| 60 | 112,475000 | -7,404530 | jetis | 72 | Indosat | indosat | Kosong | Kosong | Kosong |
| 61 | 112,435000 | -7,400510 | jetis | 72 | Indosat | indosat | Kosong | Kosong | Kosong |
| 62 | 112,435200 | -7,433510 | gedek | 40 | Indosat | indosat | Kosong | Kosong | Kosong |
| 63 | 112,472400 | -7,412500 | jetis | 62 | PT Protelindo | Telkom fleksi | HCPT | Kosong | Kosong |
| 64 | 112,475300 | -7,404190 | jetis | 50 | PT Protelindo | Xl axiata | Protelindo | Kosong | Kosong |
| 65 | 112,426667 | -7,421930 | gedek | 32 | Pt Daya Mitra Telekomunikasi | Telkom fleksi | Kosong | Kosong | Kosong |
| 66 | 112,428000 | -7,399700 | jetis | 51 | Pt XI Axiata | esia | fleksi | Indosat | Kosong |
| 67 | 112,427000 | -7,398300 | jetis | 62 | Pt Konsorsium Komet | Smart fren | Telkom flexi | Kosong | Kosong |
| 68 | 112,406000 | -7,422700 | jetis | 52 | Pt Tower Bersama Group | indosat | Kosong | Kosong | Kosong |
| 69 | 112,492000 | -7,409200 | jetis | 52 | Pt axis telecom indonesia | Axis | Kosong | Kosong | Kosong |
| 70 | 112,437000 | -7,401200 | jetis | 40 | Pt dian Swastika Sentosa | Xl axiata | indosat | Telkomseluler | Kosong |
| 71 | 112,450589 | -7,351190 | dawar blandong | 50 | Pt dian Swastika Sentosa | Xl axiata | indosat | Kosong | Kosong |
| 72 | 112,433789 | -7,336460 | dawar blandong | 60 | Kosong | Xl axiata | Telkomsel | Kosong | Kosong |
| 73 | 112,433925 | -7,352800 | dawar blandong | 42 | Kosong | indosat | Telkomsel | Kosong | Kosong |
| 74 | 112,377000 | -7,395690 | kem lagi | 72 | Telkomsel | Telkomsel | Kosong | Kosong | Kosong |
| 75 | 112,353000 | -7,453140 | gedek | 72 | Telkomsel | Telkomsel | indosat | Kosong | Kosong |
| 76 | 112,385000 | -7,396270 | kem lagi | 72 | Indosat | indosat | Xl Axiata | HCPT | Kosong |
| 77 | 112,377000 | -7,395900 | kem lagi | 50 | Pt XI Axiata | HCPT | Kosong | Kosong | Kosong |
| 78 | 112,377000 | -7,428700 | kem lagi | 42 | Pt Tower Bersama Group | indosat | Telkomsel | Kosong | Kosong |
| 79 | 112,397300 | -7,422800 | gedek | 52 | Pt Tower Bersama Group | indosat | fleksi | telkomseluler | Kosong |
| 80 | 112,357000 | -7,431020 | kem lagi | 50 | Pt dian Swastika Sentosa | Xl axiata | Axis | HCPT | Kosong |
| 81 | 112,371000 | -7,342100 | dawar blandong | 72 | Telkomsel | Telkomsel | Kosong | Kosong | Kosong |
| 82 | 112,425000 | -7,329910 | dawar blandong | 72 | Telkomsel | Telkomsel | Kosong | Kosong | Kosong |
| 83 | 112,477000 | -7,327240 | dawar blandong | 72 | Telkomsel | Telkomsel | Kosong | Kosong | Kosong |
| 84 | 112,458000 | -7,348800 | dawar blandong | 62 | Telkomsel | Telkomsel | Kosong | Kosong | Kosong |
| 85 | 112,425000 | -7,330850 | dawar blandong | 72 | Indosat | Telkomsel | indosat | Esia | Kosong |
| 86 | 112,361000 | -7,339850 | dawar blandong | 72 | Indosat | indosat | Kosong | Kosong | Kosong |
| 87 | 112,423970 | -7,328390 | dawar blandong | 72 | Indosat | indosat | Kosong | Kosong | Kosong |
| 88 | 112,387800 | -7,334580 | dawar blandong | 50 | PT Protelindo | Xl axiata | Kosong | Kosong | Kosong |
| 89 | 112,425000 | -7,333000 | dawar blandong | 51 | Pt XI Axiata | HCPT | HCPT | HCPT | Kosong |

| | | | | | | | | | |
|-----|------------|-----------|----------------|----|------------------------------|---------------|---------------|------------|--------|
| 90 | 112,369000 | -7,342200 | dawar blandong | 72 | Pt axis telecom indonesia | axis | Kosong | Kosong | Kosong |
| 91 | 112,424700 | -7,329410 | dawar blandong | 62 | Pt STP/ Sampoerna | axis | Kosong | Kosong | Kosong |
| 92 | 112,434300 | -7,384940 | dawar blandong | 72 | Kosong | indosat | Smart Fren | Kosong | Kosong |
| 93 | 112,562000 | -7,508530 | mojosari | 72 | Telkomsel | telkomsel | indosat | westindo | Kosong |
| 94 | 112,534000 | -7,500840 | mojosari | 42 | Telkomsel | telkomsel | HCPT | Kosong | Kosong |
| 95 | 112,530000 | -7,505250 | mojosari | 55 | Indosat | HCPT | Kosong | Kosong | Kosong |
| 96 | 112,550600 | -7,511170 | mojosari | 45 | PT Protelindo | HCPT | Kosong | Kosong | Kosong |
| 97 | 112,544000 | -7,504480 | mojosari | 52 | PT Protelindo | Telkomsel | Kosong | Kosong | Kosong |
| 98 | 112,566100 | -7,513800 | pungging | 42 | Pt Daya Mitra Telekomunikasi | esia | HCPT | Kosong | Kosong |
| 99 | 112,554000 | -7,534100 | mojosari | 50 | Pt XI Axiata | telkomsel | indosat | HCPT | axis |
| 100 | 112,555000 | -7,513200 | mojosari | 72 | Pt XI Axiata | XI axiata | Kosong | Kosong | Kosong |
| 101 | 112,564000 | -7,524200 | mojosari | 72 | Pt Tower Bersama Group | indosat | Telkomsel | Smart fren | Kosong |
| 102 | 112,554300 | -7,534000 | mojosari | 52 | Pt Tower Bersama Group | Telkomsel | Kosong | Kosong | Kosong |
| 103 | 112,566200 | -7,512800 | pungging | 62 | Pt Tower Bersama Group | esia | HCPT | Kosong | Kosong |
| 104 | 112,550335 | -7,508896 | mojosari | 50 | Pt dian Swastika Sentosa | bistel | Kosong | Kosong | Kosong |
| 105 | 112,554500 | -7,533290 | mojosari | 52 | Pt Retower Indonesia | XI axiata | Kosong | Kosong | Kosong |
| 106 | 112,552248 | -7,517047 | mojosari | 72 | Kosong | HCPT | Telkom fleksi | Kosong | Kosong |
| 107 | 112,545000 | -7,544700 | pungging | 52 | Telkomsel | Telkomsel | Kosong | Kosong | Kosong |
| 108 | 112,564000 | -7,494000 | pungging | 52 | Telkomsel | Telkomsel | Kosong | Kosong | Kosong |
| 109 | 112,588000 | -7,527070 | pungging | 72 | Telkomsel | Telkomsel | Kosong | Kosong | Kosong |
| 110 | 112,561000 | -7,478200 | pungging | 72 | Indosat | indosat | Kosong | Kosong | Kosong |
| 111 | 112,561000 | -7,535040 | pungging | 72 | Indosat | indosat | Kosong | Kosong | Kosong |
| 112 | 112,578300 | -7,525680 | pungging | 70 | PT Protelindo | XI axiata | indosat | HCPT | Kosong |
| 113 | 112,561800 | -7,526620 | mojosari | 45 | PT Protelindo | HCPT | Kosong | Kosong | Kosong |
| 114 | 112,562440 | -7,526320 | mojosari | 52 | Pt Daya Mitra Telekomunikasi | Kosong | Kosong | Kosong | Kosong |
| 115 | 112,556200 | -7,562600 | pungging | 72 | Pt Tower Bersama Group | telkomsel | Kosong | Kosong | Kosong |
| 116 | 112,595400 | -7,527900 | pungging | 50 | Pt Tower Bersama Group | indosat | Kosong | Kosong | Kosong |
| 117 | 112,570000 | -7,520030 | pungging | 62 | Pt axis telecom indonesia | axis | Kosong | Kosong | Kosong |
| 118 | 112,416680 | -7,326450 | dawar blandong | 62 | Kosong | telkom fleksi | Kosong | Kosong | Kosong |
| 119 | 112,657000 | -7,566980 | ngoro | 52 | Telkomsel | Telkomsel | Kosong | Kosong | Kosong |
| 120 | 112,588000 | -7,568810 | ngoro | 72 | Telkomsel | Telkomsel | Kosong | Kosong | Kosong |

| | | | | | | | | | |
|-----|------------|-----------|----------|----|------------------------------|---------------|---------------|---------------|--------|
| 121 | 112,615000 | -7,554920 | ngoro | 72 | Telkomsel | Telkomsel | Kosong | Kosong | Kosong |
| 122 | 112,589000 | -7,572280 | ngoro | 52 | Indosat | indosat | Kosong | Kosong | Kosong |
| 123 | 112,633500 | -7,559130 | ngoro | 53 | PT Protelindo | indosat | Kosong | Kosong | Kosong |
| 124 | 112,615700 | -7,532860 | ngoro | 53 | PT Protelindo | HCPT | Xl Axiata | Kosong | Kosong |
| 125 | 112,614300 | -7,554400 | ngoro | 52 | Pt Daya Mitra Telekomunikasi | Kosong | Kosong | Kosong | Kosong |
| 126 | 112,613200 | -7,534400 | ngoro | 42 | Pt Daya Mitra Telekomunikasi | Kosong | Kosong | Kosong | Kosong |
| 127 | 112,578710 | -7,599300 | trawas | 42 | Pt Daya Mitra Telekomunikasi | telkomsel | telkom fleksi | Kosong | Kosong |
| 128 | 112,623000 | -7,554700 | ngoro | 50 | Pt XI Axiata | Xl axiata | Xl axiata | Xl axiata | Kosong |
| 129 | 112,633000 | -7,559300 | ngoro | 72 | Pt Tower Bersama Group | Telkomsel | Kosong | Kosong | Kosong |
| 130 | 112,559288 | -7,633412 | pacet | 42 | Pt Tower Bersama Group | Telkomsel | indosat | axis | Kosong |
| 131 | 112,631000 | -7,559530 | ngoro | 52 | Pt axis telecom indonesia | axis | Kosong | Kosong | Kosong |
| 132 | 112,655000 | -7,568280 | ngoro | 50 | Pt dian Swastika Sentosa | indosat | Telkomsel | Kosong | Kosong |
| 133 | 112,617000 | -7,568740 | ngoro | 50 | Pt dian Swastika Sentosa | esia | Smart Fren | telkom Flexi | Kosong |
| 134 | 112,640833 | -7,556389 | ngoro | 60 | Kosong | fleksi | telkomsel | Kosong | Kosong |
| 135 | 112,565623 | -7,656986 | pacet | 62 | Kosong | HCPT | fleksi | Kosong | Kosong |
| 136 | 112,565847 | -7,654182 | pacet | 72 | Kosong | indosat | Kosong | Kosong | Kosong |
| 137 | 112,569288 | -7,633412 | trawas | 60 | Kosong | Xl axiata | Smart Fren | Kosong | Kosong |
| 138 | 112,416000 | -7,589000 | jatirejo | 72 | Telkomsel | telkomsel | Kosong | Kosong | Kosong |
| 139 | 112,431000 | -7,591150 | jatirejo | 72 | Indosat | indosat | Kosong | Kosong | Kosong |
| 140 | 112,418000 | -7,581600 | jatirejo | 51 | Pt XI Axiata | mobile 8 | HCPT | telkom | Kosong |
| 141 | 112,417600 | -7,581400 | jatirejo | 52 | Pt Tower Bersama Group | Xl axiata | Axis | Kosong | Kosong |
| 142 | 112,451000 | -7,583390 | jatirejo | 50 | Pt dian Swastika Sentosa | Smart fren | Smart Fren | Kosong | Kosong |
| 143 | 112,491000 | -7,613260 | gondang | 72 | Telkomsel | telkomsel | Kosong | Kosong | Kosong |
| 144 | 112,457000 | -7,601560 | gondang | 72 | Telkomsel | Telkomsel | flexi | Kosong | Kosong |
| 145 | 112,490000 | -7,612310 | gondang | 72 | Indosat | indosat | Kosong | Kosong | Kosong |
| 146 | 112,475000 | -7,610240 | gondang | 52 | PT Protelindo | HCPT | Smart Fren | Kosong | Kosong |
| 147 | 112,489000 | -7,613060 | gondang | 51 | Pt XI Axiata | Xl axiata | Axis | Kosong | Kosong |
| 148 | 112,496000 | -7,624460 | gondang | 72 | Pt Telkom indonesia | telkom fleksi | telkom fleksi | Kosong | Kosong |
| 149 | 112,594755 | -7,606168 | trawas | 62 | Kosong | Telkomsel | Kosong | Kosong | Kosong |
| 150 | 112,568000 | -7,676700 | | 42 | Telkomsel | Telkomsel | Kosong | Kosong | Kosong |
| 151 | 112,536000 | -7,644720 | pacet | 42 | Telkomsel | indosat | Telkomsel | telkomseluler | Kosong |

| | | | | | | | | | |
|-----|------------|-----------|----------|----|------------------------------|------------------|---------------|------------|--------|
| 152 | 112,536579 | -7,667439 | pacet | 72 | Telkomsel | Telkomsel | Kosong | Kosong | Kosong |
| 153 | 112,588928 | -7,534562 | pungging | 72 | Indosat | Indosat | Kosong | Kosong | Kosong |
| 154 | 112,567000 | -7,674550 | pacet | 55 | Indosat | Indosat | Kosong | Kosong | Kosong |
| 155 | 112,536000 | -7,641500 | pacet | 52 | Indosat | axis | Kosong | Kosong | Kosong |
| 156 | 112,537900 | -7,601300 | pacet | 50 | PT Protelindo | fleksi | telkom | Kosong | Kosong |
| 157 | 112,531111 | -7,601230 | pacet | 52 | Pt Daya Mitra Telekomunikasi | indosat | Telkomsel | Xl axiata | Kosong |
| 158 | 112,537000 | -7,664920 | pacet | 32 | Pt Daya Mitra Telekomunikasi | telkom fleksi | Kosong | Kosong | Kosong |
| 159 | 112,537000 | -7,663780 | pacet | 32 | Pt Daya Mitra Telekomunikasi | esia | Kosong | Kosong | Kosong |
| 160 | 112,540000 | -7,664900 | pacet | 50 | Pt XI Axiata | Xl axiata | HCPT | Kosong | Kosong |
| 161 | 112,532834 | -7,601063 | pacet | 52 | Pt Tower Bersama Group | Xl axiata | Kosong | Kosong | Kosong |
| 162 | 112,568000 | -7,676700 | pacet | 62 | Pt Tower Bersama Group | telkomsel | Kosong | Kosong | Kosong |
| 163 | 112,536000 | -7,637360 | pacet | 52 | Pt axis telecom indonesia | axis | Kosong | Kosong | Kosong |
| 164 | 112,541000 | -7,652610 | pacet | 60 | Pt dian Swastika Sentosa | Xl axiata | HCPT | Smart fren | Kosong |
| 165 | 112,580331 | -7,667670 | trawas | 42 | Kosong | telkom indonesia | Telkomsel | Kosong | Kosong |
| 166 | 112,592000 | -7,625610 | trawas | 42 | Telkomsel | telkomsel | Kosong | Kosong | Kosong |
| 167 | 112,595000 | -7,666050 | trawas | 72 | Telkomsel | Xl axiata | indosat | Kosong | Kosong |
| 168 | 112,609000 | -7,678260 | trawas | 72 | Telkomsel | telkomsel | Kosong | Kosong | Kosong |
| 169 | 112,601000 | -7,666880 | trawas | 72 | Indosat | indosat | telkom | Kosong | Kosong |
| 170 | 112,561000 | -7,595660 | ngoro | 72 | Indosat | indosat | Esia | Kosong | Kosong |
| 171 | 112,611000 | -7,565580 | ngoro | 55 | Indosat | axis | Xl Axiata | Kosong | Kosong |
| 172 | 112,611000 | -7,670300 | trawas | 50 | Pt XI Axiata | HCPT | Xl Axiata | axis | Kosong |
| 173 | 112,608000 | -7,654300 | trawas | 62 | Pt Tower Bersama Group | indosat | indosat | Kosong | Kosong |
| 174 | 112,595600 | -7,666100 | trawas | 62 | Pt Tower Bersama Group | telkomsel | telkom fleksi | Kosong | Kosong |
| 175 | 112,608800 | -7,680600 | trawas | 62 | Pt Tower Bersama Group | Xl axiata | indosat | axis | Kosong |
| 176 | 112,575000 | -7,630130 | trawas | 52 | Pt Tower Bersama Group | Xl axiata | indosat | Kosong | Kosong |
| 177 | 112,598000 | -7,660640 | trawas | 72 | Pt axis telecom indonesia | axis | axis | Kosong | Kosong |
| 178 | 112,609000 | -7,677530 | trawas | 45 | Pt STP/ Sampoerna | Xl axiata | Kosong | Kosong | Kosong |
| 179 | 112,608000 | -7,654340 | trawas | 62 | Pt Tower Bersama Group | fleksi | esia | Smart fren | Kosong |
| 180 | 112,609003 | -7,680077 | trawas | 62 | kosong | telkomsel | Smart Fren | Kosong | Kosong |
| 181 | 112,534000 | -7,577930 | kutorejo | 72 | Telkomsel | telkomsel | telkomsel | telkomsel | Kosong |
| 182 | 112,512000 | -7,566760 | kutorejo | 42 | Telkomsel | telkomsel | telkom fleksi | Kosong | Kosong |

| | | | | | | | | | |
|-----|------------|-----------|----------|----|------------------------------|---------------|-----------|--------------|--------|
| 183 | 112,512000 | -7,532310 | kutorejo | 72 | Telkomsel | telkomsel | telkom | Kosong | Kosong |
| 184 | 112,536000 | -7,563560 | kutorejo | 72 | Indosat | telkomsel | Kosong | Kosong | Kosong |
| 185 | 112,510000 | -7,532080 | kutorejo | 72 | Indosat | indosat | HCPT | Kosong | Kosong |
| 186 | 112,523000 | -7,567400 | kutorejo | 51 | Pt XI Axiata | XI axiata | XI axiata | Kosong | Kosong |
| 187 | 112,434318 | -7,536694 | puri | 70 | Pt XI Axiata | telkomsel | Kosong | Kosong | Kosong |
| 188 | 112,533000 | -7,578240 | kutorejo | 52 | Pt axis telecom indonesia | Smart fren | Axis | Kosong | Kosong |
| 189 | 112,381000 | -7,549990 | trowulan | 42 | Telkomsel | XI axiata | Telkomsel | Kosong | Kosong |
| 190 | 112,393000 | -7,498690 | sooko | 72 | Telkomsel | telkomsel | Kosong | Kosong | Kosong |
| 191 | 112,408000 | -7,531540 | trowulan | 72 | Telkomsel | Smart fren | Esia | telkom Flexi | Kosong |
| 192 | 112,371000 | -7,555990 | trowulan | 55 | Indosat | indosat | HCPT | Kosong | Kosong |
| 193 | 112,381000 | -7,529720 | trowulan | 55 | Indosat | indosat | Telkomsel | Kosong | Kosong |
| 194 | 112,394000 | -7,536020 | trowulan | 72 | Indosat | telkomsel | Axis | Indosat | Kosong |
| 195 | 112,389400 | -7,540920 | trowulan | 65 | PT Protelindo | HCPT | Kosong | Kosong | Kosong |
| 196 | 112,369100 | -7,556650 | trowulan | 45 | PT Protelindo | HCPT | Kosong | Kosong | Kosong |
| 197 | 112,379600 | -7,583000 | trowulan | 50 | PT Protelindo | XI axiata | Kosong | Kosong | Kosong |
| 198 | 112,381944 | -7,514900 | trowulan | 72 | Pt Daya Mitra Telekomunikasi | telkomsel | Kosong | Kosong | Kosong |
| 199 | 112,410000 | -7,532200 | trowulan | 51 | Pt XI Axiata | telkomsel | XI Axiata | Indosat | Kosong |
| 200 | 112,384000 | -7,552900 | trowulan | 72 | Pt Tower Bersama Group | telkom fleksi | HCPT | Kosong | Kosong |
| 201 | 112,411000 | -7,552300 | trowulan | 72 | Pt Tower Bersama Group | indosat | Kosong | Kosong | Kosong |
| 202 | 112,406000 | -7,533020 | trowulan | 52 | Pt axis telecom indonesia | axis | Kosong | Kosong | Kosong |
| 203 | 112,381000 | -7,529910 | trowulan | 55 | Indosat | Smart fren | mobile 8 | Kosong | Kosong |
| 204 | 112,380186 | -7,567818 | trowulan | 62 | Indosat | indosat | Kosong | Kosong | Kosong |
| 205 | 112,483000 | -7,567260 | dlanggu | 72 | Indosat | XI axiata | indosat | telkomsel | Kosong |
| 206 | 112,468326 | -7,567181 | dlanggu | 32 | Pt Daya Mitra Telekomunikasi | indosat | Kosong | Kosong | Kosong |
| 207 | 112,479000 | -7,546200 | dlanggu | 51 | Pt XI Axiata | esia | Telkomsel | XI axiata | Kosong |
| 208 | 112,485000 | -7,570000 | dlanggu | 62 | Pt Konsorsium Komet | telkom fleksi | Kosong | Kosong | Kosong |
| 209 | 112,475000 | -7,528400 | dlanggu | 52 | Pt Tower Bersama Group | indosat | Kosong | Kosong | Kosong |
| 210 | 112,486000 | -7,594800 | dlanggu | 62 | Pt Tower Bersama Group | telkomsel | Kosong | Kosong | Kosong |
| 211 | 112,444600 | -7,569500 | jatirejo | 62 | Pt Tower Bersama Group | indosat | Kosong | Kosong | Kosong |

LAMPIRAN
Radius dan Coverage Data Menara Eksisting 2014

| No | Nama Kecamatan | Jml BTS | | Koordinat Menara | | | | Tinggi menara(m) | Radius 2G rural(meter) | Radius 3G rural(meter) | Luas coverage BTS 2G rural(m2) | Luas coverage BTS 3G rural(m2) |
|----|----------------|---------|----|------------------|------------|------------|------------|------------------|------------------------|------------------------|--------------------------------|--------------------------------|
| | | 2G | 3G | Latitude | Longitude | Vektor (X) | Vektor(Y) | | | | | |
| 1 | Bangsal | 1 | | -7,498290 | 112,494000 | 664850.76 | 9170885.79 | 72 | 1194 | 619 | 4476497,04 | 1203125,54 |
| 2 | Bangsal | 2 | | -7,498470 | 112,477000 | 662974.47 | 9170872.23 | 52 | 1077 | 558 | 3642177,06 | 977682,96 |
| 3 | Bangsal | 2 | | -7,500410 | 112,496000 | 665070.69 | 9170650.59 | 72 | 1194 | 619 | 4476497,04 | 1203125,54 |
| 4 | Bangsal | | 2 | -7,498530 | 112,499000 | 665402.5 | 9170857.37 | 45 | 1029 | 533 | 3324760,74 | 892039,46 |
| 5 | Bangsal | | 1 | -7,498190 | 112,476000 | 662864.21 | 9170903.57 | 45 | 1029 | 533 | 3324760,74 | 892039,46 |
| 6 | Bangsal | 2 | 1 | -7,515110 | 112,516300 | 667305.5 | 9169017.28 | 62 | 1138 | 590 | 4066438,16 | 1093034,00 |
| 7 | Bangsal | 1 | | -7,500200 | 112,496000 | 665070.77 | 9170673.82 | 51 | 1070 | 555 | 3594986,00 | 967198,50 |
| 8 | Bangsal | 3 | | -7,497900 | 112,486000 | 663967.98 | 9170931.91 | 52 | 1077 | 558 | 3642177,06 | 977682,96 |
| 9 | Bangsal | | 2 | -7,501500 | 112,519000 | 667608.7 | 9170521.34 | 42 | 1007 | 522 | 3184113,86 | 855599,76 |
| 10 | Bangsal | 1 | | -7,502350 | 112,489000 | 664297.4 | 9170438.69 | 52 | 1077 | 558 | 3642177,06 | 977682,96 |
| 11 | Bangsal | | 1 | -7,501960 | 112,488000 | 664187.19 | 9170482.19 | 40 | 991 | 514 | 3083734,34 | 829575,44 |
| 12 | Bangsal | 1 | | -7,483100 | 112,503000 | 665849.8 | 9172562.2 | 62 | 1138 | 590 | 4066438,16 | 1093034,00 |
| 13 | Bangsal | 1 | | -7,490490 | 112,513430 | 666998.15 | 9171741.02 | 55 | 1096 | 568 | 3771818,24 | 1013039,36 |
| 14 | Bangsal | 4 | | -7,492860 | 112,510970 | 666725.75 | 9171479.86 | 62 | 1138 | 590 | 4066438,16 | 1093034,00 |
| 15 | Dawar Blandong | 1 | 1 | -7,348800 | 112,415400 | 656228.9 | 9187445.35 | 60 | 1127 | 584 | 3988205,06 | 1070915,84 |
| 16 | Dawar Blandong | 1 | 1 | -7,351190 | 112,450589 | 660112.93 | 9187168.63 | 50 | 1064 | 552 | 3554781,44 | 956770,56 |
| 17 | Dawar Blandong | 1 | 1 | -7,336460 | 112,433789 | 658263.41 | 9188803.47 | 60 | 1127 | 584 | 3988205,06 | 1070915,84 |
| 18 | Dawar Blandong | | 2 | -7,352800 | 112,433925 | 658272.64 | 9186996.52 | 42 | 1007 | 522 | 3184113,86 | 855599,76 |
| 19 | Dawar Blandong | 1 | | -7,342100 | 112,371000 | 651329.46 | 9188201.48 | 72 | 1194 | 619 | 4476497,04 | 1203125,54 |
| 20 | Dawar Blandong | 1 | | -7,329910 | 112,425000 | 657295.37 | 9189530.87 | 72 | 1194 | 619 | 4476497,04 | 1203125,54 |
| 21 | Dawar Blandong | 1 | | -7,327240 | 112,477000 | 663037.46 | 9189807.58 | 72 | 1194 | 619 | 4476497,04 | 1203125,54 |
| 22 | Dawar Blandong | 1 | | -7,348800 | 112,458000 | 660931.97 | 9187430.26 | 62 | 1138 | 590 | 4066438,16 | 1093034,00 |
| 23 | Dawar Blandong | 1 | 2 | -7,330850 | 112,425000 | 657295.04 | 9189426.93 | 72 | 1194 | 619 | 4476497,04 | 1203125,54 |
| 24 | Dawar Blandong | 1 | | -7,339850 | 112,361000 | 650226.22 | 9188453.64 | 72 | 1194 | 619 | 4476497,04 | 1203125,54 |

| | | | | | | | | | | | | |
|----|----------------|---|---|-----------|------------|-----------|------------|----|------|-----|------------|------------|
| 25 | Dawar Blandong | 1 | | -7,328390 | 112,423970 | 657182.19 | 9189699.32 | 72 | 1194 | 619 | 4476497,04 | 1203125,54 |
| 26 | Dawar Blandong | 1 | | -7,334580 | 112,387800 | 653186.75 | 9189027.33 | 50 | 1064 | 552 | 3554781,44 | 956770,56 |
| 27 | Dawar Blandong | 1 | 2 | -7,333000 | 112,425000 | 657294.29 | 9189189.18 | 51 | 1070 | 555 | 3594986,00 | 967198,50 |
| 28 | Dawar Blandong | 1 | | -7,342200 | 112,369000 | 651108.63 | 9188191.1 | 72 | 1194 | 619 | 4476497,04 | 1203125,54 |
| 29 | Dawar Blandong | 1 | | -7,329410 | 112,424700 | 657262.43 | 9189586.27 | 62 | 1138 | 590 | 4066438,16 | 1093034,00 |
| 30 | Dawar Blandong | 1 | 1 | -7,384940 | 112,434300 | 658302.63 | 9183442.28 | 72 | 1194 | 619 | 4476497,04 | 1203125,54 |
| 31 | Dawar Blandong | 1 | | -7,326450 | 112,416680 | 656378.01 | 9189916.39 | 62 | 1138 | 590 | 4066438,16 | 1093034,00 |
| 32 | Dlanggu | | 1 | -7,570610 | 112,496800 | 665132.38 | 9162887.17 | 42 | 1007 | 522 | 3184113,86 | 855599,76 |
| 33 | Dlanggu | 1 | | -7,545630 | 112,459000 | 660970.52 | 9165663.74 | 72 | 1194 | 619 | 4476497,04 | 1203125,54 |
| 34 | Dlanggu | 1 | 1 | -7,567260 | 112,483000 | 663610.85 | 9163262.85 | 72 | 1194 | 619 | 4476497,04 | 1203125,54 |
| 35 | Dlanggu | | 1 | -7,567181 | 112,468326 | 661991.63 | 9163277.08 | 32 | 924 | 479 | 2680856,64 | 720444,74 |
| 36 | Dlanggu | 1 | 2 | -7,546200 | 112,479000 | 663177.36 | 9165593.27 | 51 | 1070 | 555 | 3594986,00 | 967198,50 |
| 37 | Dlanggu | 1 | | -7,570000 | 112,485000 | 663830.51 | 9162959.09 | 62 | 1138 | 590 | 4066438,16 | 1093034,00 |
| 38 | Dlanggu | 1 | | -7,528400 | 112,475000 | 662742.6 | 9167563.18 | 52 | 1077 | 558 | 3642177,06 | 977682,96 |
| 39 | Dlanggu | 1 | | -7,594800 | 112,486000 | 663931.47 | 9160216.19 | 62 | 1138 | 590 | 4066438,16 | 1093034,00 |
| 40 | Gedek | 2 | | -7,426000 | 112,399000 | 654391.54 | 9178914.23 | 62 | 1138 | 590 | 4066438,16 | 1093034,00 |
| 41 | Gedek | 2 | | -7,455050 | 112,411000 | 655705.85 | 9175697.64 | 62 | 1138 | 590 | 4066438,16 | 1093034,00 |
| 42 | Gedek | 2 | | -7,453470 | 112,420000 | 656699.78 | 9175869.18 | 52 | 1077 | 558 | 3642177,06 | 977682,96 |
| 43 | Gedek | 1 | 1 | -7,451060 | 112,392000 | 653610.16 | 9176145.51 | 72 | 1194 | 619 | 4476497,04 | 1203125,54 |
| 44 | Gedek | 2 | 1 | -7,455550 | 112,387800 | 653145.04 | 9175650.47 | 55 | 1096 | 568 | 3771818,24 | 1013039,36 |
| 45 | Gedek | | 3 | -7,455590 | 112,432300 | 658056.62 | 9175630.36 | 45 | 1029 | 533 | 3324760,74 | 892039,46 |
| 46 | Gedek | 2 | 1 | -7,425700 | 112,397000 | 654170.88 | 9178948.1 | 51 | 1070 | 555 | 3594986,00 | 967198,50 |
| 47 | Gedek | 1 | 1 | -7,454500 | 112,397000 | 654160.83 | 9175763.37 | 52 | 1077 | 558 | 3642177,06 | 977682,96 |
| 48 | Gedek | 1 | | -7,455800 | 112,432000 | 658023.43 | 9175607.24 | 62 | 1138 | 590 | 4066438,16 | 1093034,00 |
| 49 | Gedek | 2 | | -7,453600 | 112,366300 | 650772.72 | 9175873.5 | 52 | 1077 | 558 | 3642177,06 | 977682,96 |
| 50 | Gedek | 3 | 1 | -7,430800 | 112,427100 | 657491.52 | 9178373.54 | 72 | 1194 | 619 | 4476497,04 | 1203125,54 |
| 51 | Gedek | | 1 | -7,433510 | 112,435200 | 658384.63 | 9178070.98 | 40 | 991 | 514 | 3083734,34 | 829575,44 |
| 52 | Gedek | | 1 | -7,421930 | 112,426667 | 657446.88 | 9179354.56 | 32 | 924 | 479 | 2680856,64 | 720444,74 |
| 53 | Gedek | 1 | 1 | -7,453140 | 112,353000 | 649304.94 | 9175928.88 | 72 | 1194 | 619 | 4476497,04 | 1203125,54 |

| | | | | | | | | | | | | |
|----|----------|---|---|-----------|------------|-----------|------------|----|------|-----|------------|------------|
| 54 | Gedek | 2 | 1 | -7,422800 | 112,397300 | 654205.01 | 9179268.68 | 52 | 1077 | 558 | 3642177,06 | 977682,96 |
| 55 | Gondang | 1 | | -7,613260 | 112,491000 | 664476.14 | 9158172.88 | 72 | 1194 | 619 | 4476497,04 | 1203125,54 |
| 56 | Gondang | 1 | 1 | -7,601560 | 112,457000 | 660729.08 | 9159479.51 | 72 | 1194 | 619 | 4476497,04 | 1203125,54 |
| 57 | Gondang | 1 | | -7,612310 | 112,490000 | 664366.17 | 9158278.32 | 72 | 1194 | 619 | 4476497,04 | 1203125,54 |
| 58 | Gondang | 1 | 1 | -7,610240 | 112,475000 | 662711.9 | 9158512.91 | 52 | 1077 | 558 | 3642177,06 | 977682,96 |
| 59 | Gondang | 1 | 1 | -7,613060 | 112,489000 | 664255.55 | 9158195.76 | 51 | 1070 | 555 | 3594986,00 | 967198,50 |
| 60 | Gondang | 1 | 1 | -7,624460 | 112,496000 | 665023.54 | 9156932.41 | 72 | 1194 | 619 | 4476497,04 | 1203125,54 |
| 61 | Jatirejo | 1 | | -7,589000 | 112,416000 | 656209.79 | 9160883.43 | 72 | 1194 | 619 | 4476497,04 | 1203125,54 |
| 62 | Jatirejo | 1 | | -7,591150 | 112,431000 | 657864.1 | 9160640.24 | 72 | 1194 | 619 | 4476497,04 | 1203125,54 |
| 63 | Jatirejo | 2 | 1 | -7,581600 | 112,418000 | 656433.14 | 9161701.02 | 51 | 1070 | 555 | 3594986,00 | 967198,50 |
| 64 | Jatirejo | 1 | 1 | -7,581400 | 112,417600 | 656389.08 | 9161723.28 | 52 | 1077 | 558 | 3642177,06 | 977682,96 |
| 65 | Jatirejo | 2 | | -7,583390 | 112,451000 | 660073.77 | 9161491.04 | 50 | 1064 | 552 | 3554781,44 | 956770,56 |
| 66 | Jatirejo | 1 | | -7,569500 | 112,444600 | 659372.69 | 9163029.4 | 62 | 1138 | 590 | 4066438,16 | 1093034,00 |
| 67 | Jetis | 1 | | -7,402660 | 112,420000 | 656717.78 | 9181487.83 | 70 | 1183 | 613 | 4394395,46 | 1179914,66 |
| 68 | Jetis | 1 | | -7,399140 | 112,426000 | 657381.35 | 9181874.96 | 72 | 1194 | 619 | 4476497,04 | 1203125,54 |
| 69 | Jetis | 1 | | -7,404530 | 112,475000 | 662788.43 | 9181261.27 | 72 | 1194 | 619 | 4476497,04 | 1203125,54 |
| 70 | Jetis | 1 | | -7,400510 | 112,435000 | 658374.35 | 9181720.26 | 72 | 1194 | 619 | 4476497,04 | 1203125,54 |
| 71 | Jetis | 1 | 1 | -7,412500 | 112,472400 | 662498.5 | 9180380.87 | 62 | 1138 | 590 | 4066438,16 | 1093034,00 |
| 72 | Jetis | 2 | | -7,404190 | 112,475300 | 662821.67 | 9181298.76 | 50 | 1064 | 552 | 3554781,44 | 956770,56 |
| 73 | Jetis | 3 | | -7,399700 | 112,428000 | 657601.93 | 9181812.32 | 51 | 1070 | 555 | 3594986,00 | 967198,50 |
| 74 | Jetis | 2 | | -7,398300 | 112,427000 | 657492.04 | 9181967.49 | 62 | 1138 | 590 | 4066438,16 | 1093034,00 |
| 75 | Jetis | 1 | | -7,422700 | 112,406000 | 655165.36 | 9179276.7 | 52 | 1077 | 558 | 3642177,06 | 977682,96 |
| 76 | Jetis | 1 | | -7,409200 | 112,492000 | 664663.31 | 9180738.57 | 52 | 1077 | 558 | 3642177,06 | 977682,96 |
| 77 | Jetis | | 3 | -7,401200 | 112,437000 | 658594.88 | 9181643.25 | 40 | 991 | 514 | 3083734,34 | 829575,44 |
| 78 | Kem lagi | 1 | | -7,395690 | 112,377000 | 651973.59 | 9182273.5 | 72 | 1194 | 619 | 4476497,04 | 1203125,54 |
| 79 | Kem lagi | 2 | 1 | -7,396270 | 112,385000 | 652856.48 | 9182206.62 | 72 | 1194 | 619 | 4476497,04 | 1203125,54 |
| 80 | Kem lagi | 1 | | -7,395900 | 112,377000 | 651973.51 | 9182250.28 | 50 | 1064 | 552 | 3554781,44 | 956770,56 |
| 81 | Kem lagi | | 2 | -7,428700 | 112,377000 | 651962.27 | 9178623.27 | 42 | 1007 | 522 | 3184113,86 | 855599,76 |
| 82 | Kem lagi | 3 | | -7,431020 | 112,357000 | 649753.93 | 9178373.53 | 50 | 1064 | 552 | 3554781,44 | 956770,56 |

| | | | | | | | | | | | | |
|-----|-----------|---|---|-----------|------------|-----------|------------|----|------|-----|------------|------------|
| 83 | Kutorejo | 1 | 2 | -7,577930 | 112,534000 | 669234.5 | 9162063.36 | 72 | 1194 | 619 | 4476497,04 | 1203125,54 |
| 84 | Kutorejo | | 2 | -7,566760 | 112,512000 | 666811.16 | 9163307.12 | 42 | 1007 | 522 | 3184113,86 | 855599,76 |
| 85 | Kutorejo | 1 | 1 | -7,532310 | 112,512000 | 666824.37 | 9167116.83 | 72 | 1194 | 619 | 4476497,04 | 1203125,54 |
| 86 | Kutorejo | 1 | | -7,563560 | 112,536000 | 669460.81 | 9163651.73 | 72 | 1194 | 619 | 4476497,04 | 1203125,54 |
| 87 | Kutorejo | 1 | 1 | -7,532080 | 112,510000 | 666603.74 | 9167143.03 | 72 | 1194 | 619 | 4476497,04 | 1203125,54 |
| 88 | Kutorejo | | 2 | -7,567400 | 112,523000 | 668024.76 | 9163232.11 | 51 | 1070 | 555 | 3594986,00 | 967198,50 |
| 89 | Kutorejo | | 2 | -7,578240 | 112,533000 | 669124.04 | 9162029.47 | 52 | 1077 | 558 | 3642177,06 | 977682,96 |
| 90 | Mojoanyar | 1 | 1 | -7,492810 | 112,448000 | 659775.96 | 9171508.8 | 52 | 1077 | 558 | 3642177,06 | 977682,96 |
| 91 | Mojoanyar | 2 | | -7,494300 | 112,447000 | 659665.05 | 9171344.39 | 51 | 1070 | 555 | 3594986,00 | 967198,50 |
| 92 | Mojoanyar | | 1 | -7,492900 | 112,448300 | 659809.04 | 9171498.74 | 42 | 1007 | 522 | 3184113,86 | 855599,76 |
| 93 | Mojoanyar | 3 | 1 | -7,494160 | 112,457800 | 660857.05 | 9171355.93 | 52 | 1077 | 558 | 3642177,06 | 977682,96 |
| 94 | Mojoanyar | 1 | | -7,480400 | 112,485100 | 663875.19 | 9172867.49 | 52 | 1077 | 558 | 3642177,06 | 977682,96 |
| 95 | Mojoanyar | 2 | 1 | -7,472500 | 112,484400 | 663800.87 | 9173741.37 | 52 | 1077 | 558 | 3642177,06 | 977682,96 |
| 96 | Mojoanyar | | 3 | -7,456070 | 112,460100 | 661124.86 | 9175567.22 | 42 | 1007 | 522 | 3184113,86 | 855599,76 |
| 97 | Mojoanyar | 1 | | -7,451256 | 112,467453 | 661938.22 | 9176096.88 | 55 | 1096 | 568 | 3771818,24 | 1013039,36 |
| 98 | Mojoanyar | 1 | 1 | -7,445430 | 112,456000 | 660676.2 | 9176745.33 | 62 | 1138 | 590 | 4066438,16 | 1093034,00 |
| 99 | Mojosari | 2 | 1 | -7,508530 | 112,562000 | 672351.74 | 9169727.23 | 72 | 1194 | 619 | 4476497,04 | 1203125,54 |
| 100 | Mojosari | | 2 | -7,500840 | 112,534000 | 669264.46 | 9170588.56 | 42 | 1007 | 522 | 3184113,86 | 855599,76 |
| 101 | Mojosari | 1 | | -7,505250 | 112,530000 | 668821.29 | 9170102.41 | 55 | 1096 | 568 | 3771818,24 | 1013039,36 |
| 102 | Mojosari | | 1 | -7,511170 | 112,550600 | 671092.53 | 9169439.75 | 45 | 1029 | 533 | 3324760,74 | 892039,46 |
| 103 | Mojosari | 1 | | -7,504480 | 112,544000 | 670366.72 | 9170182.15 | 52 | 1077 | 558 | 3642177,06 | 977682,96 |
| 104 | Mojosari | 2 | 2 | -7,534100 | 112,554000 | 671458.77 | 9166902.62 | 50 | 1064 | 552 | 3554781,44 | 956770,56 |
| 105 | Mojosari | 1 | | -7,513200 | 112,555000 | 671577.34 | 9169213.53 | 72 | 1194 | 619 | 4476497,04 | 1203125,54 |
| 106 | Mojosari | 2 | 1 | -7,524200 | 112,564000 | 672566.29 | 9167993.51 | 72 | 1194 | 619 | 4476497,04 | 1203125,54 |
| 107 | Mojosari | 1 | | -7,534000 | 112,554300 | 671491.91 | 9166913.56 | 52 | 1077 | 558 | 3642177,06 | 977682,96 |
| 108 | Mojosari | 1 | | -7,508896 | 112,550335 | 671064.17 | 9169691.33 | 50 | 1064 | 552 | 3554781,44 | 956770,56 |
| 109 | Mojosari | 1 | | -7,533290 | 112,554500 | 671514.26 | 9166992.00 | 52 | 1077 | 558 | 3642177,06 | 977682,96 |
| 110 | Mojosari | 1 | 1 | -7,517047 | 112,552248 | 671272.11 | 9168789.17 | 72 | 1194 | 619 | 4476497,04 | 1203125,54 |
| 111 | Mojosari | | 1 | -7,526620 | 112,561800 | 672322.53 | 9167726.76 | 45 | 1029 | 533 | 3324760,74 | 892039,46 |

| | | | | | | | | | | | | |
|-----|----------|---|---|-----------|------------|-----------|------------|----|------|-----|------------|------------|
| 112 | Mojosari | 1 | | -7,526320 | 112,562440 | 672393.28 | 9167759.68 | 52 | 1077 | 558 | 3642177,06 | 977682,96 |
| 113 | Ngoro | 1 | | -7,566980 | 112,657000 | 682812.31 | 9163224.51 | 52 | 1077 | 558 | 3642177,06 | 977682,96 |
| 114 | Ngoro | 1 | | -7,568810 | 112,588000 | 675197.05 | 9163050.53 | 72 | 1194 | 619 | 4476497,04 | 1203125,54 |
| 115 | Ngoro | 1 | | -7,554920 | 112,615000 | 678182.31 | 9164575.68 | 72 | 1194 | 619 | 4476497,04 | 1203125,54 |
| 116 | Ngoro | 1 | | -7,572280 | 112,589000 | 675306.01 | 9162666.38 | 52 | 1077 | 558 | 3642177,06 | 977682,96 |
| 117 | Ngoro | 1 | | -7,559130 | 112,633500 | 680222.19 | 9164102.47 | 53 | 1083 | 562 | 3682871,46 | 991750,16 |
| 118 | Ngoro | 1 | 1 | -7,532860 | 112,615700 | 678268.59 | 9167015.05 | 53 | 1083 | 562 | 3682871,46 | 991750,16 |
| 119 | Ngoro | 1 | | -7,554400 | 112,614300 | 678105.27 | 9164633.47 | 52 | 1077 | 558 | 3642177,06 | 977682,96 |
| 120 | Ngoro | | 1 | -7,534400 | 112,613200 | 677992.05 | 9166845.76 | 42 | 1007 | 522 | 3184113,86 | 855599,76 |
| 121 | Ngoro | 1 | 2 | -7,554700 | 112,623000 | 679065.26 | 9164596.73 | 50 | 1064 | 552 | 3554781,44 | 956770,56 |
| 122 | Ngoro | 1 | | -7,559300 | 112,633000 | 680166.94 | 9164083.88 | 72 | 1194 | 619 | 4476497,04 | 1203125,54 |
| 123 | Ngoro | 1 | | -7,559530 | 112,631000 | 679946.13 | 9164059.27 | 52 | 1077 | 558 | 3642177,06 | 977682,96 |
| 124 | Ngoro | 1 | 1 | -7,568280 | 112,655000 | 682591.05 | 9163081.58 | 50 | 1064 | 552 | 3554781,44 | 956770,56 |
| 125 | Ngoro | 1 | 2 | -7,568740 | 112,617000 | 678397.34 | 9163046.48 | 50 | 1064 | 552 | 3554781,44 | 956770,56 |
| 126 | Ngoro | 1 | 1 | -7,556389 | 112,640833 | 681032.59 | 9164402.57 | 60 | 1127 | 584 | 3988205,06 | 1070915,84 |
| 127 | Ngoro | 1 | 1 | -7,595660 | 112,561000 | 672206.86 | 9160092.00 | 72 | 1194 | 619 | 4476497,04 | 1203125,54 |
| 128 | Ngoro | 1 | 1 | -7,565580 | 112,611000 | 677736.51 | 9163398.41 | 55 | 1096 | 568 | 3771818,24 | 1013039,36 |
| 129 | Pacet | | 3 | -7,633412 | 112,559288 | 672002.89 | 9155917.71 | 42 | 1007 | 522 | 3184113,86 | 855599,76 |
| 130 | Pacet | 1 | 1 | -7,656986 | 112,565623 | 672692.39 | 9153308.13 | 62 | 1138 | 590 | 4066438,16 | 1093034,00 |
| 131 | Pacet | 1 | | -7,654182 | 112,565847 | 672718.23 | 9153618.14 | 72 | 1194 | 619 | 4476497,04 | 1203125,54 |
| 132 | Pacet | | 3 | -7,644720 | 112,536000 | 669428.97 | 9154676.4 | 42 | 1007 | 522 | 3184113,86 | 855599,76 |
| 133 | Pacet | 1 | | -7,667439 | 112,536579 | 669483.87 | 9152163.71 | 72 | 1194 | 619 | 4476497,04 | 1203125,54 |
| 134 | Pacet | 1 | | -7,674550 | 112,567000 | 672837.22 | 9151365.18 | 55 | 1096 | 568 | 3771818,24 | 1013039,36 |
| 135 | Pacet | 1 | | -7,641500 | 112,536000 | 669430.24 | 9155032.49 | 52 | 1077 | 558 | 3642177,06 | 977682,96 |
| 136 | Pacet | 2 | | -7,601300 | 112,537900 | 669655.7 | 9159477.39 | 50 | 1064 | 552 | 3554781,44 | 956770,56 |
| 137 | Pacet | 3 | | -7,601230 | 112,531111 | 668906.61 | 9159487.79 | 52 | 1077 | 558 | 3642177,06 | 977682,96 |
| 138 | Pacet | | 1 | -7,664920 | 112,537000 | 669531.31 | 9152442.12 | 32 | 924 | 479 | 2680856,64 | 720444,74 |
| 139 | Pacet | | 1 | -7,663780 | 112,537000 | 669531.76 | 9152568.19 | 32 | 924 | 479 | 2680856,64 | 720444,74 |
| 140 | Pacet | 2 | | -7,664900 | 112,540000 | 669862.3 | 9152443.15 | 50 | 1064 | 552 | 3554781,44 | 956770,56 |

| | | | | | | | | | | | | |
|-----|----------|---|---|-----------|------------|-----------|------------|----|------|-----|------------|------------|
| 141 | Pacet | 1 | | -7,601063 | 112,532834 | 669096.8 | 9159505.58 | 52 | 1077 | 558 | 3642177,06 | 977682,96 |
| 142 | Pacet | 1 | | -7,676700 | 112,568000 | 672946.68 | 9151127.01 | 62 | 1138 | 590 | 4066438,16 | 1093034,00 |
| 143 | Pacet | 1 | | -7,637360 | 112,536000 | 669431.87 | 9155490.33 | 52 | 1077 | 558 | 3642177,06 | 977682,96 |
| 144 | Pacet | 2 | 1 | -7,652610 | 112,541000 | 669977.5 | 9153801.88 | 60 | 1127 | 584 | 3988205,06 | 1070915,84 |
| 145 | Pungging | | 2 | -7,513800 | 112,566100 | 672802.16 | 9169142.81 | 42 | 1007 | 522 | 3184113,86 | 855599,76 |
| 146 | Pungging | 2 | | -7,512800 | 112,566200 | 672813.6 | 9169253.36 | 62 | 1138 | 590 | 4066438,16 | 1093034,00 |
| 147 | Pungging | 1 | | -7,544700 | 112,545000 | 670461.38 | 9165733.91 | 52 | 1077 | 558 | 3642177,06 | 977682,96 |
| 148 | Pungging | 1 | | -7,494000 | 112,564000 | 672578.2 | 9171333.3 | 52 | 1077 | 558 | 3642177,06 | 977682,96 |
| 149 | Pungging | 1 | | -7,527070 | 112,588000 | 675213.86 | 9167666.58 | 72 | 1194 | 619 | 4476497,04 | 1203125,54 |
| 150 | Pungging | 1 | | -7,478200 | 112,561000 | 672253.29 | 9173081.78 | 72 | 1194 | 619 | 4476497,04 | 1203125,54 |
| 151 | Pungging | 1 | | -7,535040 | 112,561000 | 672230.92 | 9166795.91 | 72 | 1194 | 619 | 4476497,04 | 1203125,54 |
| 152 | Pungging | 2 | 1 | -7,525680 | 112,578300 | 674143.89 | 9167824.17 | 70 | 1183 | 613 | 4394395,46 | 1179914,66 |
| 153 | Pungging | 1 | | -7,562600 | 112,556200 | 671690.31 | 9163749.97 | 72 | 1194 | 619 | 4476497,04 | 1203125,54 |
| 154 | Pungging | 1 | | -7,527900 | 112,595400 | 676030.22 | 9167571.81 | 50 | 1064 | 552 | 3554781,44 | 956770,56 |
| 155 | Pungging | 1 | | -7,520030 | 112,570000 | 673230.12 | 9168452.3 | 62 | 1138 | 590 | 4066438,16 | 1093034,00 |
| 156 | Pungging | 1 | | -7,534562 | 112,588928 | 675313.27 | 9166837.66 | 72 | 1194 | 619 | 4476497,04 | 1203125,54 |
| 157 | Puri | | 3 | -7,492310 | 112,424500 | 657182.57 | 9171572.57 | 45 | 1029 | 533 | 3324760,74 | 892039,46 |
| 158 | Puri | 2 | | -7,515178 | 112,422800 | 656986.75 | 9169044.38 | 72 | 1194 | 619 | 4476497,04 | 1203125,54 |
| 159 | Puri | | 3 | -7,500138 | 112,435317 | 658373.55 | 9170703.04 | 42 | 1007 | 522 | 3184113,86 | 855599,76 |
| 160 | Puri | 1 | | -7,555590 | 112,431000 | 657877.05 | 9164572.57 | 72 | 1194 | 619 | 4476497,04 | 1203125,54 |
| 161 | Puri | 1 | | -7,529710 | 112,463000 | 661417.82 | 9167422.76 | 62 | 1138 | 590 | 4066438,16 | 1093034,00 |
| 162 | Puri | 3 | | -7,491340 | 112,438000 | 658672.84 | 9171674.98 | 72 | 1194 | 619 | 4476497,04 | 1203125,54 |
| 163 | Puri | 1 | | -7,484060 | 112,439000 | 658785.84 | 9172479.66 | 52 | 1077 | 558 | 3642177,06 | 977682,96 |
| 164 | Puri | 3 | | -7,553900 | 112,435000 | 658319.06 | 9164758.00 | 52 | 1077 | 558 | 3642177,06 | 977682,96 |
| 165 | Puri | | 3 | -7,509100 | 112,432000 | 658004.24 | 9169713.2 | 42 | 1007 | 522 | 3184113,86 | 855599,76 |
| 166 | Puri | 1 | | -7,507400 | 112,438000 | 658667.02 | 9169899.02 | 52 | 1077 | 558 | 3642177,06 | 977682,96 |
| 167 | Puri | 1 | | -7,536694 | 112,434318 | 658250.06 | 9166660.94 | 70 | 1183 | 613 | 4394395,46 | 1179914,66 |
| 168 | Sooko | 3 | | -7,470120 | 112,404000 | 654927.94 | 9174033.65 | 50 | 1064 | 552 | 3554781,44 | 956770,56 |
| 169 | Sooko | 1 | | -7,489670 | 112,413000 | 655914.32 | 9171868.6 | 52 | 1077 | 558 | 3642177,06 | 977682,96 |

| | | | | | | | | | | | | |
|-----|----------|---|---|-----------|------------|-----------|------------|----|------|-----|------------|------------|
| 170 | Sooko | | 2 | -7,515410 | 112,419500 | 656622.48 | 9169019.91 | 45 | 1029 | 533 | 3324760,74 | 892039,46 |
| 171 | Sooko | | 2 | -7,520830 | 112,415500 | 656179.11 | 9168421.99 | 40 | 991 | 514 | 3083734,34 | 829575,44 |
| 172 | Sooko | 2 | | -7,500300 | 112,419000 | 656572.71 | 9170690.98 | 51 | 1070 | 555 | 3594986,00 | 967198,50 |
| 173 | Sooko | | 1 | -7,522610 | 112,406000 | 655130.09 | 9168228.53 | 40 | 991 | 514 | 3083734,34 | 829575,44 |
| 174 | Sooko | 2 | | -7,483490 | 112,417219 | 656382.15 | 9172550.5 | 60 | 1127 | 584 | 3988205,06 | 1070915,84 |
| 175 | Sooko | 1 | | -7,498690 | 112,393000 | 653703.88 | 9170878.21 | 72 | 1194 | 619 | 4476497,04 | 1203125,54 |
| 176 | Trawas | | 2 | -7,599300 | 112,578710 | 674159.61 | 9159682.37 | 42 | 1007 | 522 | 3184113,86 | 855599,76 |
| 177 | Trawas | 1 | 1 | -7,666050 | 112,595000 | 675929.83 | 9152293.82 | 60 | 1127 | 584 | 3988205,06 | 1070915,84 |
| 178 | Trawas | 1 | | -7,606168 | 112,594755 | 675927.3 | 9158916.34 | 62 | 1138 | 590 | 4066438,16 | 1093034,00 |
| 179 | Trawas | | 2 | -7,667670 | 112,580331 | 674310.77 | 9152120.64 | 42 | 1007 | 522 | 3184113,86 | 855599,76 |
| 180 | Trawas | | 1 | -7,625610 | 112,592000 | 675615.39 | 9156767.35 | 42 | 1007 | 522 | 3184113,86 | 855599,76 |
| 181 | Trawas | 1 | 1 | -7,633412 | 112,569288 | 673106.25 | 9155913.71 | 72 | 1194 | 619 | 4476497,04 | 1203125,54 |
| 182 | Trawas | 1 | | -7,678260 | 112,609000 | 677469.37 | 9150937.72 | 72 | 1194 | 619 | 4476497,04 | 1203125,54 |
| 183 | Trawas | 1 | 1 | -7,666880 | 112,601000 | 676591.46 | 9152199.56 | 72 | 1194 | 619 | 4476497,04 | 1203125,54 |
| 184 | Trawas | 1 | 2 | -7,670300 | 112,611000 | 677693.33 | 9151817.21 | 50 | 1064 | 552 | 3554781,44 | 956770,56 |
| 185 | Trawas | 2 | | -7,654300 | 112,608000 | 677368.97 | 9153587.92 | 62 | 1138 | 590 | 4066438,16 | 1093034,00 |
| 186 | Trawas | 2 | | -7,666100 | 112,595600 | 675996.01 | 9152288.04 | 62 | 1138 | 590 | 4066438,16 | 1093034,00 |
| 187 | Trawas | 1 | 2 | -7,680600 | 112,608800 | 677446.34 | 9150679.02 | 62 | 1138 | 590 | 4066438,16 | 1093034,00 |
| 188 | Trawas | 2 | | -7,630130 | 112,575000 | 673737.81 | 9156274.37 | 52 | 1077 | 558 | 3642177,06 | 977682,96 |
| 189 | Trawas | 1 | 1 | -7,660640 | 112,598000 | 676263.04 | 9152890.89 | 72 | 1194 | 619 | 4476497,04 | 1203125,54 |
| 190 | Trawas | | 1 | -7,677530 | 112,609000 | 677469.68 | 9151018.46 | 45 | 1029 | 533 | 3324760,74 | 892039,46 |
| 191 | Trawas | 3 | | -7,654340 | 112,608000 | 677368.95 | 9153583.5 | 62 | 1138 | 590 | 4066438,16 | 1093034,00 |
| 192 | Trawas | 1 | 1 | -7,680077 | 112,609003 | 677468.95 | 9150736.78 | 62 | 1138 | 590 | 4066438,16 | 1093034,00 |
| 193 | Trowulan | | 1 | -7,498110 | 112,392000 | 653593.72 | 9170942.7 | 55 | 1096 | 568 | 3771818,24 | 1013039,36 |
| 194 | Trowulan | | 2 | -7,517800 | 112,396500 | 654083.41 | 9168763.78 | 42 | 1007 | 522 | 3184113,86 | 855599,76 |
| 195 | Trowulan | 1 | 1 | -7,530830 | 112,407700 | 655314.77 | 9167318.95 | 70 | 1183 | 613 | 4394395,46 | 1179914,66 |
| 196 | Trowulan | | 2 | -7,549990 | 112,381000 | 652361.63 | 9165209.63 | 42 | 1007 | 522 | 3184113,86 | 855599,76 |
| 197 | Trowulan | 1 | 2 | -7,531540 | 112,408000 | 655347.62 | 9167240.33 | 72 | 1194 | 619 | 4476497,04 | 1203125,54 |
| 198 | Trowulan | | 2 | -7,555990 | 112,371000 | 651256.07 | 9164549.63 | 55 | 1096 | 568 | 3771818,24 | 1013039,36 |

| | | | | | | | | | | | | |
|-----|----------|---|---|-----------|------------|-----------|------------|----|------|-----|------------|------------|
| 199 | Trowulan | | 2 | -7,529720 | 112,381000 | 652368.72 | 9167451.09 | 55 | 1096 | 568 | 3771818,24 | 1013039,36 |
| 200 | Trowulan | 2 | 1 | -7,536020 | 112,394000 | 653801.09 | 9166749.88 | 72 | 1194 | 619 | 4476497,04 | 1203125,54 |
| 201 | Trowulan | 1 | | -7,540920 | 112,389400 | 653291.75 | 9166209.65 | 65 | 1156 | 599 | 4196095,04 | 1126635,14 |
| 202 | Trowulan | | 1 | -7,556650 | 112,369100 | 651046.19 | 9164477.31 | 45 | 1029 | 533 | 3324760,74 | 892039,46 |
| 203 | Trowulan | | 1 | -7,583000 | 112,379600 | 652195.57 | 9161559.85 | 50 | 1064 | 552 | 3554781,44 | 956770,56 |
| 204 | Trowulan | 1 | | -7,514900 | 112,381944 | 652478.07 | 9169089.56 | 72 | 1194 | 619 | 4476497,04 | 1203125,54 |
| 205 | Trowulan | | 3 | -7,532200 | 112,410000 | 655568.09 | 9167166.63 | 51 | 1070 | 555 | 3594986,00 | 967198,50 |
| 206 | Trowulan | 1 | 1 | -7,552900 | 112,384000 | 652691.66 | 9164886.79 | 72 | 1194 | 619 | 4476497,04 | 1203125,54 |
| 207 | Trowulan | 1 | | -7,552300 | 112,411800 | 655759.54 | 9164943.3 | 72 | 1194 | 619 | 4476497,04 | 1203125,54 |
| 208 | Trowulan | | 1 | -7,533020 | 112,406000 | 655126.39 | 9167077.38 | 52 | 1077 | 558 | 3642177,06 | 977682,96 |
| 209 | Trowulan | | 2 | -7,529910 | 112,381000 | 652368.66 | 9167430.08 | 55 | 1096 | 568 | 3771818,24 | 1013039,36 |
| 210 | Trowulan | 1 | | -7,567818 | 112,380186 | 652265.56 | 9163238.48 | 62 | 1138 | 590 | 4066438,16 | 1093034,00 |

LAMPIRAN
Data Titik Koordinat RTRW

| No. | Kecamatan | Titik Koordinat RTRW | |
|-----|-----------|----------------------|------------|
| | | X (m) | Y (m) |
| 1 | Jatirejo | 658572.89 | 9156078.94 |
| 2 | Jatirejo | 658227.88 | 9157738.52 |
| 3 | Jatirejo | 657385.91 | 9159106.69 |
| 4 | Jatirejo | 655967.09 | 9156812.65 |
| 5 | Jatirejo | 655314.61 | 9159222.73 |
| 6 | Jatirejo | 654285.91 | 9161161.81 |
| 7 | Jatirejo | 655484.27 | 9161554.59 |
| 8 | Jatirejo | 656378.22 | 9160257.97 |
| 9 | Jatirejo | 658664.89 | 9159689.33 |
| 10 | Jatirejo | 657374.3 | 9160707.99 |
| 11 | Jatirejo | 656849.8 | 9161703.41 |
| 12 | Jatirejo | 656067.18 | 9162834.14 |
| 13 | Jatirejo | 658023.53 | 9161502.82 |
| 14 | Jatirejo | 658901.54 | 9161374.74 |
| 15 | Jatirejo | 659584.59 | 9161711.96 |
| 16 | Gondang | 660911.47 | 9160003.51 |
| 17 | Gondang | 660509.96 | 9158630.73 |
| 18 | Gondang | 660697.58 | 9157596.12 |
| 19 | Gondang | 662288.12 | 9158227.93 |
| 20 | Gondang | 663329.39 | 9158330.65 |
| 21 | Gondang | 664345.53 | 9158115.38 |
| 22 | Gondang | 665402.64 | 9158040.18 |
| 23 | Gondang | 666937.53 | 9158221.28 |
| 24 | Gondang | 666313.18 | 9156625.69 |
| 25 | Gondang | 664836.44 | 9156940.8 |

| No. | Kecamatan | Titik Koordinat RTRW | |
|-----|-----------|----------------------|------------|
| | | X (m) | Y (m) |
| 151 | Bangsal | 663097.42 | 9171726.2 |
| 152 | Bangsal | 662923.16 | 9169462.87 |
| 153 | Bangsal | 663714.12 | 9168222.86 |
| 154 | Bangsal | 664620.19 | 9167739.49 |
| 155 | Bangsal | 665015.76 | 9169171.46 |
| 156 | Bangsal | 664078.28 | 9169936.04 |
| 157 | Bangsal | 665403.46 | 9170495.08 |
| 158 | Mojoanyar | 667582.84 | 9173964.14 |
| 159 | Mojoanyar | 665834.59 | 9173343.32 |
| 160 | Mojoanyar | 665621.88 | 9174439.53 |
| 161 | Mojoanyar | 665083.38 | 9173568.06 |
| 162 | Mojoanyar | 664360.18 | 9172972.68 |
| 163 | Mojoanyar | 662950.96 | 9172875.24 |
| 164 | Mojoanyar | 661822.86 | 9171054.14 |
| 165 | Mojoanyar | 660073.33 | 9171088.14 |
| 166 | Mojoanyar | 661422.21 | 9173238.09 |
| 167 | Mojoanyar | 662994.53 | 9174677.75 |
| 168 | Mojoanyar | 661834.64 | 9175983.33 |
| 169 | Mojoanyar | 664394.03 | 9174398.91 |
| 170 | Dlanggu | 662904.68 | 9167355.17 |
| 171 | Dlanggu | 662927.58 | 9165808.44 |
| 172 | Dlanggu | 664140.34 | 9165923.63 |
| 173 | Dlanggu | 664651.1 | 9164449.87 |
| 174 | Dlanggu | 663179.07 | 9164501.33 |
| 175 | Dlanggu | 661328.29 | 9164906.91 |

| | | | |
|----|---------|-----------|------------|
| 26 | Gondang | 663662.12 | 9156935.01 |
| 27 | Gondang | 662757.23 | 9156570.3 |
| 28 | Gondang | 661186.25 | 9155120.33 |
| 29 | Gondang | 661340.47 | 9153457.59 |
| 30 | Gondang | 662926.08 | 9155354.49 |
| 31 | Gondang | 664295.99 | 9154857.0 |
| 32 | Gondang | 663553.44 | 9153597.42 |
| 33 | Gondang | 662963.59 | 9154260.66 |
| 34 | Pacet | 670502.8 | 9159228.43 |
| 35 | Pacet | 668748.56 | 9158540.71 |
| 36 | Pacet | 669664.81 | 9157448.26 |
| 37 | Pacet | 671002.85 | 9157314.42 |
| 38 | Pacet | 671980.69 | 9156306.51 |
| 39 | Pacet | 670389.68 | 9155242.06 |
| 40 | Pacet | 671419.83 | 9154008.37 |
| 41 | Pacet | 673006.92 | 9153545.2 |
| 42 | Pacet | 672626.03 | 9152053.83 |
| 43 | Pacet | 671743.81 | 9152132.57 |
| 44 | Pacet | 670540.98 | 9152705.01 |
| 45 | Pacet | 669015.99 | 9156351.53 |
| 46 | Pacet | 667766.7 | 9156080.59 |
| 47 | Pacet | 669295.66 | 9154483.89 |
| 48 | Pacet | 667835.68 | 9154994.47 |
| 49 | Pacet | 666252.47 | 9155385.77 |
| 50 | Pacet | 667936.42 | 9153403.84 |
| 51 | Pacet | 668172.24 | 9152795.99 |
| 52 | Pacet | 669483.87 | 9152163.71 |
| 53 | Pacet | 669910.68 | 9151013.6 |
| 54 | Tawas | 675649.11 | 9152043.81 |

| | | | |
|-----|----------|-----------|------------|
| 176 | Dlanggu | 659600.06 | 9164342.17 |
| 177 | Dlanggu | 661643.66 | 9163689.63 |
| 178 | Dlanggu | 662049.56 | 9162589.15 |
| 179 | Dlanggu | 663512.39 | 9163481.59 |
| 180 | Dlanggu | 661742.91 | 9161773.51 |
| 181 | Dlanggu | 662460.19 | 9160062.53 |
| 182 | Dlanggu | 663352.11 | 9161780.55 |
| 183 | Dlanggu | 663514.0 | 9160364.71 |
| 184 | Dlanggu | 664799.65 | 9160280.44 |
| 185 | Dlanggu | 664521.02 | 9162365.53 |
| 186 | Puri | 657645.96 | 9163829.76 |
| 187 | Puri | 657297.54 | 9165128.5 |
| 188 | Puri | 656773.82 | 9167059.22 |
| 189 | Puri | 658659.52 | 9165837.95 |
| 190 | Puri | 659526.64 | 9166595.03 |
| 191 | Puri | 658001.23 | 9167138.15 |
| 192 | Puri | 657981.71 | 9168120.53 |
| 193 | Puri | 660003.11 | 9167312.91 |
| 194 | Puri | 661478.58 | 9165795.18 |
| 195 | Puri | 661390.9 | 9166894.48 |
| 196 | Puri | 660724.95 | 9167903.35 |
| 197 | Puri | 660932.93 | 9169051.64 |
| 198 | Puri | 659148.79 | 9168670.39 |
| 199 | Puri | 658998.88 | 9170470.2 |
| 200 | Puri | 657268.59 | 9169175.83 |
| 201 | Puri | 657787.71 | 9171234.43 |
| 202 | Trowulan | 652845.75 | 9161645.25 |
| 203 | Trowulan | 651958.12 | 9162709.33 |
| 204 | Trowulan | 653856.62 | 9163547.24 |

| | | | | | | | | |
|----|-------|-----------|------------|--|-----|----------|-----------|------------|
| 55 | Tawas | 676991.6 | 9151895.49 | | 205 | Trowulan | 652190.17 | 9164759.88 |
| 56 | Tawas | 678370.32 | 9153107.29 | | 206 | Trowulan | 651127.53 | 9165079.72 |
| 57 | Tawas | 677283.59 | 9153327.91 | | 207 | Trowulan | 651736.13 | 9167086.07 |
| 58 | Tawas | 677811.56 | 9154953.76 | | 208 | Trowulan | 652781.11 | 9167622.85 |
| 59 | Tawas | 676506.89 | 9153280.38 | | 209 | Trowulan | 654524.61 | 9164321.83 |
| 60 | Tawas | 675598.64 | 9153399.09 | | 210 | Trowulan | 655711.13 | 9165054.48 |
| 61 | Tawas | 676097.23 | 9155065.2 | | 211 | Trowulan | 655467.53 | 9166676.85 |
| 62 | Tawas | 675992.98 | 9156592.77 | | 212 | Trowulan | 653976.55 | 9167229.8 |
| 63 | Tawas | 675512.38 | 9160500.23 | | 213 | Trowulan | 653814.42 | 9165877.78 |
| 64 | Tawas | 673769.57 | 9159874.34 | | 214 | Trowulan | 653331.9 | 9169016.42 |
| 65 | Tawas | 672847.66 | 9158357.49 | | 215 | Trowulan | 652953.92 | 9171179.7 |
| 66 | Tawas | 674230.95 | 9155291.95 | | 216 | Trowulan | 652344.28 | 9169568.69 |
| 67 | Ngoro | 680570.22 | 9160076.84 | | 217 | Trowulan | 652172.07 | 9170885.15 |
| 68 | Ngoro | 679789.65 | 9161382.37 | | 218 | Sooko | 655926.66 | 9168198.98 |
| 69 | Ngoro | 681479.22 | 9162886.61 | | 219 | Sooko | 656109.91 | 9169378.42 |
| 70 | Ngoro | 681395.41 | 9165443.89 | | 220 | Sooko | 654577.36 | 9168968.33 |
| 71 | Ngoro | 679841.53 | 9165008.67 | | 221 | Sooko | 654994.07 | 9169999.28 |
| 72 | Ngoro | 679337.52 | 9166789.68 | | 222 | Sooko | 653897.66 | 9170735.49 |
| 73 | Ngoro | 678678.87 | 9166165.72 | | 223 | Sooko | 653999.7 | 9171833.25 |
| 74 | Ngoro | 678398.92 | 9163917.95 | | 224 | Sooko | 655290.11 | 9170944.7 |
| 75 | Ngoro | 679207.74 | 9163474.22 | | 225 | Sooko | 656151.89 | 9170519.83 |
| 76 | Ngoro | 677794.79 | 9161971.98 | | 226 | Sooko | 656321.59 | 9171053.51 |
| 77 | Ngoro | 677132.16 | 9164017.42 | | 227 | Sooko | 656473.09 | 9171830.86 |
| 78 | Ngoro | 677939.84 | 9165108.86 | | 228 | Sooko | 655512.57 | 9172036.32 |
| 79 | Ngoro | 677386.14 | 9166662.97 | | 229 | Sooko | 655060.23 | 9172914.68 |
| 80 | Ngoro | 676971.71 | 9167891.96 | | 230 | Sooko | 653936.68 | 9173223.8 |
| 81 | Ngoro | 677112.68 | 9169014.4 | | 231 | Sooko | 655119.11 | 9174486.65 |
| 82 | Ngoro | 676285.65 | 9165531.11 | | 232 | Sooko | 655482.75 | 9174441.47 |
| 83 | Ngoro | 675329.9 | 9163558.22 | | 233 | Gedek | 657979.29 | 9177346.2 |

| | | | |
|-----|----------|-----------|------------|
| 84 | Ngoro | 673712.15 | 9161594.47 |
| 85 | Ngoro | 675101.24 | 9161561.2 |
| 86 | Pungging | 673584.55 | 9171510.75 |
| 87 | Pungging | 673046.42 | 9169608.63 |
| 88 | Pungging | 675234.4 | 9169799.04 |
| 89 | Pungging | 673968.08 | 9168833.18 |
| 90 | Pungging | 674839.99 | 9168197.22 |
| 91 | Pungging | 675281.69 | 9166833.69 |
| 92 | Pungging | 674296.88 | 9166455.5 |
| 93 | Pungging | 675304.73 | 9167614.49 |
| 94 | Pungging | 673495.68 | 9167138.08 |
| 95 | Pungging | 672919.64 | 9166754.18 |
| 96 | Pungging | 674630.68 | 9164831.36 |
| 97 | Pungging | 673250.12 | 9164653.43 |
| 98 | Pungging | 673424.69 | 9165568.17 |
| 99 | Pungging | 672275.16 | 9165961.13 |
| 100 | Pungging | 671035.05 | 9165864.36 |
| 101 | Pungging | 671482.94 | 9164795.24 |
| 102 | Pungging | 671755.96 | 9163347.52 |
| 103 | Pungging | 673463.26 | 9162709.24 |
| 104 | Pungging | 671994.04 | 9161635.28 |
| 105 | Kutorejo | 670319.38 | 9162197.09 |
| 106 | Kutorejo | 669204.72 | 9161596.33 |
| 107 | Kutorejo | 669364.29 | 9163630.72 |
| 108 | Kutorejo | 668534.26 | 9165466.1 |
| 109 | Kutorejo | 669453.67 | 9166069.23 |
| 110 | Kutorejo | 667852.68 | 9163062.41 |
| 111 | Kutorejo | 667296.38 | 9161792.14 |
| 112 | Kutorejo | 668381.69 | 9160390.17 |

| | | | |
|-----|---------|-----------|------------|
| 234 | Gedek | 657642.25 | 9176240.35 |
| 235 | Gedek | 657530.03 | 9178642.24 |
| 236 | Gedek | 656384.35 | 9178151.62 |
| 237 | Gedek | 655958.82 | 9176348.82 |
| 238 | Gedek | 655489.61 | 9177629.76 |
| 239 | Gedek | 655097.06 | 9176260.12 |
| 240 | Gedek | 654090.52 | 9178735.82 |
| 241 | Gedek | 654031.26 | 9177024.96 |
| 242 | Gedek | 654165.95 | 9175810.57 |
| 243 | Gedek | 653237.29 | 9176803.54 |
| 244 | Gedek | 652140.93 | 9176415.74 |
| 245 | Gedek | 652207.1 | 9177779.43 |
| 246 | Gedek | 650325.05 | 9176158.96 |
| 247 | Kemlagi | 654738.27 | 9183573.27 |
| 248 | Kemlagi | 654129.19 | 9182044.84 |
| 249 | Kemlagi | 652388.37 | 9183681.45 |
| 250 | Kemlagi | 653619.13 | 9180262.88 |
| 251 | Kemlagi | 652351.88 | 9182486.3 |
| 252 | Kemlagi | 651657.7 | 9182859.01 |
| 253 | Kemlagi | 652080.67 | 9180994.08 |
| 254 | Kemlagi | 650839.97 | 9182868.81 |
| 255 | Kemlagi | 649755.69 | 9183576.3 |
| 256 | Kemlagi | 648336.89 | 9183113.29 |
| 257 | Kemlagi | 649252.33 | 9181439.56 |
| 258 | Kemlagi | 650395.14 | 9181436.18 |
| 259 | Kemlagi | 651724.99 | 9181305.91 |
| 260 | Kemlagi | 651428.46 | 9179509.35 |
| 261 | Kemlagi | 650374.76 | 9177142.42 |
| 262 | Kemlagi | 650386.02 | 9179006.43 |

| | | | | | | | |
|-----|----------|-----------|------------|-----|---------------|-----------|------------|
| 113 | Kutorejo | 666729.42 | 9160590.48 | 263 | Kemlagi | 649675.75 | 9180130.0 |
| 114 | Kutorejo | 665705.93 | 9161755.76 | 264 | Kemlagi | 648952.57 | 9178947.23 |
| 115 | Kutorejo | 665885.29 | 9163330.02 | 265 | Kemlagi | 648435.69 | 9176665.57 |
| 116 | Kutorejo | 666592.67 | 9163532.6 | 266 | Kemlagi | 647905.09 | 9176618.64 |
| 117 | Kutorejo | 667657.78 | 9165238.14 | 267 | Jetis | 661452.25 | 9185019.71 |
| 118 | Kutorejo | 666445.01 | 9165247.33 | 268 | Jetis | 662522.99 | 9182911.64 |
| 119 | Kutorejo | 666445.2 | 9166645.83 | 269 | Jetis | 663802.03 | 9181194.2 |
| 120 | Kutorejo | 665826.44 | 9168511.69 | 270 | Jetis | 662581.6 | 9180539.95 |
| 121 | Kutorejo | 666859.23 | 9168516.21 | 271 | Jetis | 661291.05 | 9182486.85 |
| 122 | Mojosari | 671851.06 | 9167076.84 | 272 | Jetis | 660580.57 | 9182083.55 |
| 123 | Mojosari | 670284.51 | 9167087.27 | 273 | Jetis | 661280.42 | 9179121.79 |
| 124 | Mojosari | 668689.32 | 9167675.46 | 274 | Jetis | 659181.63 | 9182333.05 |
| 125 | Mojosari | 668667.38 | 9168978.59 | 275 | Jetis | 658272.61 | 9181318.29 |
| 126 | Mojosari | 668969.46 | 9170974.78 | 276 | Jetis | 660167.33 | 9179937.91 |
| 127 | Mojosari | 670418.45 | 9168763.44 | 277 | Jetis | 659564.69 | 9178402.98 |
| 128 | Mojosari | 671095.13 | 9167961.48 | 278 | Jetis | 659991.77 | 9177158.18 |
| 129 | Mojosari | 671875.03 | 9168042.65 | 279 | Jetis | 657096.86 | 9179869.57 |
| 130 | Mojosari | 672214.5 | 9168071.3 | 280 | Jetis | 655326.25 | 9179889.14 |
| 131 | Mojosari | 672554.74 | 9168098.28 | 281 | Jetis | 657218.54 | 9181707.06 |
| 132 | Mojosari | 672305.86 | 9168529.37 | 282 | Jetis | 655736.52 | 9181515.06 |
| 133 | Mojosari | 672162.98 | 9169439.16 | 283 | Dawarblandong | 661918.04 | 9191197.87 |
| 134 | Mojosari | 672276.52 | 9168812.48 | 284 | Dawarblandong | 662045.2 | 9188993.95 |
| 135 | Mojosari | 671766.8 | 9170165.15 | 285 | Dawarblandong | 660674.31 | 9187979.59 |
| 136 | Mojosari | 671122.24 | 9170507.83 | 286 | Dawarblandong | 659689.83 | 9190236.92 |
| 137 | Mojosari | 669883.4 | 9170365.11 | 287 | Dawarblandong | 659322.61 | 9185816.2 |
| 138 | Mojosari | 670303.44 | 9171489.21 | 288 | Dawarblandong | 658563.31 | 9190677.45 |
| 139 | Mojosari | 671164.09 | 9172609.54 | 289 | Dawarblandong | 657759.37 | 9190558.26 |
| 140 | Mojosari | 669364.36 | 9173025.48 | 290 | Dawarblandong | 657612.18 | 9189199.23 |
| 141 | Bangsal | 667599.94 | 9169647.83 | 291 | Dawarblandong | 656707.77 | 9190186.83 |

| | | | |
|-----|---------|-----------|------------|
| 142 | Bangsal | 666995.22 | 9170856.21 |
| 143 | Bangsal | 667915.0 | 9172123.8 |
| 144 | Bangsal | 667096.64 | 9172167.54 |
| 145 | Bangsal | 667366.31 | 9173202.05 |
| 146 | Bangsal | 666210.43 | 9172317.12 |
| 147 | Bangsal | 665494.81 | 9172227.56 |
| 148 | Bangsal | 665183.09 | 9171697.8 |
| 149 | Bangsal | 664403.75 | 9171562.22 |
| 150 | Bangsal | 663720.89 | 9171561.55 |

| | | | |
|-----|---------------|-----------|------------|
| 292 | Dawarblandong | 656986.87 | 9188685.12 |
| 293 | Dawarblandong | 657353.24 | 9186687.06 |
| 294 | Dawarblandong | 655783.63 | 9189089.12 |
| 295 | Dawarblandong | 655231.41 | 9190432.32 |
| 296 | Dawarblandong | 654667.66 | 9189403.79 |
| 297 | Dawarblandong | 655050.93 | 9188047.75 |
| 298 | Dawarblandong | 653233.33 | 9189061.57 |
| 299 | Dawarblandong | 652253.26 | 9187798.23 |
| 300 | Dawarblandong | 650426.93 | 9188959.93 |

LAMPIRAN
Titik Koordinat Hasil Optimasi

| No. | Titik Koordinat Optimasi | | |
|-----|--------------------------|------------|----------------------|
| | Latitude | Longitude | Radius rural (meter) |
| 1 | -7,567260 | 112,483000 | 1298 |
| 2 | -7,455550 | 112,387800 | 1155 |
| 4 | -7,666880 | 112,601000 | 1298 |
| 6 | -7,627805 | 112,475471 | 1298 |
| 7 | -7,609799 | 112,529709 | 1298 |
| 8 | -7,639574 | 112,544689 | 1298 |
| 9 | -7,661764 | 112,524670 | 1298 |
| 10 | -7,546961 | 112,644085 | 1298 |
| 11 | -7,546344 | 112,597782 | 1298 |
| 12 | -7,543502 | 112,550194 | 1298 |
| 13 | -7,581712 | 112,559021 | 1298 |
| 14 | -7,582154 | 112,533745 | 1298 |
| 15 | -7,541700 | 112,535858 | 1298 |
| 16 | -7,580823 | 112,502033 | 1298 |
| 17 | -7,524537 | 112,550671 | 1298 |
| 18 | -7,492663 | 112,543385 | 1298 |
| 19 | -7,486137 | 112,499794 | 1298 |
| 20 | -7,470369 | 112,518658 | 1298 |
| 21 | -7,480358 | 112,476726 | 1298 |
| 23 | -7,532386 | 112,432049 | 1298 |
| 24 | -7,530746 | 112,450184 | 1298 |
| 25 | -7,572612 | 112,377415 | 1298 |
| 26 | -7,531675 | 112,395576 | 1298 |
| 27 | -7,512183 | 112,414845 | 1298 |
| 28 | -7,499975 | 112,394760 | 1298 |

| No. | Titik Koordinat Optimasi | | |
|-----|--------------------------|------------|----------------------|
| | Latitude | Longitude | Radius rural (meter) |
| 185 | -7,668330 | 112,565063 | 1700 |
| 186 | -7,632076 | 112,520889 | 1700 |
| 187 | -7,646465 | 112,534798 | 1700 |
| 188 | -7,656275 | 112,522513 | 1700 |
| 189 | -7,661764 | 112,524670 | 1700 |
| 190 | -7,656654 | 112,607235 | 1700 |
| 191 | -7,627176 | 112,595428 | 1700 |
| 192 | -7,611323 | 112,566864 | 1700 |
| 193 | -7,638997 | 112,579502 | 1700 |
| 194 | -7,583740 | 112,629673 | 1700 |
| 195 | -7,578476 | 112,611576 | 1700 |
| 196 | -7,524974 | 112,603920 | 1700 |
| 197 | -7,546344 | 112,597782 | 1700 |
| 198 | -7,564215 | 112,589187 | 1700 |
| 199 | -7,534599 | 112,588642 | 1700 |
| 200 | -7,527538 | 112,588825 | 1700 |
| 201 | -7,554380 | 112,570305 | 1700 |
| 202 | -7,576686 | 112,543827 | 1700 |
| 203 | -7,593087 | 112,526325 | 1700 |
| 204 | -7,566582 | 112,503609 | 1700 |
| 205 | -7,549272 | 112,519611 | 1700 |
| 206 | -7,523778 | 112,557735 | 1700 |
| 207 | -7,523508 | 112,560810 | 1700 |
| 208 | -7,523253 | 112,563892 | 1700 |
| 209 | -7,519363 | 112,561623 | 1700 |

| | | | |
|-----|-----------|------------|------|
| 29 | -7,428369 | 112,427441 | 1298 |
| 30 | -7,393755 | 112,380421 | 1298 |
| 31 | -7,420702 | 112,372139 | 1298 |
| 32 | -7,411059 | 112,473148 | 1298 |
| 33 | -7,404148 | 112,434090 | 1298 |
| 34 | -7,417157 | 112,407440 | 1298 |
| 35 | -7,343840 | 112,455650 | 1298 |
| 36 | -7,363443 | 112,443470 | 1298 |
| 129 | -7,624460 | 112,496000 | 1298 |
| 130 | -7,581600 | 112,418000 | 1119 |
| 139 | -7,532080 | 112,510000 | 1298 |
| 150 | -7,348800 | 112,415400 | 1666 |
| 151 | -7,327240 | 112,477000 | 1814 |
| 152 | -7,348800 | 112,458000 | 1691 |
| 153 | -7,334580 | 112,387800 | 1534 |
| 154 | -7,342200 | 112,369000 | 1814 |
| 155 | -7,329410 | 112,424700 | 1691 |
| 156 | -7,455550 | 112,387800 | 1601 |
| 157 | -7,453600 | 112,366300 | 1561 |
| 158 | -7,613260 | 112,491000 | 1814 |
| 159 | -7,581400 | 112,417600 | 1561 |
| 160 | -7,563560 | 112,536000 | 1814 |
| 161 | -7,532080 | 112,510000 | 1814 |
| 162 | -7,445430 | 112,456000 | 1691 |
| 163 | -7,508530 | 112,562000 | 1814 |
| 164 | -7,572280 | 112,589000 | 1561 |
| 165 | -7,554400 | 112,614300 | 1561 |
| 166 | -7,568280 | 112,655000 | 1534 |
| 167 | -7,595660 | 112,561000 | 1814 |

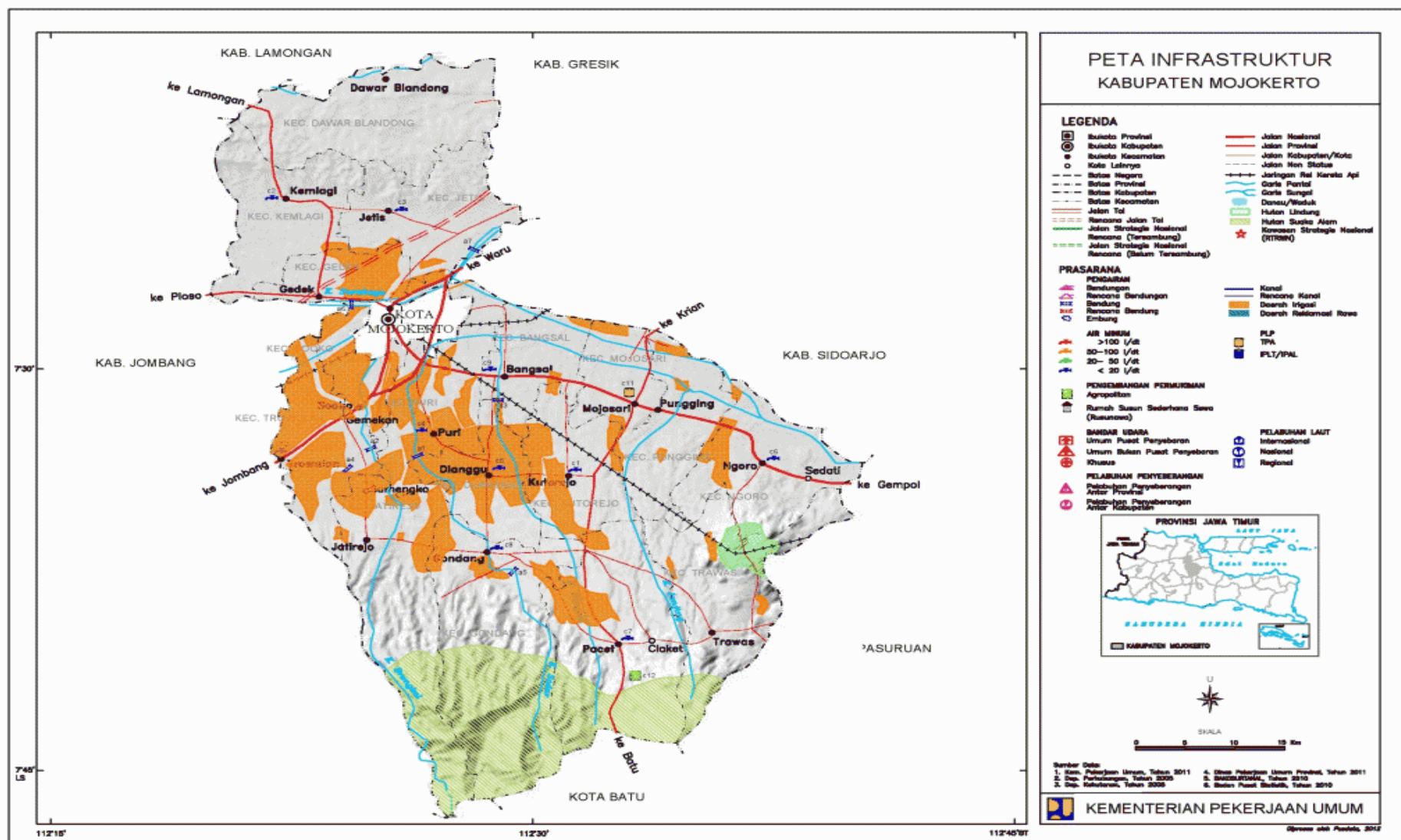
| | | | |
|-----|-----------|------------|------|
| 210 | -7,501511 | 112,550835 | 1700 |
| 211 | -7,482505 | 112,551147 | 1700 |
| 212 | -7,487000 | 112,521725 | 1700 |
| 213 | -7,490937 | 112,496986 | 1700 |
| 214 | -7,492187 | 112,489929 | 1700 |
| 215 | -7,490744 | 112,478088 | 1700 |
| 216 | -7,501806 | 112,499020 | 1700 |
| 217 | -7,476037 | 112,502838 | 1700 |
| 218 | -7,466131 | 112,500877 | 1700 |
| 219 | -7,480358 | 112,476726 | 1700 |
| 220 | -7,477123 | 112,462864 | 1700 |
| 221 | -7,552463 | 112,462265 | 1700 |
| 222 | -7,565285 | 112,482101 | 1700 |
| 223 | -7,593470 | 112,482212 | 1700 |
| 224 | -7,562314 | 112,428928 | 1700 |
| 225 | -7,533136 | 112,420929 | 1700 |
| 226 | -7,532386 | 112,432049 | 1700 |
| 227 | -7,514995 | 112,458557 | 1700 |
| 228 | -7,518496 | 112,442402 | 1700 |
| 229 | -7,502225 | 112,440990 | 1700 |
| 230 | -7,513981 | 112,425350 | 1700 |
| 231 | -7,564980 | 112,394596 | 1700 |
| 232 | -7,551200 | 112,369820 | 1700 |
| 233 | -7,510571 | 112,380718 | 1700 |
| 234 | -7,512183 | 112,414845 | 1700 |
| 235 | -7,499975 | 112,394760 | 1700 |
| 236 | -7,488165 | 112,409355 | 1700 |
| 237 | -7,477472 | 112,395042 | 1700 |
| 238 | -7,450086 | 112,428528 | 1700 |

| | | | |
|-----|-----------|------------|------|
| 168 | -7,617379 | 112,434384 | 1700 |
| 169 | -7,625819 | 112,413921 | 1700 |
| 170 | -7,586539 | 112,398556 | 1700 |
| 171 | -7,582952 | 112,409405 | 1700 |
| 172 | -7,584477 | 112,440380 | 1700 |
| 173 | -7,581407 | 112,446560 | 1700 |
| 174 | -7,596816 | 112,458637 | 1700 |
| 175 | -7,618592 | 112,456772 | 1700 |
| 176 | -7,614431 | 112,499401 | 1700 |
| 177 | -7,612745 | 112,513306 | 1700 |
| 178 | -7,624479 | 112,483661 | 1700 |
| 179 | -7,640965 | 112,461277 | 1700 |
| 180 | -7,654663 | 112,482780 | 1700 |
| 181 | -7,648684 | 112,477413 | 1700 |
| 182 | -7,609799 | 112,529709 | 1700 |
| 183 | -7,620815 | 112,550179 | 1700 |
| 184 | -7,650696 | 112,554066 | 1700 |

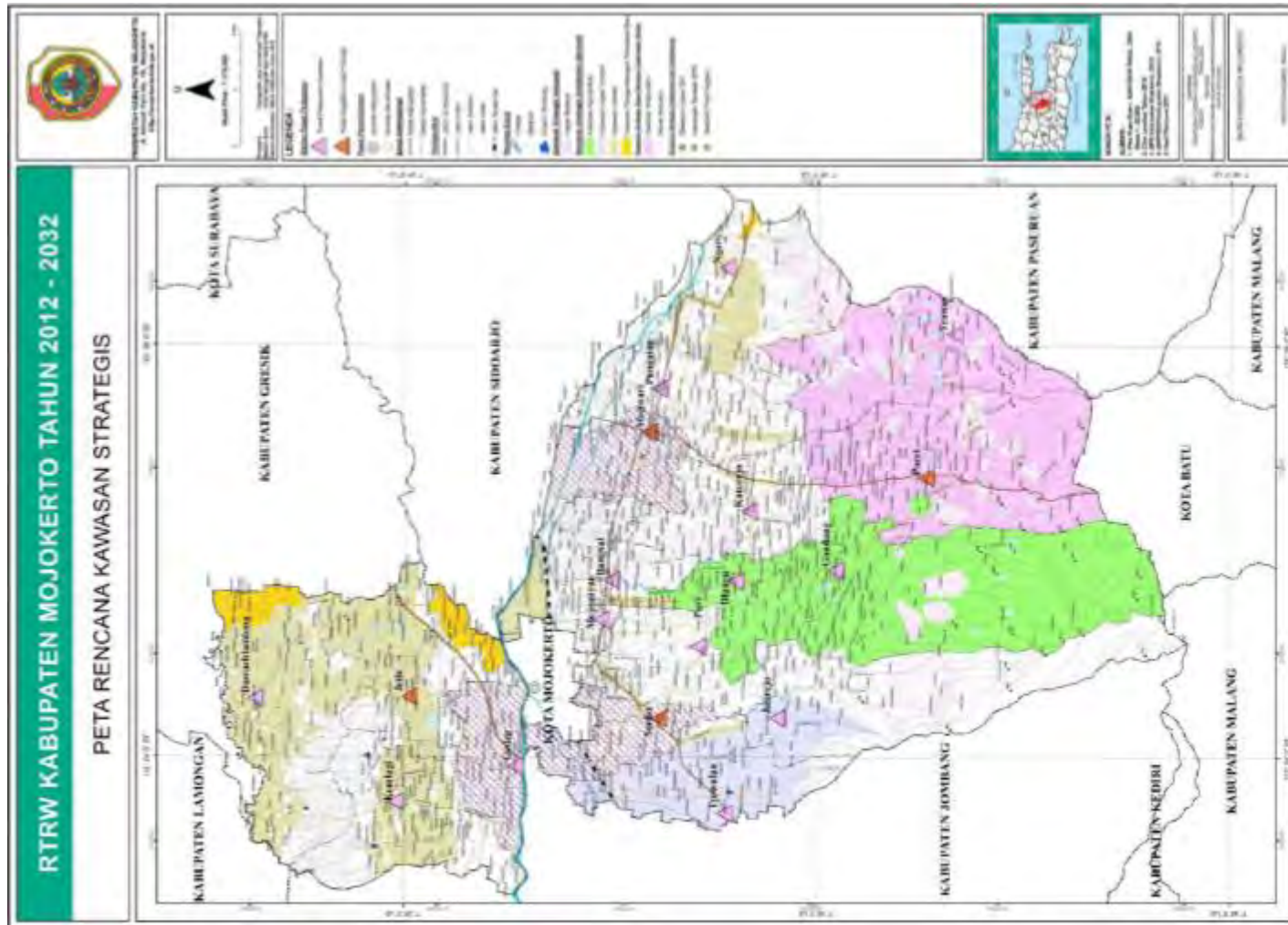
| | | | |
|-----|-----------|------------|------|
| 239 | -7,432839 | 112,417076 | 1700 |
| 240 | -7,449154 | 112,413273 | 1700 |
| 241 | -7,445120 | 112,388603 | 1700 |
| 242 | -7,383858 | 112,402008 | 1700 |
| 243 | -7,390338 | 112,366714 | 1700 |
| 244 | -7,403307 | 112,352371 | 1700 |
| 245 | -7,404447 | 112,374775 | 1700 |
| 246 | -7,415138 | 112,356243 | 1700 |
| 247 | -7,370583 | 112,462784 | 1700 |
| 248 | -7,405106 | 112,484184 | 1700 |
| 249 | -7,397160 | 112,454975 | 1700 |
| 250 | -7,423922 | 112,461403 | 1700 |
| 251 | -7,417283 | 112,423481 | 1700 |
| 252 | -7,343840 | 112,455650 | 1700 |
| 253 | -7,332900 | 112,427879 | 1700 |
| 254 | -7,355625 | 112,425606 | 1700 |
| 255 | -7,335266 | 112,362804 | 1700 |

LAMPIRAN

Peta Kabupaten Mojokerto



LAMPIRAN
Peta Rencana Kawasan Strategis Kabupaten Mojokerto 2012-2032



LAMPIRAN

Listing Program *Differential Evolution*

```
%Program Optimasi Peletakan BTS Menggunakan Algoritma  
Differential Evolution  
%Design by Ahadi Arif N  
  
%=====  
%Pendefinisian Input  
%=====  
  
clear all;  
clc;  
[problem] = problem_arif;  
[problem1] = problem_blank_spot;  
PB = length(problem1); %populasi total titik alternatif RTRW  
NPB = 10; %jumlah populasi trial blank spot  
NS = 4; %jumlah titik optimal yg dicari  
NPE = length(problem); %jumlah populasi existing  
CPS = nchoosek(PB,NS); %jumlah kombinasi yg mungkin dari NPB  
dan NS  
D = 4; %jumlah dimensi  
F = 0.9; %faktor mutasi  
CR = 0.2; %crossover rasio  
itermax = 10000; %jml maks iterasi  
t=cputime;  
luas_eksisting = 18.5; %luas bts eksisting  
  
%=====  
%-----TAHAP INISIALISASI VEKTOR-----  
%=====  
  
popold = zeros(NPB,4);  
popnew = zeros(PB,4);
```

```

LB = 1; %batas bawah populasi alternatif
UB = length(problem1); %batas atas populasi alternatif
LB1 = ceil(667518.24); %batas bawah vektor x kecamatan
UB1 = floor(672805.05); %batas atas vektor x kecamatan
LB2 = ceil(9166208.11); %batas bawah vektor y kecamatan
UB2 = floor(9173920.37); %batas atas vektor y kecamatan
LB3 = 600;%600 %batas bawah radius
UB3 = 1109;%800 %batas atas radius
exis = zeros;
luas_exis = zeros;
luas_irisan_bts_exis = zeros;
d = zeros;
luas_irisan_bts = zeros;
luas_gab = zeros;
luas_irisan_bts_gab = zeros;
luas = zeros;

for i=1:NPE
    exis(i,1) = problem(i,1); %nilai nomor
    exis(i,2) = problem(i,2); %nilai x
    exis(i,3) = problem(i,3); %nilai y
    exis(i,4) = problem(i,4); %nilai r
end

for i=1:PB
    popnew(i,1:3) = problem1(i,1:3);
    popnew(i,4) = LB3 + rand*(UB3 - LB3);

    figure(1);
    plot(popnew(1:NPB,2),popnew(1:NPB,3),'black','LineWidth',1)
    xlabel('koordinat x');
    ylabel('koordinat y');
    title('Inisialisasi Populasi');
    grid on;
    hold on
    axis([LB1 UB1 LB2 UB2])
end
popold = zeros(size(popold)); %populasi trial awal

```

```

val      = zeros(CPS,1);      %nilai value awal
bestmem = zeros(NS,D);       %anggota populasi terbaik
bestmemit= zeros(NS,D);      %anggota populasi terbaik iterasi
nfeval  = 0;                  %nomor fungsi evaluasi

%-----Menghitung luas coverage dari data existing-----
for i=1:NPE
for j=1:NPE
    r1exis=exis(i,4);
    r2exis=exis(j,4);
%---hitung luas bts-----
    luas_exis(i)=(pi*(exis(i,4).^2))/1000000;
%---hitung jarak d-----
    d(i,j)=real(sqrt ((exis(i,2)-exis(j,2)).^2 + (exis(i,3)-exis(j,3)).^2));
%---hitung irisan antar BTS-----
if (i==j)
    luas_irisan_bts_exis(i,j) = 0;
else
    luas_irisan_bts_exis(i,j) =real(( r1exis.^2*acos((d(i,j).^2+r1exis.^2-
r2exis.^2)/(2*d(i,j)*r1exis)) + r2exis.^2*acos((d(i,j).^2+r2exis.^2-
r1exis.^2)/(2*d(i,j)*r2exis)) - 0.5*sqrt((-d(i,j)+r1exis+r2exis)*(d(i,j)+r1exis-r2exis)*(d(i,j)-r1exis+r2exis)*(d(i,j)+r1exis+r2exis)))/1000000);
end
end
end
luas_total_bts_exis = sum(luas_exis);
luas_total_irisan_bts_exis = (sum(sum(luas_irisan_bts_exis)))/2;
luas_coverage_eksis = luas_total_bts_exis - luas_total_irisan_bts_exis;
luas_coverage_exis = luas_eksisting;  %Luas eksisting

%-----
%-----Evaluasi fungsi obyektif untuk optimasi BTS-----
-
%-----evaluasi fungsi obyektif-----
ibest = 1:NS;   % mulai dengan anggota populasi pertama
%-----evaluasi fungsi obyektif-----

```

```

for i=1:NPB
    popold(i,1:3) = problem1(i,1:3);
    popold(i,4) = LB3;
end

for i=1:NS
for j=1:NS
    r1=popold(ibest(i),4);
    r2=popold(ibest(j),4);
%----hitung luas bts-----
    luas(i)= (pi*(popold(ibest(i),4).^2))/1000000;
%----hitung jarak d-----
    d(ibest(i),ibest(j))= real(sqrt ((popold(ibest(i),2)-
popold(ibest(j),2)).^2 + (popold(ibest(i),3)-popold(ibest(j),3)).^2));
%----hitung irisan antar BTS-----
if (ibest(i)==ibest(j))
    luas_irisan_bts(ibest(i),ibest(j)) = 0;
else
    luas_irisan_bts(ibest(i),ibest(j)) =real(((
r1.^2*acos((d(ibest(i),ibest(j)).^2+r1.^2-r2.^2)/(2*d(ibest(i),ibest(j))*r1)) +
r2.^2*acos((d(ibest(i),ibest(j)).^2+r2.^2-r1.^2)/(2*d(ibest(i),ibest(j))*r2)) -
0.5*sqrt((-d(ibest(i),ibest(j))+r1+r2)*(d(ibest(i),ibest(j))+r1-
r2)*(d(ibest(i),ibest(j))-r1+r2)*(d(ibest(i),ibest(j))+r1+r2)))/1000000);
end
end
end
luas_total_bts = sum(luas);
luas_total_irisan_bts = (sum(sum(luas_irisan_bts)))/2;
val(1) = luas_total_bts - luas_total_irisan_bts ;
bestval = val(1); %nilai fungsi obyektif untuk saat ini
nfeval = nfeval + 1;

%-----cek anggota populasi yang lain-----
for ii = 2:NPB
    a =[];
    RP = randperm(NPB,NS);
    b = [RP a];
for i=1:NS

```

```

for j=1:NS
%-----evaluasi fungsi obyektif untuk populasi ke-i-----
r1=popold(b(i),4);
r2=popold(b(j),4);
%---hitung luas bts-----
luas(i)=(pi*(popold(b(i),4).^2))/1000000;
%---hitung jarak d-----
d(i,j)= real(sqrt (((popold(b(i),2))-(popold(b(j),2))).^2 +
((popold(b(i),3))-(popold(b(j),3))).^2));
%---hitung irisan antar BTS-----
if (b(i)==b(j))
    luas_irisan_bts(i,j) = 0;
else
    luas_irisan_bts(i,j) =real(((r1.^2*acos((d(i,j).^2+r1.^2-
r2.^2)/(2*d(i,j)*r1)) + r2.^2*acos((d(i,j).^2+r2.^2-r1.^2)/(2*d(i,j)*r2)) -
0.5*sqrt((-d(i,j)+r1+r2)*(d(i,j)+r1-r2)*(d(i,j)-r1+r2)*(d(i,j)+r1+r2)))/1000000);
end
end
end
luas_total_bts(ii) = sum(luas);
luas_total_irisan_bts = (sum(sum(luas_irisan_bts)))/2;
val(ii) = luas_total_bts(ii) - luas_total_irisan_bts;

nfeval = nfeval + 1;
if (val(ii) > bestval)      % jika anggota adl yg terbaik
    ibest = b;               % simpan kordinat lokasi
    bestval = val(ii);
end
end
bestmemit = popold(ibest,:);    % anggota terbaik pada iterasi saat ini
luas_coverage = bestval ;
bestvalit = bestval;           % nilai terbaik untuk iteraasi saat ini
bestmem = bestmemit;          % anggota terbaik

bestmemgab = [bestmem;exis];
for i=1:(NPE+NS)
for j=1:(NPE+NS)
r1gab=bestmemgab(i,4);

```

```

r2gab=bestmemgab(j,4);
%----hitung luas bts-----
luas_gab(i)=(pi*(bestmemgab(i,4).^2))/1000000;
%----hitung jarak d-----
d(i,j)=real(sqrt((bestmemgab(i,2)-bestmemgab(j,2)).^2 +
(bestmemgab(i,3)-bestmemgab(j,3)).^2));
%----hitung irisan antar BTS-----
if (i==j)
    luas_irisan_bts_gab(i,j) = 0;
else
    luas_irisan_bts_gab(i,j) = real(( r1gab.^2*acos((d(i,j).^2+r1gab.^2-
r2gab.^2)/(2*d(i,j)*r1gab)) + r2gab.^2*acos((d(i,j).^2+r2gab.^2-
r1gab.^2)/(2*d(i,j)*r2gab)) - 0.5*sqrt((-d(i,j)+r1gab+r2gab)*(d(i,j)+r1gab-r2gab)*(d(i,j)-r1gab+r2gab)*(d(i,j)+r1gab+r2gab)))/1000000);
end
end
end
end
luas_total_bts_solusi = sum(luas_gab(1:NS));
luas_total_irisan_bts_gab = sum(sum(luas_irisan_bts_gab(1:NS,:)));
luas_irisan_bts_solusi = sum(sum(luas_irisan_bts_gab(1:NS,1:NS)))/2;
luas_irisan_bts_solusi_and_exis = luas_total_irisan_bts_gab -
luas_irisan_bts_solusi;
luas_coverage_bts_solusi_and_exis = luas_total_bts_solusi -
luas_irisan_bts_solusi_and_exis;
bestvalgab = luas_coverage_exis + luas_coverage_bts_solusi_and_exis;

% stoping_criterion = luas_eksisting + val(1);
stoping_criterion = luas_eksisting;

```

```

%=====
=====%
%-----TAHAP MUTASI DAN CROSSOVER VEKTOR-----
=====%
pm1 = zeros(NPB,D);      % inisialisasi populasi untuk matrix 1
pm2 = zeros(NPB,D);      % inisialisasi populasi untuk matrix 2

```

```

pm3 = zeros(NPB,D); % inisialisasi populasi untuk matrix 3
pm4 = zeros(NPB,D); % inisialisasi populasi untuk matrix 4
pm5 = zeros(NPB,D); % inisialisasi populasi untuk matrix 5
bm = zeros(NS,D);
ui = zeros(NPB,D);
vi = zeros(NPB,D);
mui = zeros(NPB,D);
mpo = zeros(NPB,D);
rot = (0:1:NPB-1); % memutar index array
rt = zeros(NPB); % memutar index array yg lain
a1 = zeros(NPB); % index array
a2 = zeros(NPB); % index array
a3 = zeros(NPB); % index array
a4 = zeros(NPB); % index array
a5 = zeros(NPB); % index array
ind = zeros(4);

```

```

iterasi = 1;
ite = zeros;
while bestvalgab < stoping_criterion
    iterasi = iterasi + 1;
    ite(iterasi)=iterasi;
    r = zeros(NPB,1);

```

%-----MUTASI VEKTOR-----

```

ind = randperm(4); % index
r1 = randperm(NPB); % acak lokasi vektor
rt = rem(rot+ind(1),NPB);
r2 = r1(rt+1);
rt = rem(rot+ind(2),NPB);
r3 = r2(rt+1);
rt = rem(rot+ind(3),NPB);
r4 = r3(rt+1);
rt = rem(rot+ind(4),NPB);
r5 = r4(rt+1);

```

```

pm1 = popnew(r1,1);           % acak populasi 1
pm2 = popnew(r2,1);           % acak populasi 2
pm3 = popnew(r3,1) ;          % acak populasi 3
pm4 = popnew(r4,1);           % acak populasi 4
pm5 = popnew(r5,1);           % acak populasi 5

for i=1:NS
    bm(i,1) = bestmemit(i,1);   % anggota terbaik iterasi
end
mui = rand(PB,4) < CR;
mpo = mui < 0.5;

vi = round(pm3 + F*(pm1 - pm2));    % differential variation

for a =1:NPB
if vi(a)>UB
    vi(a)=UB;
elseif vi(a)<LB
    vi(a)=LB;
end
end
vi = popnew(vi,:); %populasi mutasi

%-----
%-----CROSSOVER VEKTOR-----
%-----

for i=1:NPB
    r(i) = rand;
if r(i) < CR
    ui(i,:) = vi(i,:);      % crossover vektor
else
    ui(i,:) = popnew(i,:);
end
end

if ui(i,1)>UB
    ui(i,1)=UB;
elseif ui(i,1)<LB

```

```

        ui(i,1)=LB;
end

figure(2)
plot(vi(:,2),vi(:,3),'b','LineWidth',1)
xlabel('koordinat x');
ylabel('koordinat y');
title('Mutasi Vektor');
grid on;
hold on
axis([LB1 UB1 LB2 UB2])

```

```

%=====
=====
%-----TAHAP SELEKSI VEKTOR-----
-----
%
```

```

d=zeros;
for ii = 1:CPS
    e = [];
    RP2 = randperm(NPB,NS);
    c = [RP2 e];

    for i=1:NS
        for j=1:NS
            %>>>>>>>>>evaluasi fungsi obyektif untuk populasi ke-
            i<<<<<<<<<<<<<<
            r1=ui(c(i),4);
            r2=ui(c(j),4);
            %hitung luas bts
            luas(i)=(pi*(ui(c(i),4).^2))/1000000;
            %-hitung jarak d
            d(i,j)= real(sqrt (((ui(c(i),2))-(ui(c(j),2))).^2 + ((ui(c(i),3))-
            (ui(c(j),3))).^2));
            %-hitung irisan antar BTS
            if (c(i)==c(j))

```

```

luas_irisan_bts(i,j) = 0;
else
    luas_irisan_bts(i,j) =real(((r1.^2*acos((d(i,j).^2+r1.^2-
r2.^2)/(2*d(i,j)*r1)) + r2.^2*acos((d(i,j).^2+r2.^2-r1.^2)/(2*d(i,j)*r2)) -
0.5*sqrt((-d(i,j)+r1+r2)*(d(i,j)+r1-r2)*(d(i,j)-
r1+r2)*(d(i,j)+r1+r2))))/1000000);
end
end
end
luas_total_bts = sum(luas);
luas_total_irisan_bts = (sum(sum(luas_irisan_bts)))/2;
tempval = real(luas_total_bts - luas_total_irisan_bts); %total luas
coverage BTS
nfeval = nfeval + 1;

if (tempval >= val(ii))      % jika anggota adl yg terbaik
    popold(b,1:4) = ui(c,1:4);    % simpan kordinat lokasi
    val(ii) = tempval;
else
    popold(b,1:4) = popold(b,1:4);
    val(ii) = val(ii);

if (tempval > bestval)      % memilih kompetitor
    bestval = tempval;    % nilai terbaik baru
    bestmem = ui(c,1:4);    % anggota terbaik
else
    bestval = bestval;
    bestmem = bestmem;
end
end
end

bestmemit = bestmem ;    % anggota terbaik saat iterasi
bestval = real(tempval); % nilai fungsi tujuan terbaik.
total_luas_coverage = real(bestval);
bestmemgab = [bestmem;exis];

for i=1:(NPE+NS)
for j=1:(NPE+NS)

```

```

r1gab=bestmemgab(i,4);
r2gab=bestmemgab(j,4);

%----hitung luas bts-----
luas_gab(i)= (pi*(bestmemgab(i,4).^2))/1000000;
%----hitung jarak d-----
d(i,j)= real(sqrt ((bestmemgab(i,2)-bestmemgab(j,2)).^2 +
(bestmemgab(i,3)-bestmemgab(j,3)).^2));
%----hitung irisan antar BTS-----
if (i==j)
    luas_irisan_bts_gab(i,j) = 0;
else
    luas_irisan_bts_gab(i,j) =real(( r1gab.^2*acos((d(i,j)^2+r1gab.^2-
r2gab.^2)/(2*d(i,j)*r1gab)) + r2gab.^2*acos((d(i,j)^2+r2gab.^2-
r1gab.^2)/(2*d(i,j)*r2gab)) - 0.5*sqt((-d(i,j)+r1gab+r2gab)*(d(i,j)+r1gab-r2gab)*(d(i,j)-r1gab+r2gab)*(d(i,j)+r1gab+r2gab)))/1000000);
end
end
end

luas_total_bts_solusi = sum(luas_gab(1:NS));
luas_total_irisan_bts_gab = sum(sum(luas_irisan_bts_gab(1:NS,:)));
luas_irisan_bts_solusi = sum(sum(luas_irisan_bts_gab(1:NS,1:NS)))/2;
luas_irisan_bts_solusi_and_exis = luas_total_irisan_bts_gab -
luas_irisan_bts_solusi;
luas_coverage_bts_solusi_and_exis = luas_total_bts_solusi -
luas_irisan_bts_solusi_and_exis;
bestvalgab = luas_coverage_exis + luas_coverage_bts_solusi_and_exis;

```

%----Output-----

```

if (rem(iterasi,10) == 0)
    fprintf(1,'Iteration: %d, Bestvalue: %f, F: %f, CR: %f, NP:
%d\n',iterasi,bestvalgab,F,CR,npb);
for n=1:D
    fprintf(1,'best(%d) = %f\n',n,bestmem(n));
end
end

```

```

baik(iterasi)=bestvalgab;
waktu_komputasi = cputime-t;

end

figure(3)
plot(ui(:,2),ui(:,3),'b','LineWidth',1)
xlabel('koordinat x');
ylabel('koordinat y');
title('Crossover Vektor');
grid on;
hold on
axis([LB1 UB1 LB2 UB2])

figure(4)
plot(bestmemit(:,2),bestmemit(:,3),'r*')
xlabel('koordinat x');
ylabel('koordinat y');
title('Populasi Optimasi');
grid on;
hold on
axis([LB1 UB1 LB2 UB2])

%-----%
%-----Tampilan Output-----%
%-----%
Iterasi_maks = itermax;
xlswrite('Hasil Optimasi.xlsx', itermax, 'Sheet1', 'C3')

Faktor_mutasi = F;
xlswrite('Hasil Optimasi.xlsx', F, 'Sheet1', 'C1')

Crossover_ratio = CR;
xlswrite('Hasil Optimasi.xlsx', CR, 'Sheet1', 'C2')

Iterasi = iterasi;
xlswrite('Hasil Optimasi.xlsx', iterasi, 'Sheet1', 'B6')

```

```
titik_optimasi = bestmemit(:,1:4);  
xlswrite('Hasil Optimasi.xlsx', bestmemit, 'Sheet1', 'E6')
```

```
Perhentian_Iterasi = stoping_criterion ;
```

```
Luas_coverage_eksisting = luas_coverage_exis;  
xlswrite('Hasil Optimasi.xlsx', luas_coverage_exis, 'Sheet1', 'C6')
```

```
Luas_coverage_optimasi = bestvalgab;  
xlswrite('Hasil Optimasi.xlsx', bestvalgab, 'Sheet1', 'D6')
```

```
Waktu_komputasi = waktu_komputasi;  
xlswrite('Hasil Optimasi.xlsx', waktu_komputasi, 'Sheet1', 'I6')
```


RIWAYAT PENULIS



Ahadi Arif Nugraha, lahir di Klaten, Jawa Tengah, pada tanggal 18 Maret 1990. Penulis merupakan anak pertama dari tiga bersaudara, dari pasangan Bapak Dalimin dan Ibu Ratmini. Riwayat pendidikan formal yang pernah di tempuh oleh penulis adalah SD N 1 Cawas Klaten pada tahun 1996-2002. SMP N 1 Cawas Klaten pada tahun 2002-2005. SMA N 1 Cawas pada tahun 2005-2008. Penulis melanjutkan pendidikan Diploma 3 di Institut Teknologi Telkom Bandung, Fakultas Elektro dan Telekomunikasi, dengan Program Studi Teknik Telekomunikasi pada tahun 2008-2011. Kemudian pada bulan Januari 2013 penulis melanjutkan studi S1 program Lintas Jalur di Jurusan Teknik Elektro, Fakultas Teknologi Industri, Institut Teknologi Sepuluh Nopember Surabaya. Penulis memilih bidang studi Telekomunikasi Multimedia.